

# OPTIMALISASI KINERJA LALU LINTAS SIMPANG JAKAL KM 12,5 DI KABUPATEN SLEMAN

*by nadhiraswb@gmail.com 1*

---

**Submission date:** 21-Aug-2022 08:59PM (UTC-0500)

**Submission ID:** 1883161710

**File name:** BIBIT\_DIAHAYU\_LESTARI\_1902071\_3.10\_MTJ.pdf (4.48M)

**Word count:** 22230

**Character count:** 122533

**OPTIMALISASI KINERJA LALU LINTAS SIMPANG JAKAL  
KM 12,5 DI KABUPATEN SLEMAN**

**3  
KERTAS KERJA WAJIB**

Diajukan Dalam Rangka Penyelesaian Program Studi  
Diploma III  
Guna Memperoleh Sebutan Ahli Madya Transportasi



Diajukan Oleh :

**BIBIT DIAHAYU LESTARI**  
**NOTAR : 19.02.071**

**POLITEKNIK TRANSPORTASI DARAT INDONESIA-STTD**  
**PROGRAM STUDI DIPLOMA III**  
**BEKASI**  
**2022**

**KERTAS KERJA WAJIB**  
**OPTIMALISASI KINERJA SIMPANG JAKAL KM 12,5**  
**DI KABUPATEN SLEMAN**

Yang Disiapkan dan Disusun Oleh :

**BIBIT DIAHAYU LESTARI**

**Nomor Taruna : 19.02.071**

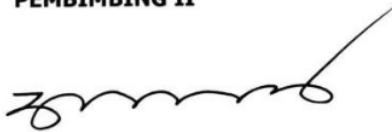
Telah disetujui oleh :

**PEMBIMBING I**



**ADITHYA PRAYOGA SAIFUDIN, S.Si, MT**  
Tanggal : Agustus 2022

**PEMBIMBING II**



**Dr. BAMBANG ISTIANTO, M. Si**  
Tanggal : Agustus 2022

**KERTAS KERJA WAJIB**  
**OPTIMALISASI KINERJA LALU LINTAS SIMPANG JAKAL**  
**KM 12,5 DI KABUPATEN SLEMAN**

Diajukan Untuk Memenuhi Persyaratan Kelulusan

Program Studi Diploma III

Oleh :

**BIBIT DIAHAYU LESTARI**

**Nomor Taruna : 19.02.071**

**TELAH DIPERTAHANKAN DI DEPAN DEWAN PENGUJI**  
**PADA TANGGAL 2 AGUSTUS 2022**  
**DAN DINYATAKAN TELAH LULUS DAN MEMENUHI SYARAT**

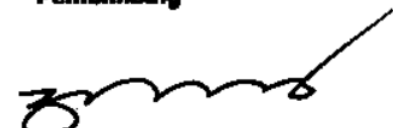
**Pembimbing**

  
**ADITHYA PRAYOGA SAIFUDIN, S.SI, MT**

**NIP : 19880825 201012 1 003**

Tanggal : Agustus 2022

**Pembimbing**

  
**Dr. BAMBANG ISTIANTO, M. Si**

**NIP : 19580108 198403 1 001**

Tanggal : Agustus 2022

**KERTAS KERJA WAJIB**  
**OPTIMALISASI KINERJA LALU LINTAS SIMPANG JAKAL**  
**KM 12,5 DI KABUPATEN SLEMAN**

Yang dipersiapkan dan disusun oleh :

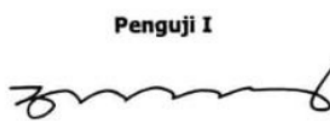
**BIBIT DIAHAYU LESTARI**

Nomor Taruna : 19.02.071

TELAH DIPERTAHANKAN DI DEPAN DEWAN PENGUJI  
PADA TANGGAL 2 AGUSTUS 2022  
DAN DINYATAKAN TELAH LULUS DAN MEMENUHI SYARAT

**DEWAN PENGUJI**

Penguji I



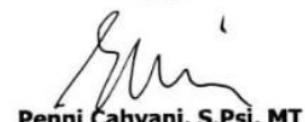
**Dr. Bambang Istianto, M. Si**  
NIP. : 19580108 198403 1 001

Penguji II



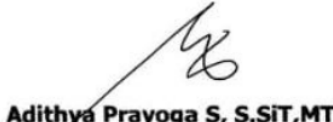
**Ricko Yudhanta, ST, M. Sc**  
NIP. 19830830 201012 1 002

Penguji III



**Penni Cahyani, S.Psi, MT**  
NIP. 19770813 200812 2 001

Penguji IV



**Adithya Prayoga S, S.SiT, MT**  
NIP. 19880825 201012 1 003

MENGETAHUI,

**KEPALA PROGRAM STUDI**  
**MANAJEMEN TRANSPORTASI JALAN**



**Rachmat Sadili, S. SiT, MT**  
NIP. 19840208 200604 1 001

## SURAT PERNYATAAN

Yang bertanda tangan di bawah ini,

Nama : BIBIT DIAHAYU LESTARI

NOTAR : 19.02.071

adalah Taruna/I jurusan Manajemen Transportasi Jalan, Politeknik Transportasi Darat Indonesia - STTD, menyatakan dengan sesungguhnya bahwa Naskah Tugas Akhir/ KKW yang saya tulis dengan judul:

OPTIMALISASI KINERJA LALU LINTAS SIMPANG JAKAL KM 12,5 DI KABUPATEN SLEMAN

adalah benar-benar merupakan hasil karya saya sendiri. Apabila di kemudian hari diketahui bahwa isi Naskah Tugas Akhir ini merupakan hasil plagiasi, maka saya bersedia menerima sanksi berupa pembatalan kelulusan dan atau pencabutan gelar yang saya peroleh.

Demikian surat pernyataan ini saya buat untuk dapat dipergunakan sebagaimana mestinya.

Bekasi, 16 Agustus 2022

Yang membuat pernyataan,


**BIBIT DIAHAYU LESTARI**

Notar : 19.02.07

## **SURAT PERNYATAAN**

Yang bertanda tangan di bawah ini,

Nama : BIBIT DIAHAYU LESTARI

NOTAR : 19.02.071

menyatakan bahwa demi kepentingan perkembangan ilmu pengetahuan, saya menyetujui abstrak Tugas Akhir/ KKW yang saya tulis dengan judul:

OPTIMALISASI KINERJA LALU LINTAS SIMPANG JAKAL KM 12,5 DI KABUPATEN SLEMAN

untuk dipublikasikan atau ditampilkan di Internet atau media lain yaitu Digital Library Perpustakaan PTDI-STTD untuk kepentingan akademik, sebatas sesuai dengan Undang-Undang Hak Cipta.

Demikian surat pernyataan ini saya buat untuk dapat dipergunakan sebagaimana mestinya.

Bekasi, 16 Agustus 2022

Yang membuat pernyataan,

A handwritten signature in black ink is written over a circular official stamp. The stamp features the Garuda Pancasila emblem at the top and the text 'METER' and 'BOGA, JOMBANG 1980' around the perimeter.

**BIBIT DIAHAYU LESTARI**

NOTAR : 19.02.071

## KATA PENGANTAR

Puji syukur kehadiran Tuhan Yang Maha Esa, karena berkat rahmat dan karunia-Nya akhirnya penulis dapat menyelesaikan penyusunan Kertas Kerja Wajib dengan Judul **"Optimalisasi Kinerja Lalu Lintas Simpang Jakal KM 12,5 di Kabupaten Sleman"** tepat pada waktunya.

Kertas Kerja Wajib ini disusun sebagai tugas akhir sebagai syarat kelulusan dalam pendidikan dan latihan perhubungan darat Diploma III Manajemen Transportasi Jalan Politeknik Transportasi Darat Indonesia – STTD sebagai salah satu syarat memperoleh sebutan Ahli Madya Lalu Lintas Angkutan Jalan Politeknik Transportasi Darat Indonesia – STTD.

Dengan segala kerendahan hati, pada kesempatan yang baik ini, penulis menyampaikan ucapan terima kasih kepada :

1. Orang tua dan seluruh keluarga yang selalu mendukung dan mendoakan penulis sehingga penulis bisa menyelesaikan Kertas Kerja Wajib ini;
2. Bapak Ahmad Yani, ATD, MT selaku Direktur Politeknik Transportasi Darat Indonesia – STTD;
3. Bapak Rachmat Sadili, S. SIT, MT selaku Kepala Jurusan Diploma III Manajemen Transportasi Jalan;
4. Bapak Adithya Prayoga Saifudin, S.SiT, MT dan Bapak Dr. Bambang Istianto, M. Si sebagai dosen pembimbing yang telah memberikan bimbingan dan arahan langsung terhadap penulisan Kertas Kerja Wajib ini;
5. Dosen – dosen Program Diploma III Manajemen Transportasi Jalan yang telah memberikan bimbingan secara langsung maupun tidak langsung selama pendidikan;
6. Rekan – rekan Tim PKL Kabupaten Sleman tahun 2022 yang telah menjadi keluarga selama di Sleman dan seterusnya;
7. Rekan – rekan Taruna Program Diploma III Manajemen Transportasi Jalan Angkatan XLI;

8. Diri saya sendiri yang telah berjuang selama menjalani pendidikan hingga sampai pada titik ini;
9. Semua pihak yang tidak bisa disebutkan satu persatu yang telah banyak memberikan bantuan sehingga Kertas Kerja Wajib ini dapat terselesaikan.

Penulis menyadari sepenuhnya bahwa penyusunan Kertas Kerja Wajib ini masih jauh dari sempurna dan masih banyak kekurangan, saran dan masukan sangat diharapkan bagi kesempurnaan penulisan. Semoga bermanfaat bagi kita semua, khususnya bagi perkembangan ilmu pengetahuan bidang Transportasi Darat dan dapat diterapkan untuk membantu pembangunan transportasi di Indonesia pada umumnya.

Bekasi, Agustus 2022

**Penulis,**

**BIBIT DIAHAYU LESTARI**

**Notar : 1902071**

## DAFTAR ISI

|  |     |
|--|-----|
| .....  | v   |
| .....  | v   |
| .....  | vi  |
| KATA PENGANTAR.....                          | i   |
| DAFTAR ISI.....                              | iii |
| DAFTAR TABEL.....                            | v   |
| DAFTAR GAMBAR.....                           | ix  |
| DAFTAR RUMUS.....                            | x   |
| DAFTAR LAMPIRAN.....                         | xi  |
| BAB I.....                                   | 1   |
| PENDAHULUAN.....                             | 1   |
| 1.1 Latar Belakang.....                      | 1   |
| 1.2 Identifikasi Masalah.....                | 2   |
| 1.3 Rumusan Masalah.....                     | 2   |
| 1.4 Maksud dan Tujuan.....                   | 3   |
| 1.5 Batasan Masalah.....                     | 3   |
| BAB II.....                                  | 5   |
| GAMBARAN UMUM.....                           | 5   |
| 2.1 Kondisi Transportasi.....                | 5   |
| 2.2 Kondisi Wilayah Kajian.....              | 7   |
| BAB III.....                                 | 13  |
| KAJIAN PUSTAKA.....                          | 13  |
| 3.1 Persimpangan.....                        | 13  |
| 3.2 Pengendalian Persimpangan.....           | 14  |
| 3.3 Penentuan Pengendalian Persimpangan..... | 16  |
| 3.4 Aplikasi Perhitungan MKJI (KAJI).....    | 19  |
| BAB IV.....                                  | 20  |
| METODOLOGI PENELITIAN.....                   | 20  |
| 4.1 Alur Pikir.....                          | 20  |
| 4.2 Bagan Alir Penelitian.....               | 21  |
| 4.3 Teknik Pengumpulan Data.....             | 23  |

|   |  |     |
|---|--|-----|
| 4.4                                       | Teknik Analisa Data .....                            | 25  |
| 4.5                                       | Pelayanan Persimpangan.....                          | 43  |
| 4.6                                       | Lokasi dan Jadwal Penelitian.....                    | 43  |
| BAB V .....                               |  | 45  |
| ANALISIS DATA DAN PEMECAHAN MASALAH ..... |  | 45  |
| 5.1                                       | Analisa Permasalahan Simpang Kondisi Eksisting ..... | 45  |
| 5.2                                       | Penentuan Tipe Pengendalian Simpang .....            | 49  |
| 5.3                                       | Analisa Kinerja Simpang Usulan I.....                | 51  |
| 5.4                                       | Analisa Kinerja Simpang Usulan II.....               | 64  |
| 5.5                                       | Analisa Kinerja Simpang Usulan III .....             | 76  |
| 5.6                                       | Analisa Kinerja Simpang Usulan IV .....              | 91  |
| 5.7                                       | Perbandingan Hasil Kinerja Usulan .....              | 103 |
| 5.8                                       | Pemecahan Masalah .....                              | 104 |
| BAB VI.....                               |  | 106 |
| KESIMPULAN DAN SARAN .....                |  | 106 |
| 6.1                                       | Kesimpulan .....                                     | 106 |
| 6.2                                       | Saran .....  | 107 |
| DAFTAR PUSTAKA .....                      |  | 108 |

## DAFTAR TABEL

|  |    |
|--|----|
| Tabel II. 1 Data Simpang Non Apill Kabupaten Sleman .....  | 6  |
| Tabel III. 1 Hubungan LHR dan Volume Jam Tersibuk.....   | 18 |
| Tabel IV. 1 Kapasitas Dasar Simpang Tidak Bersinyal.....   | 26 |
| Tabel IV. 2 Faktor Penyesuaian Median Jalan Utama .....  | 28 |
| Tabel IV. 3 Faktor Penyesuaian Ukuran Kota .....   | 28 |
| Tabel IV. 4 Faktor Penyesuaian Lingkungan Jalan, Hambatan Samping dan Kendaraan Tidak Bermotor ..... | 29 |
| Tabel V. 1 Lebar Pendekat Simpang Jakal KM 12,5 .....  | 45 |
| Tabel V. 2 Usulan - Usulan Pengaturan Simpang Jakal KM 12,5 .....                                    | 50 |
| Tabel V. 3 Arus Jenuh Dasar.....   | 51 |
| Tabel V. 4 Faktor Penyesuaian Hambatan Samping.....  | 52 |
| Tabel V. 5 Faktor Penyesuaian Belok Kanan .....  | 53 |
| Tabel V. 6 Faktor Penyesuaian Belok Kiri .....   | 54 |
| Tabel V. 7 Arus Jenuh Setelah Penyesuaian .....  | 54 |
| Tabel V. 8 Perhitungan Rasio Arus .....  | 55 |
| Tabel V. 9 Perhitungan Rasio Fase .....  | 56 |
| Tabel V. 10 Waktu Hijau Pendekat .....   | 56 |
| Tabel V. 11 Perhitungan Nilai Kapasitas Pendekat.....  | 57 |
| Tabel V. 12 Perhitungan Derajat Kejenuhan .....  | 58 |
| Tabel V. 13 Perhitungan Jumlah smp yang Tersisa pada Fase Sebelumnya .....                           | 58 |
| Tabel V. 14 Perhitungan Jumlah smp yang Datang Selama Waktu Merah .....                              | 59 |
| Tabel V. 15 Perhitungan Jumlah Rata - Rata pada Awal Sinyal Hijau .....                              | 59 |
| Tabel V. 16 Perhitungan Panjang Antrian Kendaraan .....  | 60 |
| Tabel V. 17 Perhitungan Angka Henti .....  | 60 |
| Tabel V. 18 Perhitungan Jumlah Kendaraan Terhenti .....  | 61 |
| Tabel V. 19 Perhitungan Tundaan Rata -Rata Lalulintas .....  | 61 |
| Tabel V. 20 Perhitungan Tundaan Geometrik .....  | 62 |
| Tabel V. 21 Perhitungan Tundaan Rata - Rata .....  | 62 |
| Tabel V. 22 Tundaan pada Skenario I Simpang Jakal KM 12,5 .....                                      | 62 |
| Tabel V. 23 Kinerja Simpang Jakal KM 12,5 Skenario I.....  | 63 |

|  |    |
|--|----|
| Tabel V. 24 Arus Jenuh Dasar .....   | 65 |
| Tabel V. 25 Faktor Penyesuaian Hambatan Samping .....                      | 65 |
| Tabel V. 26 Faktor Penyesuaian Belok Kanan .....                           | 66 |
| Tabel V. 27 Faktor Penyesuaian Belok Kiri.....                             | 67 |
| Tabel V. 28 Arus Jenuh Setelah Penyesuaian.....                            | 67 |
| Tabel V. 29 Perhitungan Rasio Arus.....                                    | 68 |
| Tabel V. 30 Perhitungan Rasio Fase.....                                    | 69 |
| Tabel V. 31 Waktu Hijau Pendekat .....                                     | 70 |
| Tabel V. 32 Perhitungan Nilai Kapasitas Pendekat.....                      | 70 |
| Tabel V. 33 Perhitungan Derajat Kejenuhan .....                            | 71 |
| Tabel V. 34 Perhitungan Jumlah smp yang Tersisa pada Fase Sebelumnya ..... | 71 |
| Tabel V. 35 Perhitungan Jumlah smp yang Datang Selama Waktu Merah .....    | 72 |
| Tabel V. 36 Perhitungan Jumlah Rata - Rata pada Awal Sinyal Hijau .....    | 72 |
| Tabel V. 37 Perhitungan Panjang Antrian Kendaraan .....                    | 73 |
| Tabel V. 38 Perhitungan Angka Henti .....                                  | 73 |
| Tabel V. 39 Perhitungan Jumlah Kendaraan Terhenti .....                    | 74 |
| Tabel V. 40 Perhitungan Tundaan Rata -Rata Lalulintas .....                | 74 |
| Tabel V. 41 Perhitungan Tundaan Geometrik .....                            | 75 |
| Tabel V. 42 Perhitungan Tundaan Rata - Rata.....                           | 75 |
| Tabel V. 43 Tundaan pada Skenario II Simpang Jakal KM 12,5 .....           | 75 |
| Tabel V. 44 Kinerja Simpang Jakal KM 12,5 Skenario II.....                 | 76 |
| Tabel V. 45 Arus Jenuh Dasar .....   | 77 |
| Tabel V. 46 Faktor Penyesuaian Hambatan Samping.....                       | 78 |
| Tabel V. 47 Faktor Penyesuaian Belok Kanan .....                           | 79 |
| Tabel V. 48 Faktor Penyesuaian Belok Kiri.....                             | 79 |
| Tabel V. 49 Arus Jenuh Setelah Penyesuaian.....                            | 80 |
| Tabel V. 50 Perhitungan Rasio Arus.....                                    | 80 |
| Tabel V. 51 Perhitungan Rasio Fase.....                                    | 81 |
| Tabel V. 52 Waktu Hijau Pendekat .....                                     | 82 |
| Tabel V. 53 Perhitungan Nilai Kapasitas Pendekat.....                      | 83 |
| Tabel V. 54 Perhitungan Derajat Kejenuhan .....                            | 83 |
| Tabel V. 55 Perhitungan Jumlah smp yang Tersisa pada Fase Sebelumnya ..... | 84 |

|  |     |
|--|-----|
| Tabel V. 56 Perhitungan Jumlah smp yang Datang Selama Waktu Merah .....      | 84  |
| Tabel V. 57 Perhitungan Jumlah Rata - Rata pada Awal Sinyal Hijau .....      | 85  |
| Tabel V. 58 Perhitungan Panjang Antrian Kendaraan .....                      | 85  |
| Tabel V. 59 Perhitungan Angka Henti .....                                    | 86  |
| Tabel V. 60 Perhitungan Jumlah Kendaraan Terhenti .....                      | 86  |
| Tabel V. 61 Perhitungan Tundaan Rata -Rata Lalulintas .....                  | 87  |
| Tabel V. 62 Perhitungan Tundaan Geometrik .....                              | 87  |
| Tabel V. 63 Perhitungan Tundaan Rata - Rata.....                             | 87  |
| Tabel V. 64 Tundaan pada Skenario I Simpang Jakal KM 12,5 .....              | 88  |
| Tabel V. 65 Kinerja Simpang Jakal KM 12,5 Skenario III.....                  | 88  |
| Tabel V. 66 Arus Jenuh Dasar .....   | 91  |
| Tabel V. 67 Faktor Penyesuaian Hambatan Samping.....                         | 92  |
| Tabel V. 68 Faktor Penyesuaian Belok Kanan .....                             | 93  |
| Tabel V. 69 Faktor Penyesuaian Belok Kiri.....                               | 93  |
| Tabel V. 70 Arus Jenuh Setelah Penyesuaian.....                              | 94  |
| Tabel V. 71 Perhitungan Rasio Arus.....                                      | 94  |
| Tabel V. 72 Perhitungan Rasio Fase.....                                      | 95  |
| Tabel V. 73 Waktu Hijau Pendekat .....                                       | 96  |
| Tabel V. 74 Perhitungan Nilai Kapasitas Pendekat.....                        | 97  |
| Tabel V. 75 Perhitungan Derajat Kejenuhan .....                              | 97  |
| Tabel V. 76 Perhitungan Jumlah smp yang Tersisa pada Fase Sebelumnya .....   | 98  |
| Tabel V. 77 Perhitungan Jumlah smp yang Datang Selama Waktu Merah .....      | 98  |
| Tabel V. 78 Perhitungan Jumlah Rata - Rata pada Awal Sinyal Hijau .....      | 99  |
| Tabel V. 79 Perhitungan Panjang Antrian Kendaraan .....                      | 99  |
| Tabel V. 80 Perhitungan Angka Henti .....                                    | 100 |
| Tabel V. 81 Perhitungan Jumlah Kendaraan Terhenti .....                      | 100 |
| Tabel V. 82 Perhitungan Tundaan Rata -Rata Lalulintas .....                  | 100 |
| Tabel V. 83 Perhitungan Tundaan Geometrik .....                              | 101 |
| Tabel V. 84 Perhitungan Tundaan Rata - Rata.....                             | 101 |
| Tabel V. 85 Tundaan pada Skenario II Simpang Jakal KM 12,5 .....             | 102 |
| Tabel V. 86 Kinerja Simpang Jakal KM 12,5 Skenario IV .....                  | 102 |
| Tabel V. 87 Perbandingan Derajat Kejenuhan Kondisi Eksisting dan Usulan .... | 103 |

Tabel V. 88 Perbandingan Tundaan Kondisi Eksisting dan Usulan..... 104

### 3 DAFTAR GAMBAR

|               |  |     |
|---------------|--|-----|
| Gambar II. 1  | Peta Jaringan Jalan di Kabupaten Sleman .....                | 5   |
| Gambar II. 2  | Titik Lokasi Simpang Kabupaten Sleman .....                  | 7   |
| Gambar II. 3  | Kondisi Simpang Jakal KM 12,5 .....                          | 8   |
| Gambar II. 4  | Visualisasi Simpang Pendekat Kaki Selatan .....              | 8   |
| Gambar II. 5  | Visualisasi Simpang Pendekat Kaki Barat .....                | 9   |
| Gambar II. 6  | Visualisasi Simpang Kaki Pendekat Utara .....                | 9   |
| Gambar II. 7  | Penampang Atas Simpang Jakal KM 12,5 .....                   | 10  |
| Gambar III. 1 | Kriteria Tipe Pengendalian Persimpangan .....                | 17  |
| Gambar III. 2 | Konflik di Persimpangan .....                                | 19  |
| Gambar IV. 1  | Bagan Alur Pikir Penelitian .....                            | 20  |
| Gambar IV. 2  | Bagan Alir Penelitian .....                                  | 22  |
| Gambar IV. 3  | Faktor Penyesuaian Lebar Pendekat .....                      | 27  |
| Gambar IV. 4  | Faktor Penyesuaian Belok Kiri .....                          | 30  |
| Gambar IV. 5  | Faktor Penyesuaian Belok Kanan .....                         | 30  |
| Gambar IV. 6  | Faktor Penyesuaian Rasio Arus Jalan Minor .....              | 31  |
| Gambar IV. 7  | Grafik Derajat Kejenuhan Terhadap Nilai Tundaan .....        | 32  |
| Gambar IV. 8  | Nilai Tundaan Lalu Lintas Jalan Utama .....                  | 33  |
| Gambar IV. 9  | Rentang Peluang Antrian .....                                | 35  |
| Gambar IV. 10 | Faktor Penyesuaian Ukuran Kota .....                         | 37  |
| Gambar IV. 11 | Faktor Penyesuaian Hambatan Samping .....                    | 38  |
| Gambar IV. 12 | Faktor Penyesuaian Kelandaian .....                          | 38  |
| Gambar IV. 13 | Faktor Penyesuaian Pengaruh Parkir .....                     | 39  |
| Gambar V. 2   | Fase Lalulintas Kondisi Usulan I .....                       | 63  |
| Gambar V. 3   | Penampang Atas Simpang Bersinyal Simpang Jakal KM 12,5 ..... | 64  |
| Gambar V. 4   | Fase Lalulintas Kondisi Usulan II .....                      | 76  |
| Gambar V. 5   | Fase Lalulintas Usulan III .....                             | 89  |
| Gambar V. 6   | Penampang Atas Simpang Bersinyal Simpang Jakal KM 12,5 ..... | 89  |
| Gambar V. 7   | Fase Lalulintas Kondisi Usulan IV .....                      | 103 |

## DAFTAR RUMUS

|  |    |
|--|----|
| Rumus IV. 1 LHR.....   | 24 |
| Rumus IV. 2 Kapasitas Simpang Tidak Bersinyal.....                       | 25 |
| Rumus IV. 3 Faktor Penyesuaian Belok Kiri Simpang Tak Bersinyal.....     | 28 |
| Rumus IV. 4 Faktor Penyesuaian Belok Kanan Simpang Tak Bersinyal.....    | 29 |
| Rumus IV. 5 Derajat Kejenuhan Simpang Tak Bersinyal.....                 | 30 |
| Rumus IV. 6 Tundaan Lalu Lintas Rata – Rata Jalan Minor.....             | 32 |
| Rumus IV. 7 Tundaan Geometrik Simpang Tak Bersinyal.....                 | 33 |
| Rumud IV. 8 Tundaan Simpang Tak Bersinyal.....                           | 33 |
| Rumus IV. 9 Waktu Siklus Sinyal.....                                     | 34 |
| Rumus IV. 10 Arus Jenuh.....   | 34 |
| Rumus IV. 11 Arus Jenuh Dasar.....                                       | 35 |
| Rumus IV. 12 Faktor Penyesuaian Belok Kanan Simpang Bersinyal.....       | 37 |
| Rumus IV. 13 Faktor Penyesuaian Belok Kiri Simpang Bersinyal.....        | 38 |
| Rumus IV. 14 Waktu Hijau.....  | 38 |
| Rumus IV. 15 Rasio Fase.....   | 38 |
| Rumus IV. 16 Kapasitas Simpang Bersinyal.....                            | 38 |
| Rumus IV. 17 Derajat Kejenuhan Simpang Bersinyal.....                    | 39 |
| Rumus IV. 18 Jumlah Antrian yang Tersisa dari Fase Hijau Sebelumnya..... | 39 |
| Rumus IV. 19 Jumlah Antrian Selama Fase Merah.....                       | 39 |
| Rumus IV. 20 Panjang Antrian.....  | 40 |
| Rumus IV. 21 Laju Henti.....   | 40 |
| Rumus IV. 22 Jumlah Kendaraan Terhenti.....                              | 40 |
| Rumus IV. 23 Tundaan Lalu Lintas Rata-Rata Simpang Bersinyal.....        | 40 |
| Rumus IV. 24 Tundaan Geometrik Simpang Bersinyal.....                    | 41 |

**DAFTAR LAMPIRAN**

|  |     |
|--|-----|
| Lampiran 1 Formulir USIG – I Simpang Jakal KM 12,5.....                  | 109 |
| Lampiran 2 Formulir USIG – II Simpang Jakal KM 12,5 .....                | 110 |
| Lampiran 3 Formulir SIG – I Simpang Jakal KM 12,5 Usulan I.....          | 111 |
| Lampiran 4 Formulir SIG – II Simpang Jakal KM 12,5 Usulan I.....         | 112 |
| Lampiran 5 Formulir SIG - IV Simpang Jakal KM 12,5 Usulan I .....        | 113 |
| Lampiran 6 Formulir SIG - V Simpang Jakal KM 12,5 Usulan I (KAJI).....   | 114 |
| Lampiran 7 Formulir SIG - I Simpang Jakal KM 12,5 Usulan II .....        | 115 |
| Lampiran 8 Formulir SIG - II Simpang Jakal KM 12,5 Usulan II .....       | 116 |
| Lampiran 9 Formulir SIG - IV Simpang Jakal KM 12,5 Usulan II .....       | 117 |
| Lampiran 10 Formulir SIG - V Simpang Jakal KM 12,5 Usulan II (KAJI)..... | 118 |
| Lampiran 11 Formulir SIG - I Simpang Jakal KM 12,5 Usulan III .....      | 119 |
| Lampiran 12 Formulir SIG-II Simpang Jakal KM 12,5 Usulan III .....       | 120 |
| Lampiran 13 Formulir SIG-IV Simpang Jakal KM 12,5 Usulan III .....       | 121 |
| Lampiran 14 Formulir SIG-V Simpang Jakal KM 12,5 Usulan III (KAJI) ..... | 122 |
| Lampiran 15 Formulir SIG-I Simpang Jakal KM 12,5 Usulan IV.....          | 123 |
| Lampiran 16 Formulir SIG-II Simpang Jakal KM 12,5 Usulan IV .....        | 124 |
| Lampiran 17 Formulir SIG-IV Simpang Jakal KM 12,5 Usulan IV.....         | 125 |
| Lampiran 18 Formulir SIG-V Simpang Jakal KM 12,5 Usulan IV (KAJI) .....  | 126 |

## PENDAHULUAN

## 1.1 Latar Belakang

Kabupaten Sleman merupakan sebuah kabupaten yang terletak di tengah Provinsi Yogyakarta dan merupakan pusat kegiatan pendidikan dikarenakan banyaknya perguruan tinggi menjadikan Kabupaten Sleman sebagai jalur perlintasan pergerakan orang dan barang dari pusat Kota Yogyakarta ke daerah sekitarnya. Hal itu menyebabkan tingginya pertumbuhan kendaraan yaitu sebesar 17% per tahun berdasarkan Laporan Umum Tim PKL Kabupaten Sleman 2022.

Dengan pertumbuhan jumlah kendaraan yang semakin tinggi di Kabupaten Sleman maka sering terjadi akumulasi kendaraan terutama di persimpangan. Faktor lain terjadinya penumpukan kendaraan di persimpangan yaitu kurangnya kapasitas persimpangan, tipe pengendalian persimpangan yang sudah tidak sesuai dengan kondisi saat ini atau tidak adanya manajemen rekayasa pada persimpangan sehingga menimbulkan antrian dan tundaan yang cukup tinggi. Salah satu persimpangan yang memiliki antrian dan tundaan yang cukup tinggi yaitu di Simpang Jakal KM 12,5.

Simpang Jakal KM 12,5 merupakan simpang tidak bersinyal yang menjadi pertemuan antara ruas jalan Jl. Yogyakarta-Kaliurang III, Jl. Yogyakarta-Kaliurang IV, dan Jl. Kayunan-Candikarang. Dimana Jl.Yogyakarta - Kaliurang merupakan jalan mayor dengan status jalan provinsi dan berfungsi sebagai jalan kolektor primer yang dilewati angkutan umum Transjogja dan truk pengangkut barang. Simpang ini merupakan jalan yang menghubungkan ke pusat Kabupaten Sleman, jalan utama menuju kawasan wisata Kaliurang dan kawasan pendidikan, serta terdapat banyak area pertokoan. Terdapat rambu larangan untuk memasuki Jl.Kayunan-Candikarang bagi kendaraan truk serta terdapat petugas pengatur lalu lintas tidak resmi yang membantu mengatur lalu lintas di simpang tersebut tetapi tetap terjadi tundaan dan antrian kendaraan yang tinggi.

Simpang Jakal KM 12,5 menempati ranking terendah kedua dalam perbandingan kinerja simpang tidak bersinyal berdasarkan pada hasil Laporan Umum Tim PKL Kabupaten Sleman 2022 dengan tundaan sebesar 19,42 det/smp, nilai batas bawah dan batas atas peluang antrian sebesar 40,93% sampai 131,35% serta nilai derajat kejenuhan yang mencapai 1,01. Arus lalu lintas yang melewati simpang ini sebanyak 2.083 smp/jam. Melihat keadaan tersebut maka simpang ini perlu dilakukan optimalisasi untuk dapat meningkatkan kinerjanya.

### 58 1.2 Identifikasi Masalah

Dari latar belakang yang telah digambarkan sebelumnya, permasalahan yang dapat diidentifikasi sebagai berikut ;

1. Terjadi tundaan yang cukup tinggi sebesar 19,42 det/smp;
2. Peluang antrian yang panjang dengan nilai batas bawah 40,93% dan batas atas 131,35%;
3. Derajat kejenuhan yang mencapai 1,01 akibat kondisi arus lalu lintas simpang yang tinggi;
4. Volume lalu lintas simpang sebanyak 2.083 smp/jam yang melebihi kapasitas Simpang Jakal KM 12,5;
5. Ketidakteraturan pergerakan kendaraan pada simpang dikarenakan tidak adanya pengatur lalu lintas pada simpang;
6. Kapasitas simpang yang tidak dapat menampung arus kondisi lalu lintas saat ini.

### 3 1.3 Rumusan Masalah

Berdasarkan identifikasi masalah yang diuraikan diatas dapat dirumuskan permasalahan sebagai berikut ;

1. Bagaimana kinerja Simpang Jakal KM 12,5 saat ini yang berupa simpang tidak bersinyal?
2. Bagaimana tipe pengendalian simpang yang sesuai dengan kondisi volume lalu lintas Simpang Jakal KM 12,5 saat ini?

3. Bagaimana usulan – usulan dalam melakukan pengaturan persimpangan berdasarkan tipe pengendalian yang sesuai pada Simpang Jakal KM 12,5?
4. Bagaimana upaya terbaik yang dilakukan dalam optimalisasi Simpang Jakal KM 12,5?

#### 1.4 Maksud dan Tujuan

Maksud dari penulisan Kertas Kerja Wajib ini adalah sebagai berikut ;

1. Kertas Kerja Wajib ini sebagai syarat kelulusan mendapatkan gelar Ahli Madya Lalu Lintas Angkutan Jalan;
2. Masukan kepada Dinas Perhubungan Kabupaten Sleman tentang pentingnya optimalisasi simpang tidak bersinyal.

Tujuan dari penulisan ini yaitu ;

1. Mengidentifikasi kinerja Simpang Jakal KM 12,5 yang berupa simpang tidak bersinyal;
2. Mengidentifikasi tipe pengendalian persimpangan yang sesuai dengan volume lalu lintas eksisting Simpang Jakal KM 12,5;
3. Mengidentifikasi usulan pengaturan persimpangan berdasarkan dengan tipe pengendalian yang sesuai pada Simpang Jakal KM 12,5;
4. Membandingkan usulan – usulan kinerja simpang untuk memberikan solusi terbaik dalam melakukan optimalisasi Simpang Jakal KM 12,5.

#### 1.5 Batasan Masalah

Dikarenakan keterbatasan waktu, biaya, dan tenaga maka penelitian ini dibatasi oleh batasan masalah. Sesuai dengan usulan judul Kertas Kerja Wajib ini yaitu "**Optimalisasi Kinerja Lalu Lintas Simpang Jakal KM 12,5 di Kabupaten Sleman**", maka penulisan ini dibatasi dalam hal ;

1. Batasan Wilayah Studi  
Simpang yang dikaji adalah Simpang Jakal KM 12,5, yaitu antara Jl. Yogyakarta – Kaliurang III, Jl. Yogyakarta – Kaliurang IV, dan Jl. Kayunan – Candikarang.
2. Analisis
  - a. Derajat Kejenuhan;

- b. Tundaan Keseluruhan Smpang;
- c. Peluang Antrian.

## BAB II

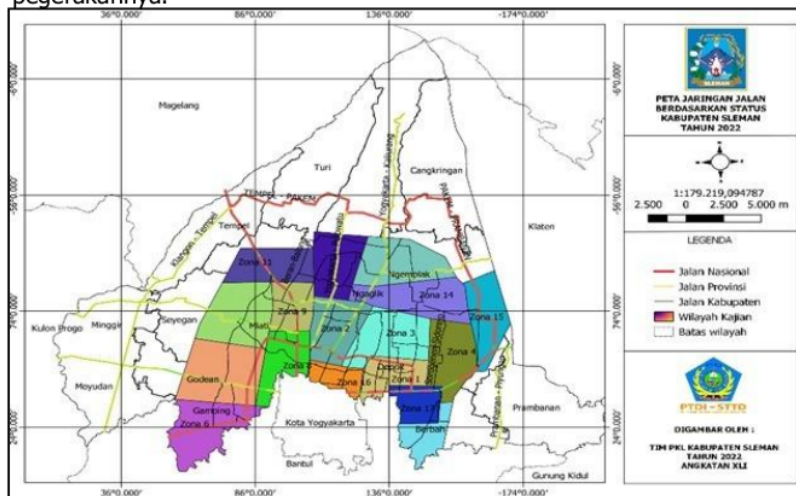
### GAMBARAN UMUM

#### 2.1 Kondisi Transportasi

##### 2.1.1 Jaringan Jalan dan Arus Lalu Lintas

Jaringan jalan menurut status di Kabupaten Sleman terdiri dari jalan Nasional, Provinsi, dan Kabupaten, dimana panjang jalan nasional sebesar 61,66 km, jalan provinsi sebesar 116,32 km, dan jalan kabupaten sebesar 699,5 km. Sehingga total panjang ruas jalan di Kabupaten Sleman yaitu 877,48 km.

Karakteristik volume lalu lintas di Kabupaten Sleman dapat dilihat dari perbedaan pada waktu peak. Pada peak pagi, umumnya pergerakan didalam kota lebih banyak menuju kearah CBD, sedangkan pergerakan dari luar kota lebih sedikit menuju daerah dalam kota. Pada peak pagi, jumlah volume lalu lintas tidak hanya terpusat pada satu waktu karena jam berangkat ke kantor, dan jam kendaraan barang masuk kota berbeda – beda. Masyarakat berangkat menuju kantor pada pukul 07.30 – 08.30, sedangkan kendaraan barang di Kabupaten Sleman belum diatur mengenai pegerakannya.



Sumber : Laporan Umum Tim PKL Kabupaten Sleman 2022

Gambar II. 1 Peta Jaringan Jalan di Kabupaten Sleman

### 2.1.2 Persimpangan

Berdasarkan hasil survei inventarisasi wilayah kajian, terdapat 25 simpang yang dikaji dengan 19 simpang APILL dan lima simpang tanpa pengendali serta satu bundaran. Secara umum kondisi simpang APILL berfungsi dengan cukup baik, akan tetapi belum semua persimpangan APILL dilengkapi dengan *counter down*. Berikut daftar simpang di wilayah kajian Kabupaten Sleman :

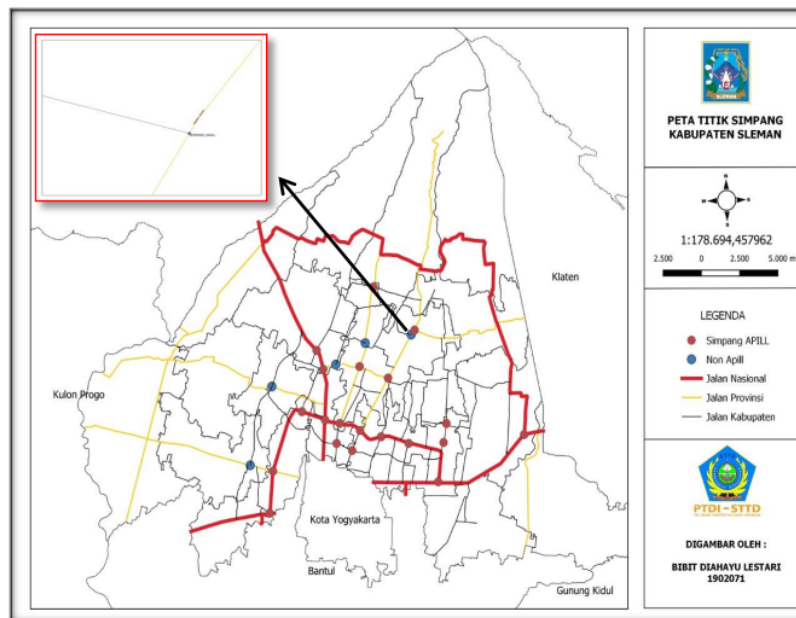
**Tabel II. 1** Data Simpang Non Apill Kabupaten Sleman

| No | Node | Nama Simpang          | Tipe | DS   | Panjang Antrian (m) | Tundaan (smp/jam) |
|----|------|-----------------------|------|------|---------------------|-------------------|
| 1  | 1002 | Simpang Cebongan      | 422  | 1,18 | 56,36               | 31,05             |
| 2  | 1307 | Simpang Jakal KM 12,5 | 322  | 1,01 | 40,93               | 19,42             |
| 3  | 702  | Simpang Munggur       | 422  | 1,01 | 41,09               | 15,51             |
| 4  | 902  | Simpang Tlacap        | 422  | 0,82 | 26,98               | 9,78              |
| 5  | 1205 | Simpang Redjodani     | 322  | 0,78 | 15,10               | 6,76              |

Sumber : Laporan Umum Tim PKL Kabupaten Sleman 2022

Terdapat dua simpang tiga tidak bersinyal dan tiga simpang empat bersinyal di Kabupaten Sleman. Berdasarkan data simpang tidak bersinyal pada Laporan Umum Tim PKL Kabupaten Sleman Tahun 2022 Simpang Jakal KM 12,5 termasuk ke dalam ranking kedua terendah dari lima simpang tidak bersinyal dan ranking satu terburuk dari dua simpang tiga tidak bersinyal. Dalam penelitian ini, peneliti tidak melakukan kajian pada simpang dengan rangking terburuk yaitu Simpang Cebongan, dikarenakan berdasarkan informasi dan saran dari dinas terkait bahwa simpang tersebut sudah tidak layak dijadikan simpang dengan APILL, melainkan akan diterapkan manajemen rekayasa lalu lintas berupa sistem satu arah. Ranking terbaik terdapat pada Simpang Redjodani dengan

derajat kejenuhan 0,78. Sebanyak tiga dari lima simpang memiliki derajat kejenuhan yang melebihi satu. Dilihat dari data derajat kejenuhannya dapat dikatakan bahwa simpang tidak bersinyal di Kabupaten Sleman semuanya bermasalah karena melebihi 0,75. Berikut merupakan titik lokasi simpang bersinyal dan tidak bersinyal di Kabupaten Sleman yaitu sebanyak 25 simpang.



Sumber : Hasil Analisis

**Gambar II. 2** Titik Lokasi Simpang Kabupaten Sleman

## 2.2 Kondisi Wilayah Kajian

### 2.2.1 Lokasi Simpang Kajian

Simpang Jakal KM 12,5 merupakan simpang tidak bersinyal yang terletak di Kecamatan Ngaglik yang merupakan akses menuju Kawasan Wisata Kaliurang serta menghubungkan ke area CBD dan pusat Kota Yogyakarta. Simpang ini merupakan simpang tiga yang menjadi pertemuan antara ruas jalan Jl. Yogyakarta-Kaliurang III yang berada di sebelah selatan, Jl. Yogyakarta-Kaliurang IV pada kaki utara, dan Jl. Kayunan-Candikarang pada kaki barat. Simpang ini terletak di jalan kolektor dimana

pada ruas jalan ini dilewati angkutan umum Transjogja. Persimpangan ini melayani arus lalu lintas yang dapat dilewati semua jenis kendaraan kecuali pada ruas Jl. Kayunan – Candikarang dimana truk dilarang melewati jalan ini. Tata guna lahan di sekitar persimpangan merupakan pertokoan dan pemukiman. Berikut merupakan foto Simpang Jakal KM 12,5.



Sumber : Google Earth (2022)

**Gambar II. 3** Kondisi Simpang Jakal KM 12,5

#### 2.2.2 Kondisi Pendekat Simpang Jakal KM 12,5

Volume arus kendaraan pada jalan mayor cukup banyak, disebabkan jalan tersebut mengarah ke arah Kota Yogyakarta (selatan), kawasan wisata dan pendidikan (utara). Simpang tersebut memiliki pengangaturan rambu larangan bagi kendaraan truk untuk masuk ke jalan minor tetapi masih terdapat banyak pengguna jalan yang melanggar.



Sumber : Dokumentasi

**Gambar II. 4** Visualisasi Simpang Pendekat Kaki Selatan

Pada pendekatan selatan semua kendaraan diperbolehkan melintas. Dilihat dari **Gambar II.5** mayoritas kendaraan yang melewati simpang adalah sepeda motor.



*Sumber : Dokumentasi*

**Gambar II. 5** Visualisasi Simpang Pendekat Kaki Barat

Gambar dibawah ini merupakan pendekatan barat yaitu Jl. Kayunan – Candikarang yang merupakan jalan kabupaten. Pada pendekatan ini kendaraan truk tidak diperbolehkan melintas.



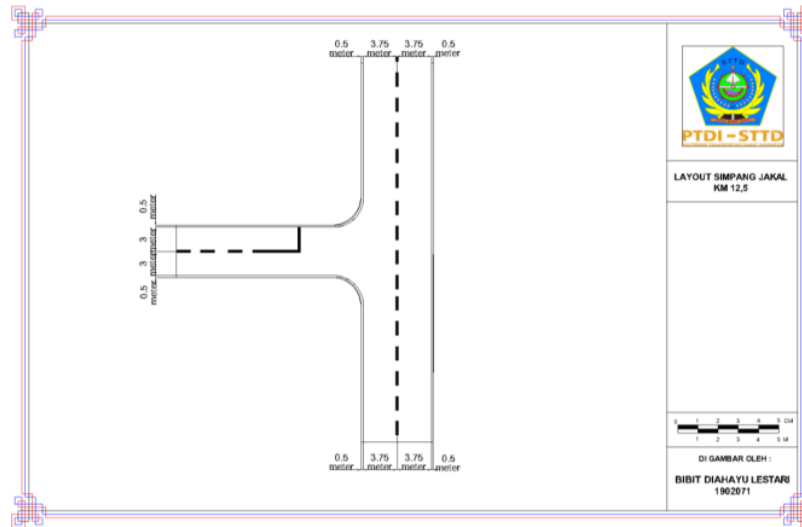
*Sumber : Dokumentasi*

**Gambar II. 6** Visualisasi Simpang Kaki Pendekat Utara

Pada pendekatan selatan semua kendaraan diperbolehkan melintas. Pendekat ini menghubungkan Kabupaten Sleman menuju Kota Yogyakarta.

### 2.2.3 Kondisi Geometrik

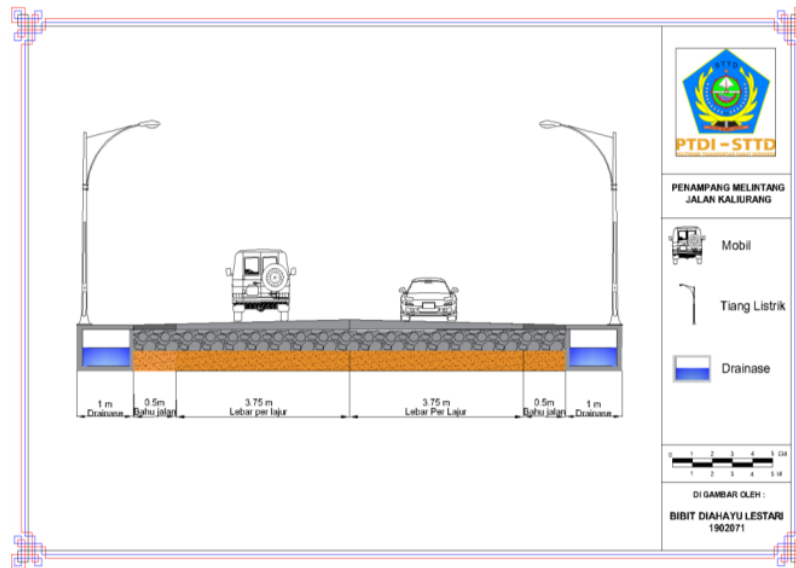
Dari survei inventarisasi yang telah dilakukan, dapat diketahui bahwa Simpang Jakal KM 12,5 merupakan simpang prioritas dengan tipe 322 yang dikendalikan dengan rambu dan marka. Berikut ini merupakan gambar tampak atas dari Simpang Jakal KM 12,5.



*Sumber : Hasil Analisis 2022*

#### **Gambar II. 7** Penampang Atas Simpang Jakal KM 12,5

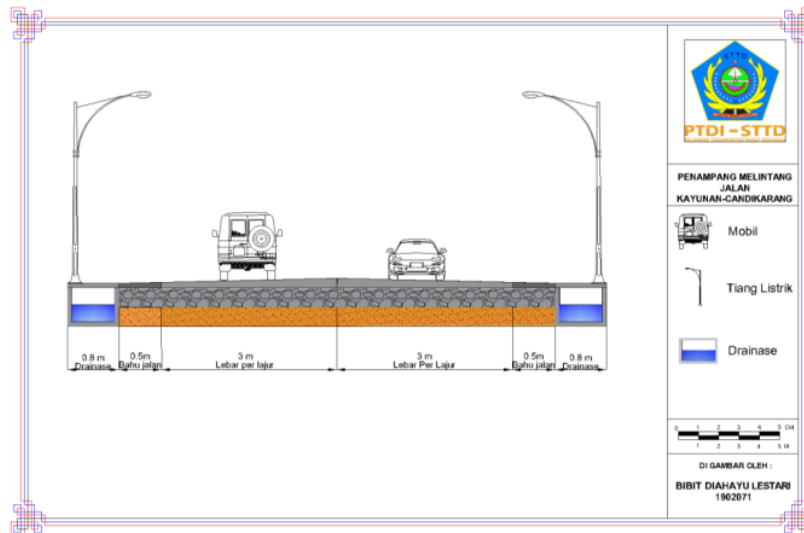
Lebar pendekat pada jalan mayor sebesar 3,75 meter dengan status jalan provinsi sedangkan lebar jalan minor sebesar 3 meter. Berikut merupakan penampang untuk masing – masing pendekat simpang.



Sumber : Hasil Analisis 2022

**Gambar II. 8** Penampang Melintang Ruas Jalan Yogyakarta - Kaliurang

Kaki simpang ruas Jalan Yogyakarta – Kaliurang pada sebelah utara dan selatan memiliki lebar yang sama yaitu 7,5 meter dengan tipe jalan 2/2 UD sehingga lebar pendekat untuk keduanya yaitu 3,75 meter. Berikut merupakan penampang melintang pada jalan minor yaitu ruas Jalan Kayunan – Candikarang.



Sumber : Hasil Analisis 2022

**Gambar II. 9** Penampang Melintang Ruas Jalan Kayunan - Candikarang Kaki simpang ruas Jalan Kayunan - Candikarang merupakan jalan minor dengan tipe jalan 2/2 UD untuk lebar pendekatnya yaitu 3 meter.

## BAB III

### KAJIAN PUSTAKA

#### 3.1 <sup>20</sup> **Persimpangan**

Berdasarkan pada Peraturan Pemerintah No. 43 tahun 1993 tentang Prasarana Jalan dan Lalu Lintas Jalan, persimpangan adalah pertemuan atau percabangan jalan, baik sebidang maupun tidak sebidang (Pasal 1). Simpul jaringan jalan dimana jalan-jalan bertemu dan kendaraan berpotongan disebut persimpangan (Abubakar, Yani, and Sutiono 1995). Persimpangan jalan merupakan daerah umum dimana dua titik ruas jalan atau lebih bertemu atau bersimpangan, termasuk jalan dan fasilitas tepi jalan untuk pergerakan lalu lintas di dalamnya (Khisty and Lall 2005). Persimpangan didefinisikan sebagai area bersama dua atau lebih jalan yang bertemu atau berpotongan, termasuk fasilitas jalan untuk lalu lintas (AASHTO 2001).

<sup>45</sup> Persimpangan merupakan bagian penting dari jalan raya karena sebagian besar efisiensi, keamanan, kecepatan, biaya operasional dan kapasitas lalu lintas tergantung pada perencanaan persimpangan. Persimpangan merupakan tempat rawan terjadinya kecelakaan diakibatkan adanya konflik pejalan kaki dengan kendaraan. Menurut Abubakar, Yani, dan Sutiono (1995) <sup>26</sup> masalah utama pada persimpangan adalah :

- a. Volume dan kapasitas, yang secara langsung mempengaruhi hambatan
- b. Desain geometrik, dan kebebasan pandang
- c. Kecelakaan dan keselamatan jalan, kecepatan, lampu jalan
- d. Parkir, akses, dan pembangunan yang sifatnya umum
- e. Pejalan kaki
- f. Jarak antar persimpangan

Menurut C. Jotin Khisty dan B. Kent Lall (2005) <sup>8</sup> terdapat tiga jenis persimpangan, yaitu :

- a. Persimpangan sebidang (*intersection at grade*)
- b. Pembagian jalur jalan tanpa ramp

c. Simpang susun (*interchange*)

### 3.2 Pengendalian Persimpangan

Konsep utama pengendalian persimpangan adalah sistem prioritas yaitu suatu aturan untuk menentukan kendaraan yang dapat berjalan terlebih dahulu. Sistem pengendalian persimpangan didasarkan atas prinsip – prinsip sebagai berikut (Abubakar, Yani, and Sutiono 1995) :

1. Aturan prioritas harus dipahamni oleh pengemudi
2. Prioritas harus terbagi dengan baik sehingga semua pengguna jalan mempunyai kesempatan untuk bergerak
3. Prioritas harus terorganisasi, sehingga titik – titik konflik dapat dikurangi
4. Keputusan – keputusan yang harus dilakukan oleh pengemudi harus dijaga agar sesederhana mungkin
5. Hambatan total lalu lintas harus sekecil mungkin

Pemilihan tipe pengendalian simpang dipengaruhi oleh besarnya arus lalu lintas dan keselamatan. Menurut C. Jotin Khisty dan B. Kent Lall terdapat enam jenis cara pengendalian persimpangan yaitu :

#### 3.2.1 Rambu Berhenti

Pengendalian persimpangan dengan rambu berhenti apabila memiliki kondisi – kondisi sebagai berikut :

1. Persimpangan yang relatif kurang penting dengan jalan utama;
2. Persimpangan antara jalan – jalan perkotaan dan luar kota dengan jalan raya;
3. Jalan yang memasuki suatu jalan raya tembus;
4. Persimpangan tanpa lampu lalu lintas di suatu daerah yang menggunakan lampu lalu lintas;
5. Persimpangan tanpa lalu lintas dengan kecepatan tinggi, pandangan terbatas, dan banyak terjadi kecelakaan serius menandakan adanya kebutuhan pengendalian rambu berhenti.

#### 3.2.2 Rambu Pengendalian Kecepatan

Persimpangan dengan rambu pengendalian kecepatan ditempatkan pada:

- a. Pada jalan minor persimpangan dimana perlu memberikan hak jalan ke jalan utama
- b. Pada pintu masuk ke jalan ekspres dimana tidak terdapat lajur khusus percepatan
- c. Pada jalan dengan lajur belok kanan terpisah atau kanalisasi tanpa lajur percepatan yang memadai
- d. Pada persimpangan dimana masalah lalu lintas dapat ditangani dengan mudah menggunakan rambu pengatur kecepatan
- e. Pada persimpangan dengan jalan terbagi dimana rambu berhenti terletak di mulut jalanyang pertama dan pengendalian selanjutnya diperlukan pada pintu masuk menuju jalan kedua.

### 3.3.3 Kanalisasi di Persimpangan

Kanalisasi merupakan pengaturan aliran kendaraan berkonflik menuju lajur yang jelas menggunakan beton pemisah atau rambu perkerasan untuk menciptakan pergerakan yang teratur dan aman bagi pejalan kaki dan kendaraan. Prinsip dasar perancangan simpang dengan kanalisasi adalah sebagai berikut :

- a. Pengguna jalan dibantu dengan garis – garis kanal yang mudah diikuti
- b. Tikungan tajam dan tiba – tiba harus dihindarkan
- c. Area persinggungan kendaraan harus dikurangi sebanyak mungkin
- d. Arus lalu lintas yang bersimpangan tanpa penggabungan dan penjalinan harus berpotongan tepat atau hamper membentuk sudut tegak lurus

### 3.3.4 Bundaraan (*Rotary*) dan Perputaran (*Roundabout*)

Persimpangan kanalisasi dengan sebuah lingkaran pusat yang dikelilingi jalan satu arah disebut dengan bundaran. Bundaran pada umumnya menggunakan lampu lalu lintas, sedangkan pada perputaran tidak digunakan lampu lalu lintas. Lalu lintas yang masuk pada perputaran mengikuti arah lalu lintas yang terdapat pada area perputaran.

### 3.3.5 Persimpangan Tanpa Rambu

Pengemudi kendaraan yang melewati persimpangan tanpa rambu harus mengamati keadaan agar dapat mengatur kecepatan yang diperlukan sebelum mencapai persimpangan. Pada persimpangan ini harus memungkinkan pengemudi pada kedua jalan untuk melihat persimpangan dan lalu lintas dalam waktu yang cukup untuk menghentikan kendaraan sebelum mencapai persimpangan.

### 3.3.6 Peralatan Lampu Lalu Lintas

Lampu lalu lintas adalah alat elektrik dengan system pengatur waktu yang memberikan hak jalan pada satu atau lebih arus lalu lintas sehingga dapat melewati persimpangan dengan aman. Lampu lalu lintas sesuai untuk meminimalisir :

1. Tundaan berlebih pada rambu berhenti dan rambu pengendali kecepatan;
2. Masalah yang timbul pada tikungan tajam
3. Tabrakan sudut dan sisi
4. Kecelakaan pejalan kaki

## 3.3 Penentuan Pengendalian Persimpangan

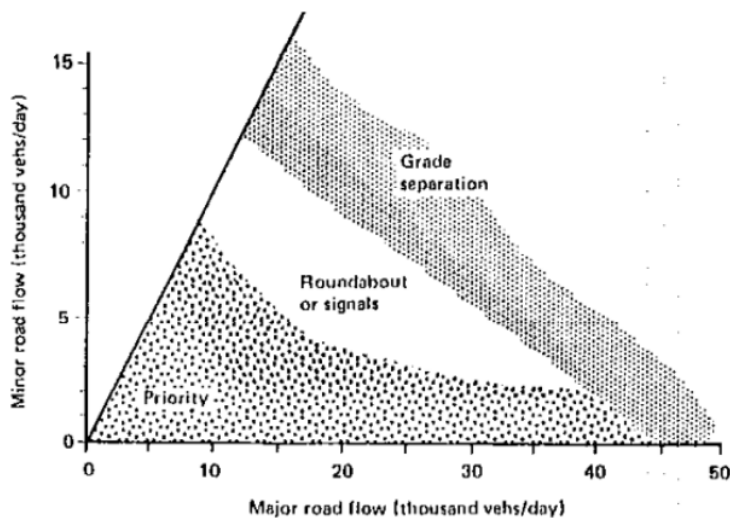
Gerakan arus lalu lintas di persimpangan dapat diatur dengan menentukan jenis pengendalian pada persimpangan. Arus lalu lintas pada kaki persimpangan yang lebih besar dari arus lalu lintas pada kaki lainnya disebut arus mayor, sedangkan arus yang lebih kecil disebut arus minor.

Berdasarkan Peraturan Menteri Perhubungan Republik Indonesia No. 96 tahun 2015 tentang Pedoman Pelaksanaan Kegiatan Manajemen dan Rekayasa Lalu Lintas, kriteria suatu persimpangan yang sudah harus dipasang alat pemberi isyarat lalu lintas adalah :

- a. Arus minimal lalu lintas yang menggunakan persimpangan rata – rata di atas 750 kendaraan/jam selama 8 jam dalam sehari
- b. Bila waktu menunggu/hambatan rata-rata kendaraan di persimpangan telah melampaui 30 detik
- c. Persimpangan digunakan oleh rata-rata lebih dari 175 pejalan kaki/jam selama 8 jam sehari

- d. Sering terjadi kecelakaan pada persimpangan yang bersangkutan
- e. Merupakan kombinasi dari sebab-sebab yang disebutkan di atas
- f. Karena pada daerah yang bersangkutan dipasang suatu system pengendalian lalu lintas terpadu (ATCS) sehingga setiap persimpangan yang termasuk di dalam daerah yang bersangkutan harus dikendalikan dengan alat pemberi isyarat lalu lintas.

Syarat – syarat yang disebutkan di atas tidak baku dan dapat disesuaikan dengan situasi dan kondisi di lapangan. Dalam pengendalian persimpangan dapat menggunakan pedoman pada gambar grafik penentuan pengendalian persimpangan yang digunakan berdasarkan volume lalu lintas pada masing-masing kaki simpangannya. Berikut ini gambar penentuan pengendalian persimpangan :



Sumber : Menuju Lalu Lintas dan Angkutan Jalan yang Tertib 1995

**Gambar III. 1** Kriteria Tipe Pengendalian Persimpangan

Perhitungan dilakukan persatuan waktu (jam) untuk satuan waktu lebih periode, misalkan pada arus lalu lintas jam sibuk pagi, siang, sore. Jika distribusi gerakan membelok tidak diketahui dan tidak dapat diketahui dan tidak dapat diperkirakan, 15% kanan dan 15% kiri dari arus pendekat total dapat dipergunakan (kecuali jika ada gerakan membelok tersebut

yang akan dilarang). Arus lalu lintas harian didapatkan dari perbandingan volume jam perencanaan dan faktor K.

Jika hanya arus lalu lintas (LHR) saja yang ada tanpa diketahui distribusi lalu lintas pada setiap jamnya, maka arus rencana per jam dapat diperkirakan sebagai suatu prosentase dari LHR sebagai berikut :

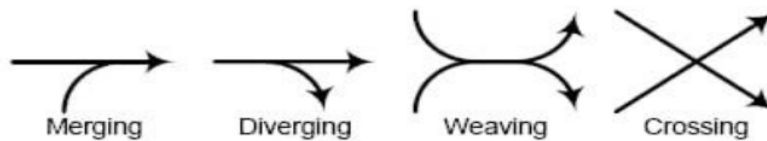
**Tabel III. 1** Hubungan LHR dan Volume Jam Tersibuk

| Tipe Kota dan Jalan                                     | Faktor persen K<br>$K \times LHR = VJP$ |
|---|---|
| 1   | 2                                       |
| Kota – kota > 1 juta penduduk                           |   |
| 1. Jalan – jalan pada daerah komersial dan jalan arteri | 7 – 8 %                                 |
| 2. Jalan – jalan pada daerah pemukiman                  | 8 – 9 %                                 |
| Kota – kota < 1 juta penduduk                           |   |
| 1. Jalan – jalan pada daerah komersial dan jalan arteri | 8 – 10%                                 |
| 2. Jalan – jalan pada daerah pemukiman                  | 9 – 12%                                 |

Sumber : Manual Kapasitas Jalan Indonesia 1997

Perencanaan simpang ditujukan untuk mengurangi konflik antara kendaraan bermotor dan tidak bermotor, dan penyediaan fasilitas yang memberikan kemudahan, kenyamanan, dan keselamatan terhadap pemakai jalan yang melalui persimpangan. Menurut Departemen Pekerjaan Umum (1997) terdapat empat jenis dasar dari alih gerak kendaraan yang berbahaya seperti berikut :

- a. Berpencar (*diverging*)
- b. Bergabung (*merging*)
- c. Bersilang (*weaving*)
- d. Berpotongan (*crossing*)



**Gambar III. 2** Konflik di Persimpangan

### 3.4 Aplikasi Perhitungan MKJI (KAJI)

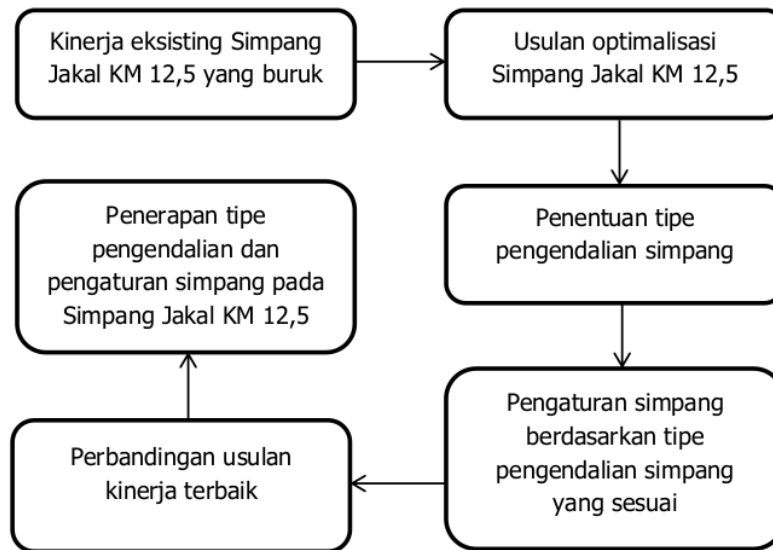
Perangkat lunak komputer untuk KAJI menerapkan metode perhitungan yang dikembangkan pada proyek MKJI. Tujuannya adalah menganalisis kapasitas dan perbedaan kinerja dari fasilitas lalu-lintas jalan (misalnya: ruas jalan, simpang, dll) pada geometri dan arus lalu-lintas yang ada. Setiap kombinasi nilai masukan dilakukan sebagai analisis KAJI yang terpisah. Jika ingin mengoptimasikan, misalnya geometrik, maka harus menggunakan perangkat lunak KAJI secara coba-coba sebanyak dan sama jalannya seperti menggunakan metode manual yang diuraikan dalam MKJI. Dalam hal ini peneliti menggunakan manual dan KAJI untuk perhitungan optimalisasi. Waktu hijau dihitung dengan menggunakan manual, selanjutnya untuk perhitungan kinerja dilakukan menggunakan KAJI. Ada tujuh modul di dalam perangkat lunak KAJI. Modul-modul yang berhubungan dengan bab-bab dalam MKJI adalah:

1. Simpang bersinyal
2. Simpang tak bersinyal
3. Bagian jalinan
4. Bundaran
5. Jalan perkotaan
6. Jalan bebas hambatan
7. Jalan luar kota

## **BAB IV**

### **METODOLOGI PENELITIAN**

#### **4.1 Alur Pikir**



**Gambar IV. 1** Bagan Alur Pikir Penelitian

##### 4.1.1 Identifikasi Masalah

Dalam pengidentifikasian masalah ini akan didapatkan berbagai masalah pada objek studi. Setelah didapatkan masalah kemudian diambil beberapa permasalahan untuk dirumuskan.

##### 4.1.2 Pengumpulan Data

Pengumpulan data yaitu meliputi pengumpulan data primer dan data sekunder. Data primer meliputi data volume lalu lintas, data geometrik ruas dan persimpangan serta data tata guna lahan. Data sekunder meliputi data peta tata guna lahan, data peta jaringan jalan, data jumlah penduduk, dan laporan umum PKL Kabupaten Sleman.

##### 4.1.3 Analisis Data

Setelah diperoleh data primer dan sekunder selanjutnya dilakukan analisa atau pengkajian data.

#### 4.1.4 Keluaran (*Output*)

Tahap ini merupakan tahap akhir dalam menindaklanjuti alternatif terbaik untuk melakukan optimalisasi Simpang Jakal Km 12,5.

### 4.2 Bagan Alir Penelitian

Secara garis besar penelitian ini dilakukan dengan tahapan – tahapan sebagai berikut :

#### 4.2.1 Tahap Awal

Pada tahap ini peneliti mengumpulkan data – data terkait simpang kajian meliputi data jaringan jalan, data volume lalu lintas persimpangan, data geometrik jalan, dan tata guna lahan. Data – data tersebut diperoleh dari survey di lapangan (data primer) dan data yang diperoleh dari instansi – instansi (data sekunder). Peneliti juga mengumpulkan kajian pustaka dan peraturan – peraturan yang berhubungan dengan rekayasa lalu lintas dan pengendalian persimpangan sebagai dasar untuk melakukan tahap selanjutnya.

#### 4.2.2 Tahap Pengolahan Data

Data- data yang sudah didapatkan pada tahap sebelumnya tidak dapat langsung dilakukan analisa. Setelah data – data diperoleh kemudian data tersebut diolah baik data primer maupun data sekunder.

#### 4.2.3 Tahap Analisa

Pada tahapan ini, data yang sudah diolah kemudian akan dilakukan analisa berdasarkan teori – teori pada kajian pustaka maupun pada peraturan – peraturan terkait.

#### 4.2.4 Tahap Akhir

Tahapan akhir ini menghasilkan kesimpulan atau rekomendasi – rekomendasi berupa pemecahan masalah pada objek kajian.

Untuk lebih rinci dan jelasnya langkah – langkah tersebut akan digambarkan dalam bagan alir berikut ini :



**Gambar IV. 2** Bagan Alir Penelitian

### 4.3 Teknik Pengumpulan Data

Perencanaan, pengaturan, dan pengendalian persimpangan didasarkan pada penelitian dan analisis dari berbagai informasi yang telah dikumpulkan berkaitan dengan informasi secara lengkap mengenai kondisi wilayah studi. Data – data yang dibutuhkan meliputi geometrik persimpangan, data lalu lintas dan jaringan jalan. Pengumpulan data dilakukan dengan cara – cara sebagai berikut :

#### 4.3.1 Pengumpulan Data Sekunder

Data – data sekunder didapatkan dari instansi – instansi terkait yaitu :

1. Dinas Pekerjaan Umum untuk mendapatkan data peta jaringan jalan dan data jaringan jalan
2. Dinas Perhubungan Kabupaten Sleman untuk mendapatkan surat keputusan tentang klasifikasi jaringan jalan

#### 4.3.2 Pengumpulan Data Primer

Data – data primer diperoleh survei – survei yang dilakukan secara langsung di lapangan untuk mendapatkan data persimpangan, meliputi :

1. Survei Inventarisasi dan Geometrik Simpang

Tujuan dilakukannya survey ini adalah untuk mengetahui kondisi persimpangan saat ini berupa kondisi fisik persimpangan saat ini yang meliputi tipe simpang, lebar bahu jalan, median, lampu isyarat lalu lintas, rambu dan marka serta perlengkapan jalan lainnya.

Peralatan survey yang diperlukan dalam survey ini yaitu :

- a. *Walking measure*
- b. Rol meter
- c. Clip board
- d. Formulir survey
- e. Alat tulis

Survey inventarisasi persimpangan ini dilaksanakan dengan cara mengamati, mengukur, dan mencatat kedalam formulir survey, sesuai dengan target data yang akan diambil. Metodologi yang digunakan dalam pelaksanaan survey ini adalah pengukuran langsung

terhadap semua perlengkapan yang terdapat pada persimpangan.

Target data yang harus diperoleh dalam survey yaitu :

- a. Panjang dan lebar simpang
- b. Jumlah dan jenis rambu
- c. Kondisi tata guna lahan
- d. Prasarana jalan lainnya

## 2. Survey Gerakan Membelok Terklasifikasi

Survey ini dimaksudkan untuk mengetahui tingkat kepadatan lalu lintas pada persimpangan berdasarkan volume lalu lintas terklasifikasi yang meliputi jenis kendaraan, dan arah gerakan kendaraan dengan melaksanakan pengamatan dan pencacahan pada tiap kaki simpang dalam periode waktu tertentu. Tujuan dilakukannya survey ini adalah untuk desain geometrik persimpangan, menganalisa sistem pengendalian persimpangan dan kapasitas dengan referensi khusus terhadap lalu lintas yang belok kanan dan studi – studi hambatan. Survey ini perlu dilakukan karena sebagian besar hambatan perjalanan terjadi pada persimpangan yang disebabkan karena persimpangan merupakan suatu sistem pembagian ruang, jadi bila satu kendaraan terhambat yang lain akan terhambat. Prioritas diperlukan untuk memperkecil dan mengendalikan konflik yang terjadi, khususnya antara lalu lintas yang bergerak lurus dengan lalu lintas yang belok kanan dari arah yang berlawanan. Peralatan survey yang diperlukan dalam survey gerakan membelok terklasifikasi yaitu :

- a. Counter
- b. Clip board dan alat tulis
- c. formulir survey

Tata cara dilakukannya survey ini yaitu :

- a. surveyor menempati titik survey pada tiap – tiap kaki simpang dimana sedapat mungkin mampu mengamati gerakan arus lalu lintas
- b. surveyor masing – masing bertugas mencatat jumlah kendaraan yang belok kanan, belok kiri, dan lurus

c. kendaraan dihitung untuk setiap interval waktu 15 menit

Target data dalam survey ini meliputi :

- a. prosentase kendaraan yang melakukan gerakan membelok di persimpangan
- b. kapasitas persimpangan

#### 4.4 Teknik Analisa Data

Dalam analisis ini digunakan dua metode berupa perhitungan menggunakan manual MKJI 1997 untuk SIG I, SIG II, dan SIG IV serta digunakan aplikasi KAJI untuk perhitungan pada SIG V. Dalam pengendalian persimpangan dapat menggunakan pedoman pada **Gambar III.1**. Perhitungan dilakukan persatuan waktu (jam) untuk satuan waktu lebih periode, misalkan pada arus lalu lintas jam sibuk pagi, siang, sore. Jika distribusi gerakan membelok tidak diketahui dan tidak dapat diketahui dan tidak dapat diperkirakan, 15% kanan dan 15% kiri dari arus pendekat total dapat dipergunakan (kecuali jika ada gerakan membelok tersebut yang akan dilarang). Arus lalu lintas harian didapatkan dari perbandingan volume jam perencanaan dan faktor K.

$$\boxed{\text{LHR} = \text{VJP} / \text{K}} \dots\dots\dots(\text{IV.1})$$

Sumber : Manual Kapasitas Jalan Indonesia 1997

Jika hanya arus lalu lintas (LHR) saja yang ada tanpa diketahui distribusi lalu lintas pada setiap jamnya, maka arus rencana per jam dapat diperkirakan sebagai suatu prosentase dari LHR seperti pada tabel III.1.

Teknik analisa data yang dilakukan dalam penelitian ini yaitu analisa kinerja simpang tidak bersinyal dengan tujuan untuk mengetahui kinerja simpang pada kondisi saat ini menggunakan pendekatan Manual Kapasitas Jalan Indonesia, serta analisis kondisi usulan yang dilakukan dengan cara optimalisasi atau peningkatn kinerja simpang.

##### 4.4.1 Prosedur Perhitungan Analisis Simpang Tidak Bersinyal

Cara mengukur kinerja dapat diperkirakan untuk kondisi tertentu sehubungan dengan geometri, lingkungan, dan lalu lintas dengan metode yang diuraikan dalam metode ini adalah kapasitas, derajat kejenuhan,

tundaan, dan peluang antrian. Secara lebih rinci, prosedur perhitungan analisis kinerja simpang tidak bersinyal meliputi formulir – formulir yang digunakan untuk mengetahui kinerja pada simpang tidak bersinyal sebagai berikut (MKJI, 1997) :

#### 4.4.1.1 Perhitungan Kapasitas

Arus lalu lintas maksimum dalam kondisi tertentu pada bagian jalan yang dinyatakan dalam kendaraan/jam atau smp/jam disebut dengan kapasitas (MKJI, 1997). Penghitungan kapasitas simpang dipengaruhi oleh kapasitas dasar pada persimpangan beserta faktor – faktor yang mempengaruhi. Berikut merupakan rumus berdasarkan MKJI 1997 untuk menghitung kapasitas simpang tidak bersinyal :

$$C = C_0 \times F_W \times F_M \times F_{CS} \times F_{RSU} \times F_{LT} \times F_{RT} \times F_{MI} \dots\dots\dots(IV.2)$$

Sumber : *Manual Kapasitas Jalan Indonesia 1997*

dengan :

- C = kapasitas (smp/jam)
- C<sub>0</sub> = kapasitas dasar (smp/jam)
- F<sub>W</sub> = faktor koreksi lebar masuk
- F<sub>M</sub> = faktor koreksi tipe median jalan
- F<sub>CS</sub> = faktor koreksi ukuran kota
- F<sub>RSU</sub> = faktor penyesuaian kendaraan tidak bermotor, hambatan samping, dan lingkungan jalan
- F<sub>LT</sub> = faktor penyesuaian belok kiri
- F<sub>RT</sub> = faktor penyesuaian belok kanan
- F<sub>MI</sub> = faktor penyesuaian rasio arus minor

1. Kapasitas Dasar  
 Kapasitas dasar dipengaruhi oleh variable tipe simpang (IT). Kapasitas dinyatakan dalam satuan smp/jam.

**Tabel IV. 1** Kapasitas Dasar Simpang Tidak Bersinyal

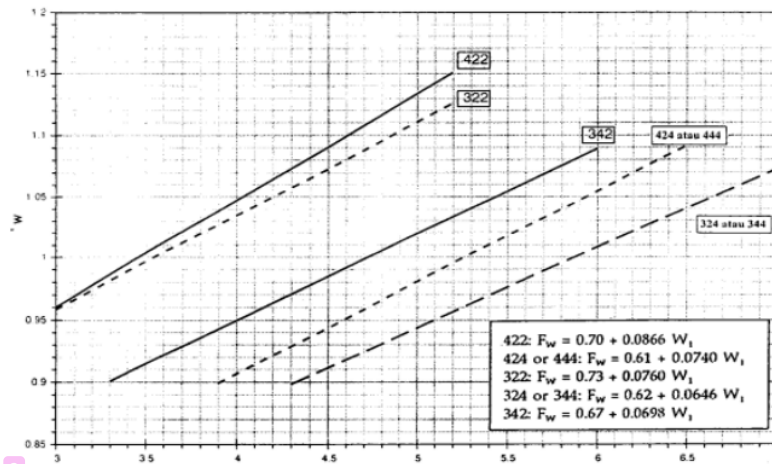
| Tipe Simpang IT | Kapasitas dasar smp/jam |
|-----------------|-------------------------|
| 322             | 2700                    |

| Tipe Simpang IT | Kapasitas dasar smp/jam |
|-----------------|-------------------------|
| 342             | 2900                    |
| 324 atau 344    | 3200                    |
| 422             | 2900                    |
| 424 atau 444    | 3400                    |

Sumber : Manual Kapasitas Jalan Indonesia 1997

## 2. Faktor Penyesuaian Lebar Pendekat (FW)

Faktor penyesuaian lebar pendekat dapat dilihat dari ambar di bawah ini dengan variabel masukan lebar rata – rata semua pendekat  $W$ , dan tipe simpang.



Sumber : Manual Kapasitas Jalan Indonesia 1997

**Gambar IV. 3** Faktor Penyesuaian Lebar Pendekat

## 3. Faktor Penyesuaian Median Jalan Utama (FM)

Penyesuaian median dipengaruhi oleh tipe median diantaranya tidak ada median, sempit, lebar dimana masing – masing dari deskripsi tersebut dijelaskan sebagai berikut :

**Tabel IV. 2** Faktor Penyesuaian Median Jalan Utama

| Uraian                            | Tipe Median | Faktor Penyesuaian Median ( $F_M$ ) |
|-----------------------------------|-------------|-------------------------------------|
| Tidak ada median jalan utama      | Tidak ada   | 1,00                                |
| Ada median jalan utama < 3 m      | Sempit      | 1,05                                |
| Ada median jalan utama $\geq$ 3 m | lebar       | 1,20                                |

Sumber : Manual Kapasitas Jalan Indonesia 1997

4. Faktor Penyesuaian Ukuran Kota  
 Faktor penyesuaian kota dipengaruhi oleh jumlah penduduk pada kota.

**Tabel IV. 3** Faktor Penyesuaian Ukuran Kota

| Ukuran Kota $C_S$ | Penduduk Juta | Faktor Penyesuaian Ukuran Kota $F_{C_S}$ |
|-------------------|---------------|--|
| Sangat kecil      | < 0,1         | 0,82                                     |
| Kecil             | 0,1 – 0,5     | 0,88                                     |
| Sedang            | 0,5 – 1,0     | 0,94                                     |
| Besar             | 1,0 – 3,0     | 1,00                                     |
| Sangat besar      | > 3,0         | 1,05                                     |

Sumber : Manual Kapasitas Jalan Indonesia 1997

5. Faktor Penyesuaian Lingkungan Jalan, Hambatan Samping dan Kendaraan Tidak Bermotor  
 Faktor – faktor penyesuaian ini diperoleh dari hasil survei di lapangan

**Tabel IV. 4** Faktor Penyesuaian Lingkungan Jalan, Hambatan Samping dan Kendaraan Tidak Bermotor

| Kelas tipe lingkungan jalan RE | Kelas hambatan samping SF | Rasio kendaraan tak bermotor $p_{UM}$ |      |      |      |      |             |
|--------------------------------|---------------------------|---------------------------------------|------|------|------|------|-------------|
|                                |                           | 0,00                                  | 0,05 | 0,10 | 0,15 | 0,20 | $\geq 0,25$ |
| Komersial                      | Tinggi                    | 0,93                                  | 0,88 | 0,84 | 0,79 | 0,74 | 0,70        |
|                                | Sedang                    | 0,94                                  | 0,89 | 0,85 | 0,80 | 0,75 | 0,70        |
|                                | Rendah                    | 0,95                                  | 0,90 | 0,86 | 0,81 | 0,76 | 0,71        |
| Pemukiman                      | Tinggi                    | 0,96                                  | 0,91 | 0,86 | 0,82 | 0,77 | 0,72        |
|                                | Sedang                    | 0,97                                  | 0,92 | 0,87 | 0,82 | 0,77 | 0,73        |
|                                | Rendah                    | 0,98                                  | 0,93 | 0,88 | 0,83 | 0,78 | 0,74        |
| Akses terbatas                 | Tinggi/sedan g/rendah     | 1,00                                  | 0,95 | 0,90 | 0,85 | 0,80 | 0,75        |

Sumber : Manual Kapasitas Jalan Indonesia 1997

6. Faktor Penyesuaian Belok Kiri

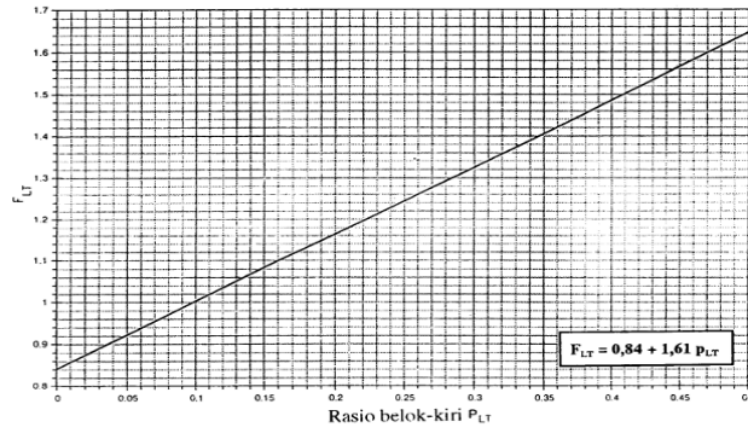
Variabel yang mempengaruhi adalah belok kiri. Penentuan nilai FLT dapat dilihat dari gambar grafik atau rumus berikut :

$$FLT = 0,84 + 1,61 PLT \dots\dots\dots(IV.3)$$

Sumber : Manual Kapasitas Jalan Indonesia 1997

dengan :

PLT = rasio belok kiri



Sumber : Manual Kapasitas Jalan Indonesia 1997

**Gambar IV. 4** Faktor Penyesuaian Belok Kiri

7. Faktor Penyesuaian Belok Kanan

Faktor penyesuaian belok kanan digunakan untuk perhitungan simpang tiga lengan dengan memperhatikan rasio belok kanan.

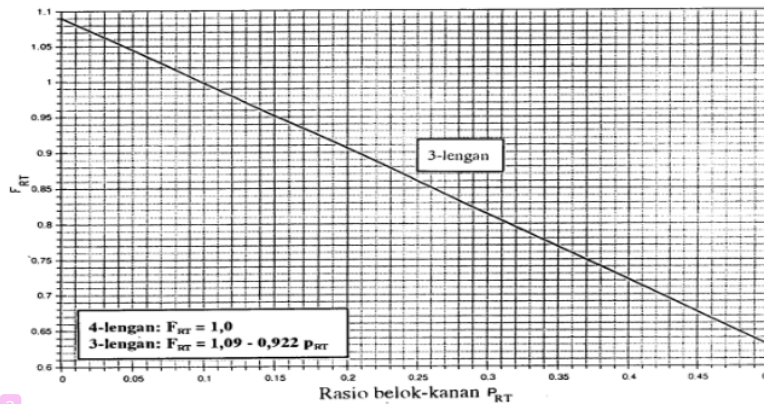
$$F_{RT} = 1,09 - 0,922 P_{RT} \dots\dots\dots(IV.4)$$

Sumber : Manual Kapasitas Jalan Indonesia 1997

dengan :

$P_{RT}$  = rasio belok kanan

Nilai  $F_{RT}$  untuk simpang dengan empat lengan adalah 1.



Sumber : Manual Kapasitas Jalan Indonesia 1997

**Gambar IV. 5** Faktor Penyesuaian Belok Kanan

8. **Faktor Penyesuaian Rasio Arus Jalan Minor**

Faktor penyesuaian rasio arus jalan minor dipengaruhi oleh rasio atau perbandingan arus pada jalan minor terhadap arus pada jalan mayor dan minor serta bergantung pada tipe simpang.

| IT  | $F_{MI}$  | $P_{MI}$  |
|-----|---|-----------|
| 422 | $1,19 \times P_{MI}^2 - 1,19 \times P_{MI} + 1,19$  | 0,1 – 0,9 |
| 424 | $16,6 \times P_{MI}^4 - 33,3 \times P_{MI}^3 + 25,3 \times P_{MI}^2 - 8,6 \times P_{MI} + 1,95$ | 0,1 – 0,3 |
| 444 | $1,11 \times P_{MI}^2 - 1,11 \times P_{MI} + 1,11$  | 0,3 – 0,9 |
| 322 | $1,19 \times P_{MI}^2 - 1,19 \times P_{MI} + 1,19$  | 0,1 – 0,5 |
|     | $-0,595 \times P_{MI}^2 + 0,595 \times P_{MI}^3 + 0,74$   | 0,5 – 0,9 |
| 342 | $1,19 \times P_{MI}^2 - 1,19 \times P_{MI} + 1,19$  | 0,1 – 0,5 |
|     | $2,38 \times P_{MI}^2 - 2,38 \times P_{MI} + 1,49$  | 0,5 – 0,9 |
| 324 | $16,6 \times P_{MI}^4 - 33,3 \times P_{MI}^3 + 25,3 \times P_{MI}^2 - 8,6 \times P_{MI} + 1,95$ | 0,1 – 0,3 |
| 344 | $1,11 \times P_{MI}^2 - 1,11 \times P_{MI} + 1,11$  | 0,3 – 0,5 |
|     | $-0,555 \times P_{MI}^2 + 0,555 \times P_{MI} + 0,69$   | 0,5 – 0,9 |

Sumber : Manual Kapasitas Jalan Indonesia 1997

**Gambar IV. 6** Faktor Penyesuaian Rasio Arus Jalan Minor

4.4.1.2 Derajat Kejenuhan (DS)

Merupakan perbandingan atau rasio arus lalu lintas total (smp/jam) terhadap kapasitas simpang (smp/jam).

$$DS = Q_{tot} / C \dots\dots\dots(IV.5)$$

Sumber : Manual Kapasitas Jalan Indonesia 1997

dengan

DS = derajat kejenuhan

C = kapasitas (smp/jam)

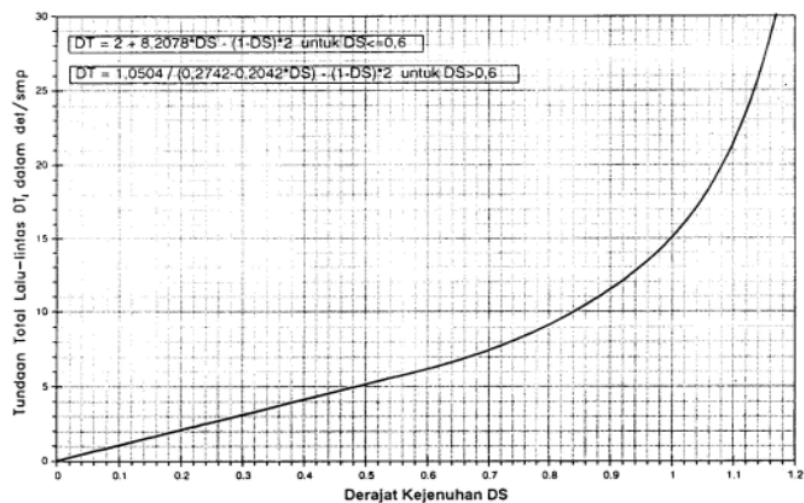
Qtot = jumlah arus total pada simpang (smp/jam)

#### 4.4.1.3 Tundaan (D)

Tundaan merupakan waktu total hambatan yang dialami kendaraan saat melewati persimpangan. Hambatan diakibatkan terjadinya antrian karena kendaraan yang terhenti di persimpangan sampai dengan keluar persimpangan. Terdapat beberapa jenis tundaan diantaranya :

##### 1. Tundaan Lalu Lintas Rata – Rata Simpang (DTI)

Tundaan lalu lintas simpang yaitu tundaan lalu lintas rata –rata kendaraan bermotor yang masuk ke persimpangan.



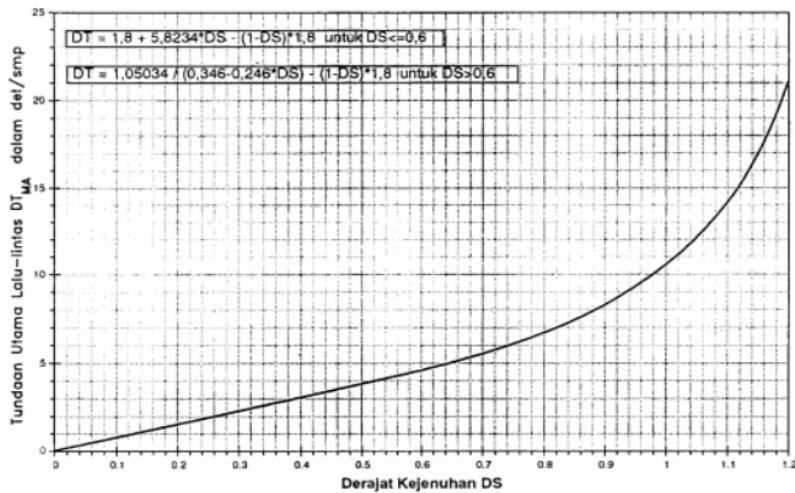
Sumber : Manual Kapasitas Jalan Indonesia 1997

**Gambar IV. 7** Grafik Derajat Kejenuhan Terhadap Nilai Tundaan

36

##### 2. Tundaan Lalu Lintas Jalan Utama

Tundaan lalu lintas simpang yaitu tundaan lalu lintas rata –rata kendaraan bermotor dari jalan utama yang masuk ke persimpangan



Sumber : Manual Kapasitas Jalan Indonesia 1997

**Gambar IV. 8** Nilai Tundaan Lalu Lintas Jalan Utama

3. Tundaan Lalu Lintas Rata – Rata di Jalan Minor (DTMI)  
Tundaan lalu lintas rata – rata di jalan minor dipengaruhi oleh variabel tundaan simpang rata – rata dan tundaan jalan umum rata – rata.

$$DT_{MI} = (Q_{TOT} \times DT_I - Q_{MA} \times DT_{MA}) / Q_{MI} \dots\dots\dots (IV.6)$$

Sumber : Manual Kapasitas Jalan Indonesia 1997

dengan :

Qtot = arus total yang masuk persimpangan (smp/jam)

QMA = jumlah kendaraan yang masuk persimpangan dari jalan utama (smp/jam)

QMI = jumlah kendaraan yang masuk persimpangan dari jalan minor (smp/jam)

4. Tundaan Geometrik Simpang (DG)

Tundaan ini merupakan tundaan geometrik akibat dari seluruh kendaraan bermotor yang masuk ke persimpangan. Untuk  $DS < 1,0$  dapat dihitung dengan rumus

$$DG = (1-DS) \times (PT \times 6 + (1 - PT) \times 3) + DS \times 4 \dots (IV.7)$$

Sumber : Manual Kapasitas Jalan Indonesia 1997

Untuk  $DS \geq 1,0$  maka nilai  $DG = 4$  detik/smp

dengan :

DG = tundaan geometrik simpang

DS = derajat kejenuhan

PT = rasio belok total

5. Tundaan Simpang (D)

Tundaan geometrik dan tundaan lalu lintas menghasilkan tundaan simpang.

$$D = DG + DTI \dots (IV.8)$$

Sumber : Manual Kapasitas Jalan Indonesia 1997

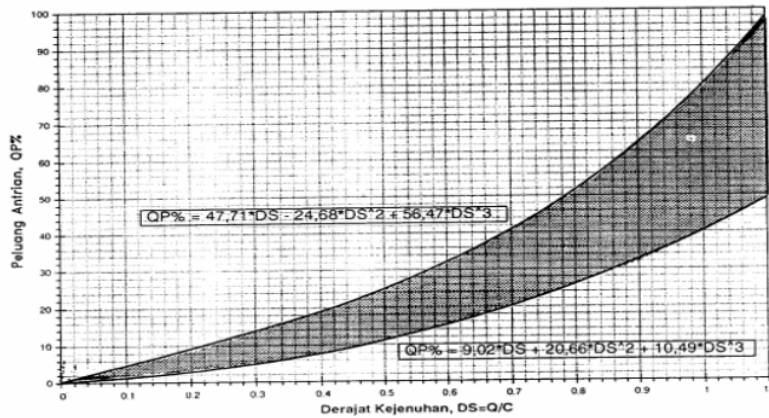
dengan :

DG = tundaan geometrik simpang

DTI = tundaan lalu lintas simpang

4.4.1.4 Peluang Antrian (QP%)

Rentang peluang antrian ditentukan berdasarkan hubungan empiris antara peluang antrian dan derajat kejenuhan yang dapat dilihat pada gambar grafik berikut :



Sumber : Manual Kapasitas Jalan Indonesia 1997

**Gambar IV. 9** Rentang Peluang Antrian

2  
4.4.2 Prosedur Perhitungan Analisis Simpang Bersinyal

Berikut akan diuraikan prosedur perhitungan analisis simpang bersinyal menggunakan MKJI untuk mengetahui waktu siklus, kapasitas, dan perilaku lalu lintas.

4.4.2.1 Penggunaan Sinyal

Penentuan fase sinyal, waktu antar hijau dan waktu hilang perlu dikaji pada penggunaan fase sinyal. Dalam perhitungan untuk rencana fase sinyal pengaturan dua fase dicoba sebagai kejadian dasar. Pertama ditentukan terlebih dahulu waktu siklus (c), kemudian ditentukan waktu hijau (gi) pada masing – masing fase (i)

$$c = (1,5 \times LTI + 5) / (1 - \sum FR_{crit}) \dots\dots\dots(IV.9)$$

Sumber : Manual Kapasitas Jalan Indonesia 1997

dimana

- c = waktu siklus sinyal (detik)
- LTI = jumlah waktu hilang per siklus (detik)
- FR = arus dibagi dengan arus jenuh (Q/S)
- FRcrit = nilai FR tertinggi dari semua pendekat yang berangkat pada suatu fase sinyal

$\Sigma FR_{crit}$  = rasio arus simpang = jumlah  $FR_{crit}$  dari semua fase pada siklus tersebut

#### 4.4.2.2 Arus Jenuh (S)

Penentuan arus jenuh didapatkan dengan mengalikan semua faktor penyesuaian dan arus jenuh dasar.

$$S = S_0 \times F_{CS} \times F_{SF} \times F_g \times F_p \times F_{RT} \times F_{LT} \dots\dots\dots(IV.10)$$

Sumber : Manual Kapasitas Jalan Indonesia 1997

Keterangan :

- S = arus jenuh
- $S_0$  = arus jenuh dasar
- $F_{CS}$  = faktor penyesuaian ukuran kota
- $F_{SF}$  = faktor penyesuaian hambatan samping
- $F_g$  = faktor penyesuaian kelandaian
- $F_p$  = faktor penyesuaian parker
- $F_{RT}$  = faktor penyesuaian kendaraan belok kanan
- $F_{LT}$  = faktor penyesuaian kendaraan belok kiri

#### 1. Arus Jenuh Dasar ( $S_0$ )

Penentuan arus jenuh dasar berbeda untuk tiap tipe pendekatan terlindung dan terlawan.

##### a. Pendekat Terlindung (P)

Pendekat terlindung dimana pergerakan kendaraan tidak terjadi konflik antara kaki simpang yang berbeda saat lampu hijau pada fase yang sama dihitung menggunakan rumus sebagai berikut :

$$S_0 = 600 \times W_e \dots\dots\dots(IV.11)$$

Sumber : Manual Kapasitas Jalan Indonesia 1997

dengan :

- $S_0$  = arus jenuh dasar (smp/jam-hijau)
- $W_e$  = lebar efektif

b. Pendekat Terlawan (0)

Pendekat terlawan dimana terjadi konflik antara gerakan lurus dan belok kanan dari arah yang berbeda saat fase sinyal hijau yang bersamaan. Arus jenuh dasar pada tipe terlawan dapat dilihat melalui grafik hubungan antara QRT dan  $S_0$ .

29

2. Faktor Penyesuaian Ukuran Kota (FCS)

Semakin banyak ukuran kota maka akan menambah tundaan dan antrian pada simpang. Berikut tabel penyesuaian ukuran kota :

| Penduduk Kota (Juta jiwa) | Faktor Penyesuaian Ukuran Kota (F <sub>CS</sub> ) |
|---------------------------|---|
| > 3,0                     | 1,05  |
| 1,0 – 3,0                 | 1,00  |
| 0,5 – 1,0                 | 0,94  |
| 0,1 – 0,5                 | 0,83  |
| < 0,1                     | 0,82  |

Sumber : Manual Kapasitas Jalan Indonesia 1997

**Gambar IV. 10** Faktor Penyesuaian Ukuran Kota

3. Faktor Penyesuaian Hambatan Samping (FSF)

Faktor koreksi hambatan samping merupakan fungsi dari jenis lingkungan jalan, tingkat hambatan samping, dan rasio kendaraan tak bermotor. Faktor penyesuaian hambatan samping dapat dilihat dari tabel berikut :

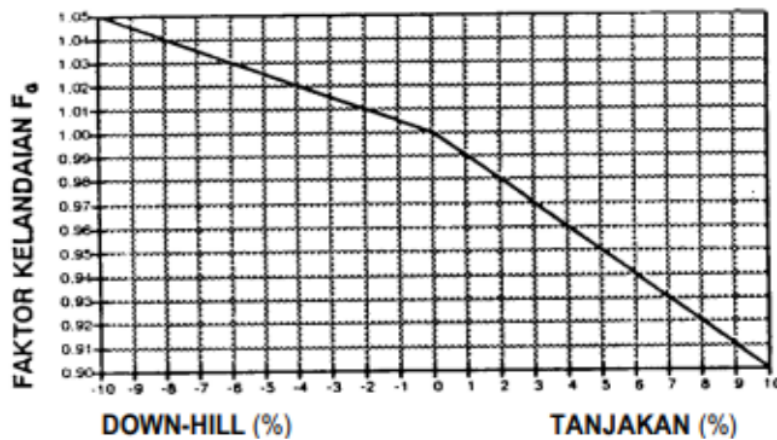
| Lingkungan jalan    | Hambatan samping     | Tipe fase  | Rasio kendaraan tak bermotor |      |      |      |      |        |
|---------------------|----------------------|------------|------------------------------|------|------|------|------|--------|
|                     |                      |            | 0,00                         | 0,05 | 0,10 | 0,15 | 0,20 | ≥ 0,25 |
| Komersial (COM)     | Tinggi               | Terlawan   | 0,93                         | 0,88 | 0,84 | 0,79 | 0,74 | 0,70   |
|                     |                      | Terlindung | 0,93                         | 0,91 | 0,88 | 0,87 | 0,85 | 0,81   |
|                     | Sedang               | Terlawan   | 0,94                         | 0,89 | 0,85 | 0,80 | 0,75 | 0,71   |
|                     |                      | Terlindung | 0,94                         | 0,92 | 0,89 | 0,88 | 0,86 | 0,82   |
|                     | Rendah               | Terlawan   | 0,95                         | 0,90 | 0,86 | 0,81 | 0,76 | 0,72   |
|                     |                      | Terlindung | 0,95                         | 0,93 | 0,90 | 0,89 | 0,87 | 0,83   |
| Permukiman (RES)    | Tinggi               | Terlawan   | 0,96                         | 0,91 | 0,86 | 0,81 | 0,78 | 0,7    |
|                     |                      | Terlindung | 0,96                         | 0,94 | 0,92 | 0,99 | 0,86 | 0,84   |
|                     |                      | Terlawan   | 0,97                         | 0,92 | 0,87 | 0,82 | 0,79 | 0,73   |
|                     |                      | Terlindung | 0,97                         | 0,95 | 0,93 | 0,90 | 0,87 | 0,85   |
|                     |                      | Terlawan   | 0,98                         | 0,93 | 0,88 | 0,83 | 0,80 | 0,74   |
|                     |                      | Terlindung | 0,98                         | 0,96 | 0,94 | 0,91 | 0,88 | 0,86   |
| Akses Terbatas (RA) | Tinggi/Sedang/Rendah | Terlawan   | 1,00                         | 0,95 | 0,90 | 0,85 | 0,80 | 0,75   |
|                     |                      | Terlindung | 1,00                         | 0,98 | 0,95 | 0,93 | 0,90 | 0,88   |

Sumber : Manual Kapasitas Jalan Indonesia 1997

**Gambar IV. 11** Faktor Penyesuaian Hambatan Samping

4. Faktor Penyesuaian Kelandaian

Faktor penyesuaian kelandaian dapat ditentukan dari **Gambar IV.12**

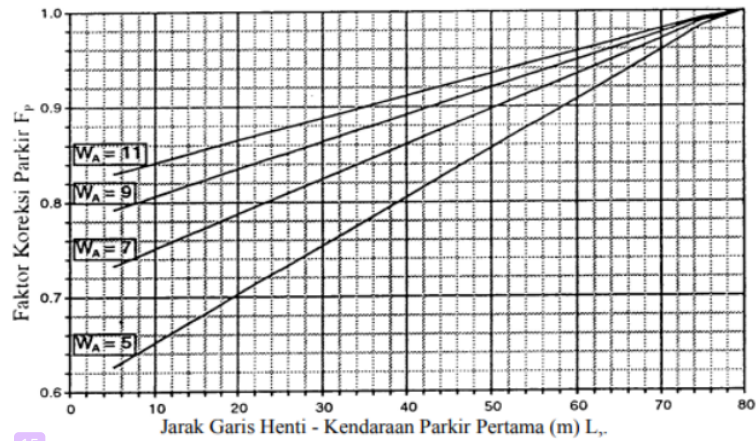


Sumber : Manual Kapasitas Jalan Indonesia 1997

**Gambar IV. 12** Faktor Penyesuaian Kelandaian

5. Faktor Penyesuaian Parkir

Faktor penyesuaian parker dapat ditentukan dari **Gambar IV.13**



15  
 Sumber : Manual Kapasitas Jalan Indonesia 1997

**Gambar IV. 13** Faktor Penyesuaian Pengaruh Parkir

- 16  
 6. Faktor Penyesuaian Belok Kanan  
 Ditentukan dari rasio kendaraan belok kanan. Untuk pendekatan tipe terlindung, tanpa median, jalan dua arah, lebar efektif ditentukan oleh lebar masuk maka menggunakan rumus sebagai berikut

$$FRT = 1,0 + PRT \times 0,26 \dots\dots\dots(IV.12)$$

11  
 Sumber : Manual Kapasitas Jalan Indonesia 1997

- 12  
 7. Faktor Penyesuaian Belok Kiri  
 Ditentukan sebagai fungsi dari rasio belok kiri dan hanya untuk pendekatan tipe terlindung tanpa LTOR, lebar efektif ditentukan oleh lebar masuk, dapat dihitung dengan rumus

$$FLT = 1,0 - PIT \times 0,16 \dots\dots\dots(IV.13)$$

55  
 Sumber : Manual Kapasitas Jalan Indonesia 1997

4.4.2.3 Waktu Hijau (g)  
 Waktu hijau yang lebih pendek dari 10 detik harus dihindari karena dapat menyebabkan pelanggaran lampu merah. Selain itu dapat menyebabkan pejalan kaki kesulitan untuk menyeberang. Penghitungan waktu hijau untuk tiap fase dapat dihitung menggunakan rumus.

$$g_i = (c_{ua} - LTI) \times PR_i \dots\dots\dots(IV.14)$$

Sumber : Manual Kapasitas Jalan Indonesia 1997

dimana :

- $g_i$  = tampilah waktu hijau pada fase i (det)
- $c_{ua}$  = waktu siklus sebelum penyesuaian (det)
- LTI = waktu hilang total per siklus

$$PR_i = \text{rasio fase } FR_{crit} / \sum FR_{crit} \dots\dots\dots(IV.15)$$

Sumber : Manual Kapasitas Jalan Indonesia 1997

4.4.2.4 Kapasitas (C)

Jumlah maksimum arus kendaraan yang dapat melewati persimpangan merupakan kapasitas persimpangan, dapat dihitung menggunakan rumus

$$C = S \times g/c \dots\dots\dots(IV.16)$$

Sumber : Manual Kapasitas Jalan Indonesia 1997

dengan :

- C = kapasitas (smp/jam)
- S = arus jenuh yang disesuaikan (smp/jam)
- g = waktu hijau (det)

4.4.2.5 Derajat Kejenuhan (DS)

Rasio dari arus lalu lintas terhadap kapasitas pendekat merupakan derajat kejenuhan. Semakin tinggi nilai derajat kejenuhan maka kinerjanya semakin buruk. Derajat kejenuhan dihitung dengan **Rumus III.17**.

$$DS = Q/C \dots\dots\dots(IV.17)$$

Sumber : Manual Kapasitas Jalan Indonesia 1997

dimana :

- DS = derajat kejenuhan
- Q = arus lalu lintas (smp/jam)
- C = kapasitas (smp/jam)

11  
4.4.2.6 Jumlah Antrian (NQ)

Jumlah antrian didapatkan dari jumlah antrian smp yang tersisa dari fase hijau sebelumnya ( $NQ_1$ ) dan jumlah antrian smp selama fase merah ( $NQ_2$ ). Untuk  $DS < 0,5$   $NQ_1 = 0$ , sedangkan untuk  $DS > 0,5$  dapat dihitung dengan menggunakan rumus

$$NQ_1 = 0,25 \times C \times [(DS - 1) + \sqrt{(DS - 1)^2 + \frac{8 \times (DS - 0,5)}{C}}] \dots\dots\dots(IV.18)$$

64  
Sumber : Manual Kapasitas Jalan Indonesia 1997

Untuk menentukan jumlah antrian yang datang selama fase merah digunakan rumus

$$NQ_2 = C \times \frac{1-GR}{1-GR \times DS} \times \frac{Q}{3600} \dots\dots\dots(IV.19)$$

Sumber : Manual Kapasitas Jalan Indonesia 1997

dimana :

- $NQ_1$  = jumlah yang tersisa dari fase hijau sebelumnya
- $DS$  = derajat kejenuhan
- $GR$  = rasio hijau
- $C$  = kapasitas (smp/jam)

7  
4.4.2.7 Panjang Antrian (QL)

Panjang antrian didapatkan dari perkalian antara  $NQ_{MAX}$  dengan luas rata-rata yang digunakan per smp ( $20 \text{ m}^2$ ). Rumus yang digunakan untuk menghitung panjang antrian adalah sebagai berikut

$$QL = (NQ_{MAX} \times 20) / W_e \dots\dots\dots(IV.20)$$

15  
Sumber : Manual Kapasitas Jalan Indonesia 1997

dimana :

- $QL$  = panjang antrian (m)

#### 4.4.2.8 Laju Henti (NS)

Laju henti masing – masing pendekatan diartikan sebagai jumlah rata – rata berhenti per smp (termasuk terhenti berulang dalam antrian), dapat dihitung dengan rumus sebagai berikut :

$$NS = 0,9 \times \frac{NQ}{Q \times c} \times 3600 \dots\dots\dots(IV.21)$$

Sumber : *Manual Kapasitas Jalan Indonesia 1997*

dimana :

- NS = laju henti (stop/smp)
- NQ = jumlah antrian (smp)
- Q = arus lalu lintas (smp/jam)
- C = waktu siklus (detik)

Untuk menghitung jumlah kendaraan terhenti (Nsv) masing – masing pendekatan dapat dihitung dengan menggunakan rumus sebagai berikut :

$$Nsv = Q \times NS \dots\dots\dots(IV.22)$$

Sumber : *Manual Kapasitas Jalan Indonesia 1997*

#### 4.4.2. Tundaan (D)

Setiap pendekatan tundaan lalulintas rata – rata ditimbulkan akibat pengaruh timbal balik dengan gerakan – gerakan lainnya pada simpang. Tundaan lalu lintas rata – rata dapat dihitung dengan rumus

$$DT = c \times A + \frac{NQ \times 3600}{c} \dots\dots\dots(IV.23)$$

Sumber : *Manual Kapasitas Jalan Indonesia 1997*

dimana :

- A =  $\frac{0,5 \times (1-GR)^2}{(1-GR) \times DS}$
- GR = rasio hijau

Tundaan geometrik pada masing – masing kaki simpang dihitung dengan rumus sebagai berikut :

$$DG = (1 - NS) \times Pt \times 6 + (NS \times 4) \dots\dots\dots(IV.24)$$

Sumber : *Manual Kapasitas Jalan Indonesia 1997*

dimana :

DG = tundaan geometrik rata – rata pendekat (det/smp)

Psv = rasio kendaraan terhenti pada pendekat

Pt = rasio kendaraan berbelok pada pendekat

#### 4.5 Pelayanan Persimpangan

Dalam analisis pelayanan persimpangan ini digunakan pedoman pada Peraturan Menteri Perhubungan Nomor 96 tahun 2015 tentang Pedoman Pelaksanaan Kegiatan Manajemen dan Rekayasa Lalu Lintas. Tingkat pelayanan pada persimpangan diklasifikasikan atas :

- a. Tingkat pelayanan A, dengan kondisi tundaan kurang dari 5 detik perkendaraan;
- b. Tingkat pelayanan B, dengan kondisi tundaan lebih dari 5 detik sampai 15 detik perkendaraan;
- c. Tingkat pelayanan C, dengan kondisi tundaan lebih dari 15 detik sampai 25 detik perkendaraan;
- d. Tingkat pelayanan D, dengan kondisi tundaan lebih dari 25 detik sampai 40 detik perkendaraan;
- e. Tingkat pelayanan E, dengan kondisi tundaan lebih dari 40 detik sampai 60 detik perkendaraan;
- f. Tingkat pelayanan F, dengan kondisi tundaan lebih dari 60 detik perkendaraan.

#### 4.6 Lokasi dan Jadwal Penelitian

Penelitian saat pelaksanaan Praktek Kerja Lapangan (PKL) yaitu pada tanggal 28 Februari 2022 sampai dengan 13 Mei 2022. Lokasi penelitian

berada di wilayah kajian Kabupaten Sleman khususnya pada Simpang Jakal  
KM 12,5 yang menjadi objek kajian peneliti.

## BAB V

### ANALISIS DATA DAN PEMECAHAN MASALAH

#### 5.1 Analisa Permasalahan Simpang Kondisi Eksisting

Analisa perhitungan kinerja simpang pada kondisi eksisting dilakukan dengan perhitungan kinerja simpang tidak bersinyal.

##### 5.1.1 Perhitungan Kapasitas

Perhitungan kapasitas simpang tidak bersinyal terdapat beberapa ketentuan dan faktor koreksi yang harus diperhatikan diantaranya adalah Kapasitas Dasar (Co), Lebar Pendekat rata – rata (Fw), media jalan (Fm), ukuran kota (FCcs), hambatan samping (Frsu), faktor penyesuaian belok kanan (Frt), faktor penyesuaian belok kiri (Flt), dan faktor penyesuaian arus minor (Fmi). Berikut perhitungan kapasitas Simpang Jakal KM 12,5.

##### 5.1.1.1 Kapasitas Dasar (Co)

Kapasitas dasar pada simpang tanpa apill ditentukan berdasarkan tipe simpang, seperti pada Tabel IV.1.

$$Co = 2700 \text{ smp/jam}$$

##### 5.1.1.2 Lebar Pendekat Rata – Rata (Fw)

Berrikut merupakan data perhitungan lebar pendekat Simpang Jakal KM 12,5.

**Tabel V. 1** Lebar Pendekat Simpang Jakal KM 12,5

| No                              | Kode Pendekat | Nama Jalan               | Tipe Jalan | Lebar Pendekat | Status Lengan |
|---------------------------------|---------------|--------------------------|------------|----------------|---------------|
| 1                               | U             | Yogyakarta Kaliurang IV  | – 2/2 UD   | 3,75 m         | Mayor         |
| 2                               | S             | Yogyakarta Kaliurang III | – 2/2 UD   | 3,75 m         | Mayor         |
| 3                               | B             | Kayunan Candikarang      | - 2/2 UD   | 3 m            | Minor         |
| Lebar pendekat rata – rata (Wi) |               |                          |            | 3,5 m          |               |

Sumber : Hasil Analisis Tim PKL Kabupaten Sleman 2022

Faktor penyesuaian lebar pendekat ditentukan berdasarkan rumus pada **Gambar IV.3.**

$$\begin{aligned} Fw &= 0,73 + 0,0760W_i \\ &= 0,73 + 0,0760(3,5) \\ &= 0,996 \end{aligned}$$

#### 5.1.1.3 Faktor Penyesuaian Median (Fm)

Simpang Jakal KM 12,5 merupakan simpang tanpa median, sehingga faktor penyesuaian untuk median jalan (Fm) menurut **Tabel IV.2** adalah 1,00.

#### 5.1.1.4 Faktor Penyesuaian Ukuran Kota (FCcs)

Jumlah penduduk Kabupaten Sleman sebanyak 1,08 juta jiwa sehingga faktor penyesuaian ukuran kota menurut **Tabel IV.3** memiliki nilai 1,00.

#### 5.1.1.5 Faktor Penyesuaian Hambatan Samping (Frsu)

Tata guna lahan simpang ini berupa komersial dengan hambatan samping sedang dengan rasio kendaraan tidak bermotor adalah 0 sehingga nilai faktor penyesuaian hambatan samping (Frsu) menurut **Tabel IV.4** adalah 0,94.

#### 5.1.1.6 Faktor Penyesuaian Belok Kiri (Flt)

Faktor penyesuaian belok kiri dihitung berdasarkan **Rumus IV.3.**

$$\begin{aligned} Flt &= 0,84 + 1,61P_{lt} \\ &= 0,84 + 1,61\left(\frac{\text{vol kendaraan belok kiri}}{\text{vol kendaraan yang melintas}}\right) \\ &= 0,84 + 1,61\frac{581}{2083} \\ &= 1,017 \end{aligned}$$

#### 5.1.1.7 Faktor Penyesuaian Belok Kanan (Frt)

Faktor penyesuaian belok kanan dihitung berdasarkan rumus pada **Rumus IV.4.**

$$\begin{aligned} Frt &= 1,09 + 0,922 P_{rt} \\ &= 0,84 + 1,61\left(\frac{\text{vol kendaraan belok kanan}}{\text{vol kendaraan yang melintas}}\right) \\ &= 0,84 + 1,61\frac{512}{2083} \\ &= 0,832 \end{aligned}$$

### 5.1.1.8 Faktor Penyesuaian Arus Minor (Fm)

Faktor penyesuaian arus minor ditentukan berdasarkan rumus pada **Gambar IV.6**. Terlebih dahulu menentukan rasio arus minor (Pmi) yang ditentukan sebagai berikut

$$\begin{aligned} Pmi &= \frac{\text{vol arus minor}}{\text{vol arus minor} + \text{vol arus mayor}} \\ &= \frac{841}{3324} \\ &= 0,25 \end{aligned}$$

Perhitungan rasio arus minor sebesar 0,25 sehingga berdasarkan rumus pada **Gambar IV.6** digunakan rumus sebagai berikut :

$$\begin{aligned} Fmi &= 1,19 \times Pmi^2 - 1,19 \times Pmi + 1,19 \\ &= 1,19 \times Pmi^2 - 1,19 \times Pmi + 1,19 \\ &= 0,97 \end{aligned}$$

Perhitungan kapasitas (C) merupakan hasil perkalian dari faktor – faktor penyesuaian di atas :

$$\begin{aligned} C &= Co \times Fw \times Fm \times Fcs \times Frsu \times Flt \times Frt \times Fmi \\ &= 2700 \times 0,996 \times 1 \times 1 \times 0,94 \times 1,017 \times 0,832 \times 0,97 \\ &= 2064 \text{ smp/jam} \end{aligned}$$

### 5.1.2 Perhitungan Derajat Kejenuhan (DS)

Perhitungan derajat kejenuhan ditentukan berdasarkan pada **Rumus IV.5** sebagai berikut :

$$\begin{aligned} DS &= Q_{\text{tot}} / C \\ &= 2083 / 2064 \\ &= 1,01 \end{aligned}$$

### 5.1.3 Perhitungan Tundaan

Perhitungan tundaan dilakukan untuk menilai kinerja simpang. Perhitungan tundaan menggunakan rumus karena DS Simpang Jakal KM 12,5 adalah 1,01.

#### 5.1.3.1 Tundaan Lalulintas

Berdasarkan rumus pada **Gambar IV.7** tundaan lalulintas dapat dihitung dengan menggunakan rumus :

$$\begin{aligned} DT &= 1.0504 / (0.2742 - 0.2042 DS) - (1 - DS) \times 2 \\ &= 1.0504 / (0.2742 - 0.2042 \times 1,01) - (1 - 1,01) \times 2 \end{aligned}$$

$$= 15,42 \text{ det/smp}$$

#### 5.1.3.2 Tundaan Geometrik

Untuk derajat kejenuhan lebih dari satu maka tundaan geometrik adalah 4 detik/smp.

#### 5.1.3.3 Tundaan Jalan Mayor (DT<sub>ma</sub>)

Berikut merupakan perhitungan tundaan pada jalan mayor :

$$\begin{aligned} D_{ma} &= 1.05034 / (0.346 - 0.246 \times DS) - (1 - DS) \cdot 1,8 \\ &= 1.05034 / (0.346 - 0.246 \times 1,01) - (1 - 1,01) \cdot 1,8 \\ &= 10,77 \end{aligned}$$

#### 5.1.3.4 Tundaan Jalan Minor (DT<sub>mi</sub>)

Berikut perhitungan tundaan pada jalan minor :

$$\begin{aligned} D_{mi} &= (Q_{tot} \times D_{tot} - Q_{ma} \times D_{ma}) / Q_{mi} \\ &= (2083 \times 15,42 - 1566 \times 10,77) / 517 \\ &= 29,54 \end{aligned}$$

#### 5.1.3.5 Tundaan Simpang

Tundaan dihasilkan dari penjumlahan tundaan geometrik dan tundaan lalu lintas.

$$\begin{aligned} D &= DG + DT \\ &= 15,42 + 4 \\ &= 19,42 \text{ det/smp} \end{aligned}$$

#### 5.1.4 Perhitungan Peluang Antrian (QP)

Peluang antrian dihitung dengan menggunakan rumus pada **Gambar**

**IV.9** berikut :

$$\begin{aligned} QP\% &= 9,02 \times DS + 20,67 \times DS^2 + 10,49 \times DS^3 \\ &= 9,02 \times 1,01 + 20,67 \times (1,01)^2 + 10,49 \times (1,01)^3 \\ &= 40,93\% \end{aligned}$$

#### 5.1.5 Hasil Perhitungan Kinerja Simpang

Kondisi saat ini simpang perbaungan – pantai cermin memiliki kinerja sebagai berikut :

$$\begin{aligned} \text{Derajat kejenuhan (DS)} &= 1,01 \\ \text{Peluang Antrian (QP)} &= 40,93\% \\ \text{Tundaan simpang (D)} &= 19,42 \text{ detik} \end{aligned}$$

Tipe pengendalian Simpang Jakal KM 12,5 saat ini merupakan simpang tidak bersinyal prioritas. Berdasarkan kinerja Simpang Jakal KM 12,5 saat ini dan seiring dengan berkembangnya pertumbuhan kendaraan maka dilakukan tinjauan berupa penentuan tipe pengendalian simpang yang sesuai dengan kondisi saat ini.

## 5.2 Penentuan Tipe Pengendalian Simpang

Penentuan pengendalian persimpangan dilakukan berdasarkan pedoman pada grafik kriteria tipe pengendalian persimpangan yang terdapat pada **Gambar III.1**. Perhitungan dilakukan berdasarkan volume lalu lintas pada masing – masing kaki simpangnya. Perhitungan dilakukan persatuan waktu (jam) untuk satu waktu lebih periode, misalkan pada arus lalu lintas jam sibuk pagi, siang, dan sore. Volume jam perencanaan diperoleh dari jam sibuk yang merupakan hasil penjumlahan dari masing – masing golongan kendaraan (LV, HV, MC) kemudian dibagi dengan faktor K. Faktor K merupakan nilai yang diperoleh dari tipe kota dan kondisi jalan. Berikut perhitungan untuk Simpang Jakal KM 12,5 :

Diketahui :

$K = 7\%$  (jumlah penduduk Kabupaten Sleman diatas 1 juta penduduk dan lokasi simpang yang terletak pada jalan dengan daerah komersil)

Untuk arus pada jalan minor :

$VJP = 388 \text{ smp/jam}$

Untuk arus pada jalan mayor :

$VJP = 1192 \text{ smp/jam}$

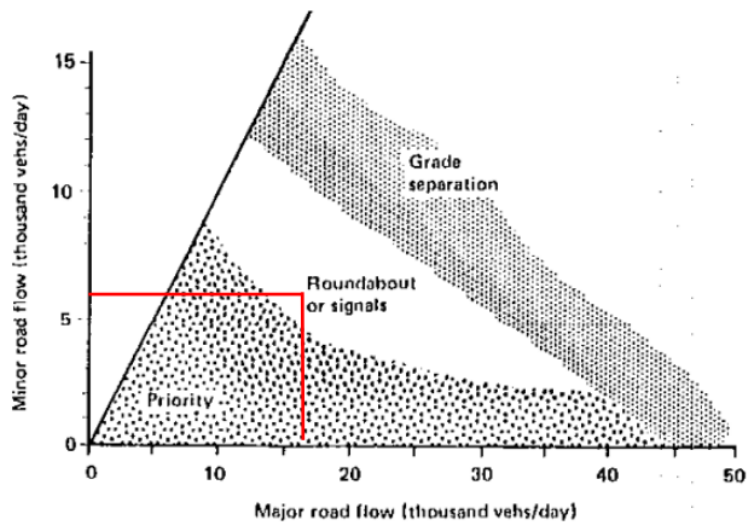
Ditanya : LHR ?

Jawab :  $LHR = VJP / K$

Jalan Minor  $LHR = 388 / 0,07$   
 $= 5543 \text{ kendaraan/hari}$

Jalan Mayor  $LHR = 1192 / 0,07$   
 $= 17029 \text{ kendaraan/hari}$

Berikut penentuan tipe pengendalian simpang berdasarkan grafik kriteria pengendalian simpang :



Sumber : Menuju Lalulintas dan Angkutan Jalan yang Tertib, 1995

**Gambar V. 1** Kriteria Pengendalian Simpang Jakal KM 12,5

Berdasarkan analisa tipe pengendalian yang telah dilakukan, maka Simpang Jakal KM 12,5 perlu dilakukan pemasangan alat pemberi isyarat lalu lintas (APILL). Dalam pemasangan alat pemberi isyarat lalu lintas (APILL) diperlukan pengaturan berupa pengaturan fase siklus simpang maka perlu dilakukan perhitungan untuk menentukan fase siklus yang sesuai dengan kondisi Simpang Jakal KM 12,5. Dalam perhitungan tersebut, peneliti melakukan beberapa skenario atau usulan sebagai berikut

**Tabel V. 2** Usulan - Usulan Pengaturan Simpang Jakal KM 12,5

| No | Usulan     | Kondisi  |
|----|------------|--|
| 1  | Usulan I   | Pengaturan APILL dua fase dengan lebar pendekat eksisting  |
| 2  | Usulan II  | Pengaturan APILL tiga fase dengan lebar pendekat eksisting |
| 3  | Usulan III | Pengaturan APILL dua fase dengan pelebaran pendekat        |

| No | Usulan    | Kondisi  |
|----|-----------|--|
| 4  | Usulan IV | Pengaturan APILL tiga fase dengan pelebaran pendekat |

Sumber : Hasil Analisis 2022

Masing – masing perhitungan usulan akan dibahas dalam sub bab selanjutnya.

### 5.3 Analisa Kinerja Simpang Usulan I

Setelah dilakukan analisa tipe pengendalian simpang, maka kondisi usulan I berupa pengaturan APILL dengan dua fase sebagai kejadian dasar. Berikut perhitungan kondisi usulan I Simpang Jakal KM 12,5 :

#### 5.3.1 Perhitungan Arus (S)

##### 5.3.1.1 Arus Jenuh (So)

Untuk perhitungan arus jenuh terlebih dahulu menghitung faktor – faktor yang mempengaruhinya. Arus jenuh untuk tipe pendekat terlindung dapat dicari dengan rumus

$$\begin{aligned}
 So &= 600 \times We \\
 &= 600 \times 3 \\
 &= 1800
 \end{aligned}$$

Untuk tipe pendekat terlawan, arus jenuh dasar dipengaruhi oleh jumlah arus kendaraan belok kanan pada arah diri ( $Q_{RT}$ ) dan lawan ( $Q_{RTO}$ ) serta lebar efektifnya ( $We$ ) dan pembagian lajur belok kanan. Untuk menentukannya peneliti menggunakan perhitungan pada aplikasi KAJI. Berdasarkan perhitungan, maka didapatkan arus jenuh dasar sebagai berikut :

**Tabel V. 3** Arus Jenuh Dasar

| No | Kode Pendekat | Tipe Pendekat | Lebar Efektif ( $We$ ) (m) | So (smp/jam) |
|----|---------------|---------------|----------------------------|--------------|
| 1  | U             | O             | 3,75                       | 1949         |
| 2  | S             | O             | 3,75                       | 1195         |

| No | Kode Pendekat | Tipe Pendekat | Lebar Efektif (We) (m) | So (smp/jam) |
|----|---------------|---------------|------------------------|--------------|
| 3  | B             | P             | 3                      | 1800         |

Sumber : Hasil Analisis 2022

Pada tabel di atas dihasilkan perhitungan So dimana nilainya berbeda untuk lebar efektif yang sama, dikarenakan tipe pendekat terlawan So dipengaruhi juga oleh nilai Qrt dan Qrto. Sesuai hasil perhitungan SIG-5 pada aplikasi KAJI dihasilkan 1949 smp/jam untuk pendekat utara dan 1195 smp/jam untuk pendekat selatan dengan kedua lebar efektif yang sama.

#### 5.3.1.2 Faktor Penyesuaian Ukuran Kota (Fcs)

Faktor ukuran kota dapat ditentukan berdasarkan **Gambar IV.10** yaitu sebesar  $Fcs = 1$ .

#### 5.3.1.3 Faktor Penyesuaian Hambatan Samping (Fsf)

Untuk faktor penyesuaian hambatan samping ditentukan berdasarkan **Gambar IV.11** dapat dilihat pada tabel berikut :

**Tabel V. 4** Faktor Penyesuaian Hambatan Samping

| No | Kode Pendekat | Tipe Pendekat | Hambatan Samping | Lingkungan Jalan | Pum  | Fsf  |
|----|---------------|---------------|------------------|------------------|------|------|
| 1  | U             | O             | Sedang           | Komersil         | 0,00 | 0,94 |
| 2  | S             | O             | Sedang           | Komersil         | 0,00 | 0,94 |
| 3  | B             | P             | Sedang           | Komersil         | 0,00 | 0,94 |

Sumber : Hasil Analisis 2022

Sesuai dengan tabel penentuan faktor penyesuaian hambatan samping untuk tipe pendekat terlindung dan terlawan hambatan samping sedang dan tata guna lahan komersil serta nilai rasio kendaraan tidak bermotor 0,0 maka nilai Fsf adalah 0,94.

#### 5.3.1.4 Kelandaian (Fg)

Kelandaian persimpangan untuk masing – masing kaki simpang adalah 0% atau datar, maka faktor penyesuaian kelandaian  $Fg = 1$ .

#### 5.3.1.5 Parkir (Fp)

Tidak ada ruang parkir *on street* pada masing – masing kaki simpang sehingga faktor penyesuaian parkir  $F_p = 1$ .

#### 5.3.1.6 Faktor Belok Kanan (Frt)

Perhitungan faktor belok kanan hanya dilakukan pada pendekat tipe terlindung menggunakan rumus IV.12.

$$\begin{aligned} Prt &= \frac{Rt (smp/jam)}{Q (smp/jam)} \\ &= \frac{162}{323} \\ &= 0,5 \end{aligned}$$

Berikut nilai Frt pada masing – masing pendekat :

**Tabel V. 5** Faktor Penyesuaian Belok Kanan

| No | Kode Pendekat | Tipe Pendekat | Prt  | Frt  |
|----|---------------|---------------|------|------|
| 1  | U             | O             | 0,33 | 1    |
| 2  | S             | O             | 0,00 | 1    |
| 3  | B             | P             | 0,50 | 1,13 |

Sumber : Hasil Analisis 2022

Nilai penyesuain belok kanan hanya dilakukan pada perhitungan dengan tipe pendekat terlindung, sementara untuk tipe pendekat terlawan tidak dilakukan perhitungan sehingga nilai dianggap 1 atau tidak berpengaruh.

#### 5.3.1.7 Faktor Belok Kiri (Flt)

Perhitungan faktor belok kiri hanya dilakukan pada pendekat tipe terlindung menggunakan **Rumus IV.13**.

$$\begin{aligned} Plt &= \frac{lt (smp/jam)}{Q (smp/jam)} \\ &= \frac{160}{323} \\ &= 0,5 \end{aligned}$$

Berikut nilai Frt pada masing – masing pendekat :

**Tabel V. 6** Faktor Penyesuaian Belok Kiri

| No | Kode Pendekat | Tipe Pendekat | Plt  | Fit  |
|----|---------------|---------------|------|------|
| 1  | U             | O             | 0,00 | 1    |
| 2  | S             | O             | 0,42 | 1    |
| 3  | B             | P             | 0,50 | 0,92 |

Sumber : Hasil Analisis 2022

Nilai penyesuaian belok kiri hanya dilakukan pada perhitungan dengan tipe pendekat terlindung, sementara untuk tipe pendekat terlawan tidak dilakukan perhitungan sehingga nilai dianggap 1 atau tidak berpengaruh.

#### 5.3.1.8 Arus Jenuh (So)

Arus jenuh masing – masing pendekat dihitung berdasarkan **Rumus IV.10**. perhitungan arus jenuh setelah penyesuaian dapat dilihat pada tabel berikut :

**Tabel V. 7** Arus Jenuh Setelah Penyesuaian

| No | Kode Pendekat | So   | Fcs | Fsf  | Fg | Fp | Frt  | Fit  | S smp/jam |
|----|---------------|------|-----|------|----|----|------|------|-----------|
| 1  | U             | 1949 | 1   | 0.94 | 1  | 1  | 1    | 1    | 1832      |
| 2  | S             | 1195 | 1   | 0.94 | 1  | 1  | 1    | 1    | 1123      |
| 3  | B             | 1800 | 1   | 0.94 | 1  | 1  | 1.13 | 0.92 | 1759      |

Sumber : Hasil Analisis 2022

Dari hasil perhitungan arus jenuh yang dilakukan dengan mengalikan seluruh faktor penyesuaiannya dihasilkan nilai arus jenuh terbesar pada pendekat utara sebanyak 1832 smp/jam.

#### 5.3.1.9 Rasio Arus (FR)

Rasio arus diperoleh dari pembagian antara arus masing – masing pendekat yang dibagi dengan arus jenuh setelah penyesuaian. Berikut contoh perhitungan arus pada salah satu kaki simpang:

$$\begin{aligned}
 FR &= Q/S \\
 &= 671 / 1832 \\
 &= 0,37
 \end{aligned}$$

Untuk perhitungan keseluruhan sebagai berikut :

**Tabel V. 8** Perhitungan Rasio Arus

| No | Kode Pendekat | Arus (Q) | Arus Jenuh Penyesuaian (S) | Rasio Arus |
|----|---------------|----------|----------------------------|------------|
| 1  | U             | 671      | 1832                       | 0,37       |
| 2  | S             | 708      | 1123                       | 0,63       |
| 3  | B             | 323      | 1761                       | 0,18       |

Sumber : Hasil Analisis 2022

Rasio arus terbesar terdapat pada pendekat selatan sebanyak 0,63. Pendekat utara sebanyak 0,37 dan rasio arus terkecil pada pendekat barat yaitu 0,18.

#### 5.3.1.10 Rasio Arus Sempang (IFR)

Perhitungan rasio arus sempang diperoleh dari jumlah nilai - nilai FR tertinggi pada fase yang sama rumus berikut :

$$\begin{aligned}
 IFR &= \Sigma(FR_{CRIT}) \\
 &= 0,63 + 0,18 \\
 &= 0,81
 \end{aligned}$$

#### 5.3.1.11 Rasio Fase (PR)

Rasio fase merupakan perbandingan antara  $FR_{CRIT}$  dan IFR. Berikut perhitungan PR pada salah satu kaki sempang :

$$\begin{aligned}
 PR &= FR_{CRIT} / IFR \\
 &= 0,37/0,81 \\
 &= 0,45
 \end{aligned}$$

Perhitungan lebih lengkapnya sebagai berikut :

**Tabel V. 9** Perhitungan Rasio Fase

| No | Kode Pendekat | Rasio Arus (IFR) | Rasio Fase (PR) |
|----|---------------|------------------|-----------------|
| 1  | U             | 0,37             | 0,45            |
| 2  | S             | 0,63             | 0,77            |
| 3  | B             | 0,18             | 0,23            |

Sumber : Hasil Analisis 2022

Rasio fase terbesar terdapat pada pendekat selatan sebanyak 0,77. Pendekat utara sebanyak 0,35 dan rasio fase terkecil pada pendekat barat yaitu 0,23.

### 5.3.2 Perhitungan Siklus

Dalam perhitungan siklus 2 fase ini digunakan berdasarkan metode pada MKJI 1997.

#### 5.3.2.1 Waktu siklus sebelum penyesuaian

Waktu siklus diperoleh berdasarkan rumus IV.9 berikut ini perhitungannya:

$$\begin{aligned}
 \text{Cua} &= \frac{1.5 \times LTI + 5}{1 - IFR} \\
 &= \frac{1.5 \times 12 + 5}{1 - 0,81} \\
 &= 123 \text{ detik}
 \end{aligned}$$

#### 5.3.2.2 Waktu Hijau (gi)

Perhitungan waktu hijau untuk masing – masing fase digunakan rumus IV.14. Berikut adalah contoh perhitungan pada salah satu pendekat :

$$\begin{aligned}
 gi &= (\text{Cua} - LTI) \times PR_i \\
 &= (123 - 12) \times 0,45 \\
 &= 50 \text{ detik}
 \end{aligned}$$

Berikut hasil perhitungan waktu hijau untuk semua pendekat :

**Tabel V. 10** Waktu Hijau Pendekat

| No | Kode Pendekat | Rasio Fase | Waktu Hijau (detik) |
|----|---------------|------------|---------------------|
| 1  | U             | 0,45       | 50                  |

| No | Kode Pendekat | Rasio Fase | Waktu Hijau (detik) |
|----|---------------|------------|---------------------|
| 2  | S             | 0,77       | 86                  |
| 3  | B             | 0,23       | 25                  |

Sumber : Hasil Analisis 2022

Waktu hijau terbesar terjadi pada pendekat selatan yaitu 86 detik dengan tipe pendekat terlawan dimana nilai ini yang akan digunakan dalam perhitungan waktu siklus.

#### 5.3.2.3 Waktu Siklus Penyesuaian

Pada skenario dua fase ini maka waktu hijau yang digunakan adalah waktu hijau terbesar pada tipe pendekat yang sama.

$$\begin{aligned}
 c &= \sum g + LTI \\
 &= (86 + 25) + 12 \\
 &= 123 \text{ detik}
 \end{aligned}$$

#### 5.3.2.4 Kapasitas (C)

Kapasitas dihitung berdasarkan rumus IV.16. Berikut merupakan contoh perhitungan kapasitas pada salah satu pendekat :

$$\begin{aligned}
 C &= S \times g/c \\
 &= 1832 \times 86 / 123 \\
 &= 1281 \text{ smp/jam}
 \end{aligned}$$

Untuk perhitungan kapasitas seluruh pendekat sebagai berikut :

**Tabel V. 11** Perhitungan Nilai Kapasitas Pendekat

| No | Kode Pendekat | S (smp/jam) | Hijau (detik) | Waktu Siklus (detik) | Kapasitas (smp/jam) |
|----|---------------|-------------|---------------|----------------------|---------------------|
| 1  | U             | 1832        | 86            | 123                  | 1281                |
| 2  | S             | 1123        | 86            | 123                  | 785                 |
| 3  | B             | 1761        | 25            | 123                  | 358                 |

Sumber : Hasil Analisis 2022

Nilai kapasitas terbesar pada pendekat sebelah utara sebesar 1281 smp/jam. Nilai terendah pada jalan minor atau pendekat sebelah barat yaitu 358 smp/jam.

#### 5.3.2.5 Derajat Kejenuhan (DS)

Derajat kejenuhan dihitung menggunakan **Rumus IV.17**. Berikut conoth perhitungan pada salah satu pendekat :

**Tabel V. 12** Perhitungan Derajat Kejenuhan

| No | Kode Pendekat | Arus (Q) | Kapasitas (C) | Derajat Kejenuhan |
|----|---------------|----------|---------------|-------------------|
| 1  | U             | 671      | 1281          | 0,52              |
| 2  | S             | 708      | 785           | 0,90              |
| 3  | B             | 322      | 358           | 0,89              |

Sumber : Hasil Analisis 2022

Derajat kejenuhan paling tinggi terdapat pada pendekat sebelah selatan sebesar 0,90. Nilai terendah terdapat pada pendekat sebelah utara yaitu 0,52.

### 5.3.3 Perhitungan Antrian dan Tundaan

#### 5.3.3.1 Panjang Antrian

Jumlah panjang antrian total berdasarkan rumus adalah

$$NQ = NQ_1 + NQ_2$$

Dimana  $NQ_1$  digunakan seperti pada **Rumus IV.18**. Untuk hasil perhitungan  $NQ_1$  dilihat pada tabel berikut :

**Tabel V. 13** Perhitungan Jumlah smp yang Tersisa pada Fase Sebelumnya

| No | Kode Pendekat | Kapasitas (C) | Derajat Kejenuhan (DS) | $NQ_1$ (m) |
|----|---------------|---------------|------------------------|------------|
| 1  | U             | 1281          | 0,52                   | 0,05       |
| 2  | S             | 785           | 0,90                   | 3,74       |

| No | Kode Pendekat | Kapasitas (C) | Derajat Kejuhan (DS) | NQ <sub>1</sub> (m) |
|----|---------------|---------------|----------------------|---------------------|
| 3  | B             | 358           | 0,89                 | 3,35                |

Sumber : Hasil Analisis 2022

Untuk jumlah smp yang datang selama waktu merah (NQ<sub>2</sub>) dihitung berdasarkan **Rumus IV.19**. Berikut hasil perhitungan NQ<sub>2</sub> pada masing – masing pendekat :

**Tabel V. 14** Perhitungan Jumlah smp yang Datang Selama Waktu Merah

| No | Kode Pendekat | Rasio Hijau (g/c) | Waktu Siklus (c) | DS   | Q   | NQ <sub>2</sub> |
|----|---------------|-------------------|------------------|------|-----|-----------------|
| 1  | U             | 0,70              | 123              | 0,52 | 671 | 10,88           |
| 2  | S             | 0,70              | 123              | 0,90 | 708 | 19,70           |
| 3  | B             | 0,20              | 123              | 0,89 | 322 | 10,73           |

Sumber : Hasil Analisis 2022

Dari perhitungan NQ<sub>1</sub> dan NQ<sub>2</sub> diperoleh nilai NQ, yaitu sebagai berikut :

**Tabel V. 15** Perhitungan Jumlah Rata - Rata pada Awal Sinyal Hijau

| No | Kode Pendekat | NQ <sub>1</sub> | NQ <sub>2</sub> | NQ    |
|----|---------------|-----------------|-----------------|-------|
| 1  | U             | 0,05            | 10,88           | 10,93 |
| 2  | S             | 3,74            | 19,70           | 23,43 |
| 3  | B             | 3,35            | 10,73           | 14,08 |

Sumber : Hasil Analisis 2022

Dari perhitungan NQ kemudian diperoleh panjang antrian menggunakan **Rumus IV.20** sebagai berikut :

**Tabel V. 16** Perhitungan Panjang Antrian Kendaraan

| No | Kode Pendekat | NQ total | Lebar Masuk | Panjang Antrian (QL) |
|----|---------------|----------|-------------|----------------------|
| 1  | U             | 10,93    | 3,75        | 80                   |
| 2  | S             | 23,43    | 3,75        | 176                  |
| 3  | B             | 14,08    | 3,00        | 133                  |

Sumber : Hasil Analisis 2022

Panjang antrian terbesar erdapat pada pendekat sebelah selatan sebanyak 176 meter dan nilai paling rendah pada pendekat sebelah utara yaitu 80 meter.

#### 5.3.3.2 Angka Henti

Angka henti dihitung berdasarkan **Rumus IV.21** seperti pada contoh perhitungan dibawah ini :

$$NS = 0,9 \times \frac{10,93}{671 \times 123} \times 3600$$

$$= 0,43 \text{ stop/smp}$$

Untuk angka henti keseluruhan pendekat adalah sebagai berikut :

**Tabel V. 17** Perhitungan Angka Henti

| No | Kode Pendekat | NQ <sub>tot</sub> (smp) | Arus (Q) (smp/jam) | Waktu siklus (c) (detik) | Rasio NS |
|----|---------------|-------------------------|--------------------|--------------------------|----------|
| 1  | U             | 10,93                   | 671                | 123                      | 0,43     |
| 2  | S             | 23,43                   | 708                | 123                      | 0,87     |
| 3  | B             | 14,08                   | 322                | 123                      | 1,15     |

Sumber : Hasil Analisis 2022

Kemudian dilakukan perhitungan jumlah kendaraan terhenti menggunakan **Rumus IV.22**. Berikut merupakan contoh perhitungan jumlah kendaraan terhenti pada salah satu pendekat :

$$\begin{aligned}
 Nsv &= Q / NS \\
 &= 671 / 0,43 \\
 &= 288 \text{ smp/jam}
 \end{aligned}$$

Berikut hasil perhitungan jumlah kendaraan terhenti :

**Tabel V. 18** Perhitungan Jumlah Kendaraan Terhenti

| No | Kode Pendekat | Arus (Q) | Rasio NS | Nsv (smp/jam) |
|----|---------------|----------|----------|---------------|
| 1  | U             | 671      | 0,43     | 288           |
| 2  | S             | 708      | 0,87     | 617           |
| 3  | B             | 322      | 1,15     | 371           |

Sumber : Hasil Analisis 2022

Jumlah kendaraan terhenti pada pendekat sebelah selatan adalah yang terbesar yaitu 617 smp/jam.

#### 5.3.3.3 Tundaan

Perhitungan tundaan dilakukan untuk perhitungan tundaan lalu lintas dan tundaan geometri. Perhitungan tundaan lalu lintas dilakukan berdasarkan

**Rumus IV.23.** Untuk hasil perhitungan dapat dilihat pada tabel berikut :

**Tabel V. 19** Perhitungan Tundaan Rata -Rata Lalu lintas

| No | Kode Pendekat | Waktu Siklus (c) | DS   | Rasio Hijau | Kapasitas | $NQ_1$ | Tundaan (det/smp) |
|----|---------------|------------------|------|-------------|-----------|--------|-------------------|
| 1  | U             | 123              | 0,52 | 0,70        | 1281      | 0,05   | 8,92              |
| 2  | S             | 123              | 0,90 | 0,70        | 785       | 3,74   | 3,19              |
| 3  | B             | 123              | 0,89 | 0,20        | 358       | 3,35   | 81,45             |

Sumber : Hasil Analisis 2022

Perhitungan dilanjutkan dengan perhitungan tundaan geometrik simpang menggunakan **Rumus IV.24.** Hasil perhitungan tundaan geometrik simpang adalah sebagai berikut :

**Tabel V. 20** Perhitungan Tundaan Geometrik

| No | Kode Pendekat | Psv  | Pt   | DG   |
|----|---------------|------|------|------|
| 1  | U             | 0,43 | 0,00 | 2,89 |
| 2  | S             | 0,87 | 0,42 | 3,85 |
| 3  | B             | 1,51 | 0,50 | 4,00 |

Sumber : Hasil Analisis 2022

Kemudian untuk perhitungan tundaan total rata – rata diperoleh dari penjumlahan tundaan rata – rata dengan tundaan geometrik. Berikut hasil perhitungan tundaan total rata –rata :

**Tabel V. 21** Perhitungan Tundaan Rata - Rata

| No | Kode Pendekat | DT<br>(det/smp) | DG<br>(det/smp) | D (det/smp) |
|----|---------------|-----------------|-----------------|-------------|
| 1  | U             | 8,92            | 2,89            | 11,81       |
| 2  | S             | 3,19            | 3,85            | 36,04       |
| 3  | B             | 81,45           | 4,00            | 85,45       |

Sumber : Hasil Analisis 2022

Berikut merupakan tundaan total dan tundaan rata – rata Simpang Jakal KM 12,5 pada skenario I :

**Tabel V. 22** Tundaan pada Skenario I Simpang Jakal KM 12,5

| No | Kode Pendekat                         | Arus (Q) | D     | Tundaan Total |
|----|---------------------------------------|----------|-------|---------------|
| 1  | U                                     | 671      | 11,81 | 7926          |
| 2  | S                                     | 708      | 36,04 | 25517         |
| 3  | B                                     | 322      | 85,45 | 27516         |
|    | Tundaan Simpang Rata – Rata (det/smp) |          |       | 35,84         |

Sumber : Hasil Analisis 2022

Berdasarkan hasil perhitungan dihasilkan tundaan rata – rata sebesar 35,84 detik/smp.

5.3.4 Kinerja Simpang Jakal KM 12,5

Berdasarkan analisis kinerja simpang bersinyal usulan I berupa pengaturan dengan dua fase, dihasilkan kinerja Simpang Jakal KM 12,5 sebagai berikut:

**Tabel V. 23** Kinerja Simpang Jakal KM 12,5 Skenario I

| Kode Pendekat | DS   | Antrian | D     | Tundaan Rata –Rata |
|---------------|------|---------|-------|--------------------|
| U             | 0,52 | 80      | 11,81 | 35,84 det/smp      |
| S             | 0,90 | 176     | 36,04 |                    |
| B             | 0,89 | 133     | 85,45 |                    |

Sumber : Hasil Analisis 2022

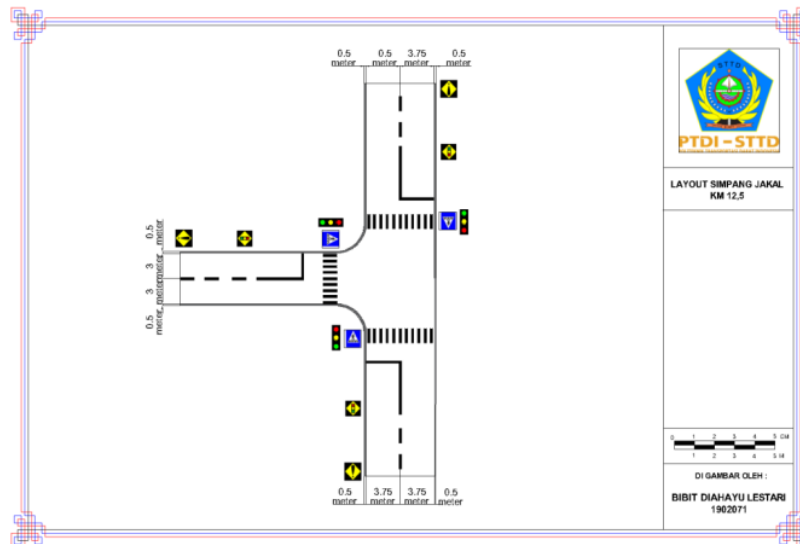
Setelah dilakukan analisa simpang bersinyal berikut ini disajikan gambar diagram fase pada usulan I.

| NAMA KAWASIMPANG             | FASE | DIAGRAM FASE APILL                                    |    |   |   |  |    |  |   |    |  |     |  |  |  |  |  |  |  |  |  |
|------------------------------|------|---|----|---|---|--|----|--|---|----|--|-----|--|--|--|--|--|--|--|--|--|
| Jl. Yogyakarta- KaliurangIII | 1    | [Diagram Phase APILL: Green, Yellow, Red blocks]      |    |   |   |  |    |  |   |    |  | 123 |  |  |  |  |  |  |  |  |  |
| Jl. Yogyakarta- KaliurangIV  |      | 86  |    | 3 | 3 |  |    |  |   | 31 |  |     |  |  |  |  |  |  |  |  |  |
| Jl. Kayuman- Candikarang     | 2    | [Diagram Phase APILL: Red, Green, Yellow, Red blocks] |    |   |   |  |    |  |   |    |  | 123 |  |  |  |  |  |  |  |  |  |
|                              |      |   | 91 |   |   |  | 25 |  | 3 | 3  |  |     |  |  |  |  |  |  |  |  |  |

Sumber : Hasil Analisis 2022

**Gambar V. 2** Fase Lalulintas Kondisi Usulan I

Pada diagram fase ini diberlakukan fase yang sama untuk pendekat utara dan selatan dengan waktu hijau 86 detik sedangkan pada pendekat barat waktu hijau sebanyak 25 detik. Berikut ini gambar penampang simpang bersinyal Simpang Jakal KM 12,5.



Sumber : Hasil Analisis 2022

**Gambar V. 3** Penampang Atas Simpang Bersinyal Simpang Jakal KM 12,5 Terdapat penambahan lampu alat pengendali isyarat lalu lintas dan marka *zebra cross* di masing – masing kaki simpang.

#### 5.4 Analisa Kinerja Simpang Usulan II

Setelah dilakukan analisa dua fase sebagai kejadian dasar dihasilkan kinerja simpang yang masih kurang maka dilakukan skenario atau usulan II berupa pengaturan dengan tiga fase. Berikut perhitungan kondisi usulan II Simpang Jakal KM 12,5.

##### 5.4.1 Perhitungan Arus (S)

###### 5.4.1.1 Arus Jenuh (So)

Untuk perhitungan arus jenuh terlebih dahulu menghitung faktor – faktor yang mempengaruhinya. Arus jenuh untuk tipe pendekatan terlindung dapat dicari dengan rumus

$$\begin{aligned}
 S_o &= 600 \times W_e \\
 &= 600 \times 3 \\
 &= 1800
 \end{aligned}$$

Untuk tipe pendekatan terlawan, arus jenuh dasar dipengaruhi oleh jumlah arus kendaraan belok kanan pada arah diri ( $Q_{RT}$ ) dan lawan ( $Q_{RTO}$ ) serta

lebar efektifnya (We) dan pembagian lajur belok kanan. Untuk menentukannya peneliti menggunakan perhitungan pada aplikasi KAJI. Berdasarkan perhitungan, maka didapatkan arus jenuh dasar sebagai berikut :

**Tabel V. 24** Arus Jenuh Dasar

| No | Kode Pendekat | Tipe Pendekat | Lebar Efektif (We) (m) | So (smp/jam) |
|----|---------------|---------------|------------------------|--------------|
| 1  | U             | P             | 3,75                   | 2250         |
| 2  | S             | P             | 3,75                   | 2250         |
| 3  | B             | P             | 3                      | 1800         |

Sumber : Hasil Analisis 2022

Nilai arus jenuh dasar terbesar pada pendekat utara dan selatan sebanyak 2250 dikarenakan lebar efektif yang sama pada kedua pendekat tersebut.

#### 5.4.1.2 Faktor Penyesuaian Ukuran Kota (Fcs)

Faktor ukuran kota dapat ditentukan berdasarkan Gambar IV.10 yaitu sebesar  $Fcs = 1$ .

#### 5.4.1.3 Faktor Penyesuaian Hambatan Samping (Fsf)

Untuk faktor penyesuaian hambatan samping ditentukan berdasarkan gambar IV.11 dapat dilihat pada tabel berikut :

**Tabel V. 25** Faktor Penyesuaian Hambatan Samping

| No | Kode Pendekat | Tipe Pendekat | Hambatan Samping | Lingkungan Jalan | Pum  | Fsf  |
|----|---------------|---------------|------------------|------------------|------|------|
| 1  | U             | P             | Sedang           | Komersil         | 0,00 | 0,94 |
| 2  | S             | P             | Sedang           | Komersil         | 0,00 | 0,94 |
| 3  | B             | P             | Sedang           | Komersil         | 0,00 | 0,94 |

Sumber : Hasil Analisis 2022

Sesuai dengan tabel penentuan faktor penyesuaian hambatan samping untuk tipe pendekat terlindung dan terlawan degan hambatan

samping sedang dan tata guna lahan komersil serta nilai rasio kendaraan tidak bermotor 0,0 maka nilai  $F_{sf}$  adalah 0,94.

#### 5.4.1.4 Kelandaian ( $F_g$ )

Kelandaian persimpangan untuk masing – masing kaki simpang adalah 0% atau datar, maka faktor penyesuaian kelandaian  $F_g = 1$ .

#### 5.4.1.5 Parkir ( $F_p$ )

Tidak ada ruang parkir *on street* pada masing – masing kaki simpang sehingga faktor penyesuaian parkir  $F_p = 1$ .

#### 5.4.1.6 Faktor Belok Kanan ( $F_{rt}$ )

Perhitungan faktor belok kanan hanya dilakukan pada pendekat tipe terlindung menggunakan rumus IV.12.

$$\begin{aligned} P_{rt} &= \frac{Rt \text{ (smp/jam)}}{Q \text{ (smp/jam)}} \\ &= \frac{162}{323} \\ &= 0,5 \end{aligned}$$

Berikut nilai  $F_{rt}$  pada masing – masing pendekat :

**Tabel V. 26** Faktor Penyesuaian Belok Kanan

| No | Kode Pendekat | Tipe Pendekat | $P_{rt}$ | $F_{rt}$ |
|----|---------------|---------------|----------|----------|
| 1  | U             | P             | 0,34     | 1,09     |
| 2  | S             | P             | 0,00     | 1,00     |
| 3  | B             | P             | 0,50     | 1,13     |

Sumber : Hasil Analisis 2022

Nilai penyesuaian belok kanan dipengaruhi oleh rasio belok kanan, untuk pendekat selatan tidak terdapat arus belok kanan sehingga nilai  $F_{rt}$  1,00.

#### 5.4.1.7 Faktor Belok Kiri ( $F_{lt}$ )

Perhitungan faktor belok kiri hanya dilakukan pada pendekat tipe terlindung menggunakan rumus IV.13.

$$P_{lt} = \frac{lt \text{ (smp/jam)}}{Q \text{ (smp/jam)}}$$

$$= \frac{160}{323}$$

$$= 0,5$$

Berikut nilai Flt pada masing – masing pendekat :

**Tabel V. 27** Faktor Penyesuaian Belok Kiri

| No | Kode Pendekat | Tipe Pendekat | Plt  | Flt  |
|----|---------------|---------------|------|------|
| 1  | U             | P             | 0,00 | 1,00 |
| 2  | S             | P             | 0,47 | 0,93 |
| 3  | B             | P             | 0,50 | 0,92 |

Sumber : Hasil Analisis 2022

Nilai penyesuaian belok kiri dipengaruhi oleh rasio belok kiri, untuk pendekat utara tidak terdapat arus belok kanan sehingga nilai Flt 1,00.

#### 5.4.1.8 Arus Jenuh (So)

Arus jenuh masing – masing pendekat dihitung berdasarkan rumus IV.10. perhitungan arus jenuh setelah penyesuaian dapat dilihat pada tabel berikut :

**Tabel V. 28** Arus Jenuh Setelah Penyesuaian

| No | Kode Pendekat | So   | Fcs | Fsf  | Fg | Fp | Frt  | Flt  | S smp/jam |
|----|---------------|------|-----|------|----|----|------|------|-----------|
| 1  | U             | 2250 | 1   | 0.94 | 1  | 1  | 1,09 | 1,00 | 2303      |
| 2  | S             | 2250 | 1   | 0.94 | 1  | 1  | 1,00 | 0,93 | 1957      |
| 3  | B             | 1800 | 1   | 0.94 | 1  | 1  | 1,13 | 0,92 | 1761      |

Sumber : Hasil Analisis 2022

Dari hasil perhitungan arus jenuh yang dilakukan dengan mengalikan seluruh faktor penyesuaiannya dihasilkan nilai arus jenuh terbesar pada pendekat utara sebanyak 2303 smp/jam.

#### 5.4.1.9 Rasio Arus (FR)

Rasio arus diperoleh dari pembagian antara arus masing – masing pendekat yang dibagi dengan arus jenuh setelah penyesuaian. Berikut contoh perhitungan arus pada salah satu kaki simpang:

$$\begin{aligned} \text{FR} &= Q/S \\ &= 496 / 2303 \\ &= 0,21 \end{aligned}$$

Untuk perhitungan keseluruhan sebagai berikut :

**Tabel V. 29** Perhitungan Rasio Arus

| No | Kode Pendekat | Arus (Q) | Arus Jenuh Penyesuaian (S) | Rasio Arus |
|----|---------------|----------|----------------------------|------------|
| 1  | U             | 496      | 2303                       | 0,21       |
| 2  | S             | 508      | 1957                       | 0,26       |
| 3  | B             | 322      | 1761                       | 0,18       |

Sumber : Hasil Analisis 2022

Rasio arus terbesar terdapat pada pendekat selatan sebanyak 0,26. Pendekat utara sebanyak 0,21 dan rasio arus terkecil pada pendekat barat yaitu 0,18.

#### 5.4.1.10 Rasio Arus Simpang (IFR)

Perhitungan rasio arus simpang diperoleh dari jumlah nilai – nilai FR masing – masing fase.

$$\begin{aligned} \text{IFR} &= \sum(\text{FR}_{\text{CRIT}}) \\ &= 0,21 + 0,26 + 0,18 \\ &= 0,66 \end{aligned}$$

#### 5.4.1.11 Rasio Fase (PR)

Rasio fase merupakan perbandingan antara  $\text{FR}_{\text{CRIT}}$  dan IFR. Berikut perhitungan PR pada salah satu kaki simpang :

$$\begin{aligned} \text{PR} &= \text{FR}_{\text{CRIT}} / \text{IFR} \\ &= 0,21/0,66 \\ &= 0,32 \end{aligned}$$

Perhitungan lebih lengkapnya sebagai berikut :

**Tabel V. 30** Perhitungan Rasio Fase

| No | Kode Pendekat | Rasio Arus (FR) | Rasio Fase (IFR) |
|----|---------------|-----------------|------------------|
| 1  | U             | 0,21            | 0,32             |
| 2  | S             | 0,26            | 0,39             |
| 3  | B             | 0,18            | 0,29             |

Sumber : Hasil Analisis 2022

Rasio fase terbesar terdapat pada pendekat selatan sebanyak 0,39. Pendekat utara sebanyak 0,32 dan rasio fase terkecil pada pendekat barat yaitu 0,29.

#### 5.4.2 Perhitungan Siklus

Dalam perhitungan siklus 3 fase ini digunakan berdasarkan metode pada MKJI 1997.

##### 5.4.2.1 Waktu siklus sebelum penyesuaian

Waktu siklus diperoleh berdasarkan **Rumus IV.9** berikut ini perhitungannya:

$$\begin{aligned} \text{Cua} &= \frac{1.5 \times LTI + 5}{1 - IFR} \\ &= \frac{1.5 \times 18 + 5}{1 - 0,66} \\ &= 95 \text{ detik} \end{aligned}$$

##### 5.4.2.2 Waktu Hijau (gi)

Perhitungan waktu hijau untuk masing – masing fase digunakan rumus IV.14. Berikut adalah contoh perhitungan pada salah satu pendekat :

$$\begin{aligned} gi &= (\text{Cua} - LTI) \times PRI \\ &= (95 - 18) \times 0,32 \\ &= 25 \text{ detik} \end{aligned}$$

Berikut hasil perhitungan waktu hijau untuk semua pendekat :

**Tabel V. 31** Waktu Hijau Pendekat

| No | Kode Pendekat | Rasio Fase (IFR) | Waktu Hijau (detik) |
|----|---------------|------------------|---------------------|
| 1  | U             | 0,32             | 25                  |
| 2  | S             | 0,39             | 30                  |
| 3  | B             | 0,29             | 22                  |

Sumber : Hasil Analisis 2022

Waktu hijau terbesar terjadi pada pendekat selatan yaitu 30 detik.

#### 5.4.2.3 Waktu Siklus Penyesuaian

Pada skenario dua fase ini maka waktu hijau yang digunakan adalah waktu hijau terbesar pada tipe pendekat yang sama.

$$\begin{aligned}c &= \Sigma g + LTI \\ &= (25 + 30 + 22) + 18 \\ &= 95 \text{ detik}\end{aligned}$$

#### 5.4.2.4 Kapasitas (C)

Kapasitas dihitung berdasarkan Rumus IV.16. Berikut merupakan contoh perhitungan kapasitas pada salah satu pendekat :

$$\begin{aligned}C &= S \times g/c \\ &= 2303 \times 25 / 95 \\ &= 606 \text{ smp/jam}\end{aligned}$$

Untuk perhitungan kapasitas seluruh pendekat sebagai berikut :

**Tabel V. 32** Perhitungan Nilai Kapasitas Pendekat

| No | Kode Pendekat | S (smp/jam) | Hijau (detik) | Waktu Siklus (detik) | Kapasitas (smp/jam) |
|----|---------------|-------------|---------------|----------------------|---------------------|
| 1  | U             | 2303        | 25            | 95                   | 606                 |
| 2  | S             | 1957        | 30            | 95                   | 618                 |
| 3  | B             | 1761        | 22            | 95                   | 408                 |

Sumber : Hasil Analisis 2022

Nilai kapasitas terbesar pada pendekat sebelah selatan sebesar 618 smp/jam. Nilai terendah pada jalan minor atau pendekat sebelah barat yaitu 408 smp/jam.

#### 5.4.2.5 Derajat Kejenuhan (DS)

Derajat kejenuhan dihitung menggunakan **Rumus IV.17**. Berikut conoth perhitungan pada salah satu pendekat :

**Tabel V. 33** Perhitungan Derajat Kejenuhan

| No | Kode Pendekat | Arus (Q) | Kapasitas (C) | Derajat Kejenuhan |
|----|---------------|----------|---------------|-------------------|
| 1  | U             | 496      | 606           | 0,82              |
| 2  | S             | 508      | 618           | 0,82              |
| 3  | B             | 322      | 408           | 0,79              |

Sumber : Hasil Analisis 2022

Derajat kejenuhan paling tinggi terdapat pada pendekat sebelah selatan dan utara sebesar 0,82. Nilai terendah terdapat pada pendekat sebelah barat yaitu 0,79.

#### 5.4.3 Perhitungan Antrian dan Tundaan

##### 5.4.3.1 Panjang Antrian

Jumlah panjang antrian total berdasarkan rumus adalah

$$NQ = NQ_1 + NQ_2$$

Dimana  $NQ_1$  digunakan seperti pada rumus IV.18. Untuk hasil perhitungan  $NQ_1$  dilihat pada tabel berikut :

**Tabel V. 34** Perhitungan Jumlah smp yang Tersisa pada Fase Sebelumnya

| No | Kode Pendekat | Kapasitas (C) | Derajat Kejenuhan (DS) | $NQ_1$ (m) |
|----|---------------|---------------|------------------------|------------|
| 1  | U             | 606           | 0,82                   | 1,70       |
| 2  | S             | 618           | 0,82                   | 1,75       |

| No | Kode Pendekat | Kapasitas (C) | Derajat Kejejuhan (DS) | NQ <sub>1</sub> (m) |
|----|---------------|---------------|------------------------|---------------------|
| 3  | B             | 408           | 0,79                   | 1,33                |

Sumber : Hasil Analisis 2022

Untuk jumlah smp yang datang selama waktu merah (NQ<sub>2</sub>) dihitung berdasarkan **Rumus IV.19**. Berikut hasil perhitungan NQ<sub>2</sub> pada masing – masing pendekat :

**Tabel V. 35** Perhitungan Jumlah smp yang Datang Selama Waktu Merah

| No | Kode Pendekat | Rasio Hijau (g/c) | Waktu Siklus (c) | DS   | Q   | NQ <sub>2</sub> |
|----|---------------|-------------------|------------------|------|-----|-----------------|
| 1  | U             | 0,26              | 95               | 0,82 | 496 | 12,29           |
| 2  | S             | 0,31              | 95               | 0,82 | 508 | 12,39           |
| 3  | B             | 0,23              | 95               | 0,79 | 322 | 7,99            |

Sumber : Hasil Analisis 2022

Dari perhitungan NQ<sub>1</sub> dan NQ<sub>2</sub> diperoleh nilai NQ, yaitu sebagai berikut :

**Tabel V. 36** Perhitungan Jumlah Rata - Rata pada Awal Sinyal Hijau

| No | Kode Pendekat | NQ <sub>1</sub> | NQ <sub>2</sub> | NQ    |
|----|---------------|-----------------|-----------------|-------|
| 1  | U             | 1,70            | 12,29           | 13,99 |
| 2  | S             | 1,75            | 12,39           | 14,14 |
| 3  | B             | 1,33            | 7,99            | 9,32  |

Sumber : Hasil Analisis 2022

Dari perhitungan NQ kemudian diperoleh panjang antrian menggunakan **Rumus IV.20** sebagai berikut :

**Tabel V. 37** Perhitungan Panjang Antrian Kendaraan

| No | Kode Pendekat | NQ total | Lebar Masuk | Panjang Antrian (QL) |
|----|---------------|----------|-------------|----------------------|
| 1  | U             | 13,99    | 3,75        | 101                  |
| 2  | S             | 14,14    | 3,75        | 107                  |
| 3  | B             | 9,32     | 3,00        | 87                   |

Sumber : Hasil Analisis 2022

Panjang antrian terbesar erdapat pada pendekat sebelah selatan sebanyak 107 meter dan nilai paling rendah pada pendekat sebelah barat yaitu 87 meter.

#### 5.4.3.2 Angka Henti

Angka henti dihitung berdasarkan **Rumus IV.21** seperti pada contoh perhitungan dibawah ini :

$$NS = 0,9 \times \frac{13,99}{496 \times 95} \times 3600$$

$$= 0,96 \text{ stop/smp}$$

Untuk angka henti keseluruhan pendekat adalah sebagai berikut :

**Tabel V. 38** Perhitungan Angka Henti

| No | Kode Pendekat | NQ <sub>tot</sub> (smp) | Arus (Q) (smp/jam) | Waktu siklus (c) (detik) | Rasio NS (smp) |
|----|---------------|-------------------------|--------------------|--------------------------|----------------|
| 1  | U             | 13,99                   | 496                | 95                       | 0,96           |
| 2  | S             | 14,14                   | 508                | 95                       | 0,95           |
| 3  | B             | 9,32                    | 322                | 95                       | 0,98           |

Sumber : Hasil Analisis 2022

Kemudian dilakukan perhitungan jumlah kendaraan terhenti menggunakan **Rumus IV.22**. Berikut merupakan contoh perhitungan jumlah kendaraan terhenti pada salah satu pendekat :

$$\begin{aligned}
 Nsv &= Q / NS \\
 &= 496 / 0,96 \\
 &= 477 \text{ smp/jam}
 \end{aligned}$$

Berikut hasil perhitungan jumlah kendaraan terhenti :

**Tabel V. 39** Perhitungan Jumlah Kendaraan Terhenti

| No | Kode Pendekat | Arus (Q) | Rasio NS | Nsv (smp/jam) |
|----|---------------|----------|----------|---------------|
| 1  | U             | 496      | 0,96     | 477           |
| 2  | S             | 508      | 0,95     | 482           |
| 3  | B             | 322      | 0,98     | 318           |

Sumber : Hasil Analisis 2022

Jumlah kendaraan terhenti pada pendekat sebelah selatan adalah yang terbesar yaitu 482 smp/jam.

#### 5.4.3.3 Tundaan

Perhitungan tundaan dilakukan untuk perhitungan tundaan lalu lintas dan tundaan geometri. Perhitungan tundaan lalu lintas dilakukan berdasarkan

**Rumus IV.23.** Untuk hasil perhitungan dapat dilihat pada tabel berikut :

**Tabel V. 40** Perhitungan Tundaan Rata -Rata Lalu lintas

| No | Kode Pendekat | Waktu Siklus (c) | DS   | Rasio Hijau | Kapasitas | NQ <sub>1</sub> | Tundaan (det/smp) |
|----|---------------|------------------|------|-------------|-----------|-----------------|-------------------|
| 1  | U             | 95               | 0,82 | 0,26        | 606       | 1,70            | 42,98             |
| 2  | S             | 95               | 0,82 | 0,31        | 618       | 1,75            | 40,25             |
| 3  | B             | 95               | 0,79 | 0,23        | 408       | 1,33            | 46,06             |

Sumber : Hasil Analisis 2022

Perhitungan dilanjutkan dengan perhitungan tundaan geometrik simpang menggunakan **Rumus IV.24.** Hasil perhitungan tundaan geometrik simpang adalah sebagai berikut :

**Tabel V. 41** Perhitungan Tundaan Geometrik

| No | Kode Pendekat | Psv  | Pt   | DG   |
|----|---------------|------|------|------|
| 1  | U             | 0,96 | 0,00 | 3,93 |
| 2  | S             | 0,95 | 0,47 | 3,94 |
| 3  | B             | 0,98 | 0,50 | 4,03 |

Sumber : Hasil Analisis 2022

Kemudian untuk perhitungan tundaan total rata – rata diperoleh dari penjumlahan tundaan rata – rata dengan tundaan geometrik. Berikut hasil perhitungan tundaan total rata –rata :

**Tabel V. 42** Perhitungan Tundaan Rata - Rata

| No | Kode Pendekat | DT<br>(det/smp) | DG<br>(det/smp) | D (det/smp) |
|----|---------------|-----------------|-----------------|-------------|
| 1  | U             | 42,98           | 3,93            | 46,91       |
| 2  | S             | 40,25           | 3,94            | 44,18       |
| 3  | B             | 46,06           | 4,03            | 50,09       |

Sumber : Hasil Analisis 2022

Berikut merupakan tundaan total dan tundaan rata – rata Simpang Jakal KM 12,5 pada skenario II :

**Tabel V. 43** Tundaan pada Skenario II Simpang Jakal KM 12,5

| No | Kode Pendekat                         | Arus (Q) | D     | Tundaan Total |
|----|---------------------------------------|----------|-------|---------------|
| 1  | U                                     | 496      | 46,91 | 23265         |
| 2  | S                                     | 508      | 44,18 | 22446         |
| 3  | B                                     | 322      | 50,09 | 16129         |
|    | Tundaan Simpang Rata – Rata (det/smp) |          |       | 46,64         |

Sumber : Hasil Analisis 2022

Berdasarkan hasil perhitungan dihasilkan tundaan rata – rata sebesar 46,64 detik/smp.

#### 5.4.4 Kinerja Simpang Jakal KM 12,5

Berdasarkan analisis kinerja kondisi usulan II berupa pengaturan dengan dua fase, dihasilkan kinerja Simpang Jakal KM 12,5 sebagai berikut:

**Tabel V. 44** Kinerja Simpang Jakal KM 12,5 Skenario II

| Kode Pendekat | DS   | Antrian | D     | Tundaan Rata –Rata |
|---------------|------|---------|-------|--------------------|
| U             | 0,82 | 101     | 46,91 | 46,64det/smp       |
| S             | 0,82 | 107     | 44,18 |                    |
| B             | 0,79 | 87      | 50,09 |                    |

Sumber : Hasil Analisis 2022

Setelah dilakukan analisa simpang bersinyal berikut ini disajikan gambar diagram fase pada usulan II.

| NAMA/AN SIMPANG         | FASE | DIAGRAM/FASE/PIILL |    |   |    |    |   |   |  |    |   | Waktu Sinyal Total |    |
|-------------------------|------|--------------------|----|---|----|----|---|---|--|----|---|--------------------|----|
| Yogyakarta- Kalurang II | 1    | 25                 | 3  | 3 |    |    |   |   |  |    |   | 64                 | 95 |
| Yogyakarta- Kalurang IV | 2    |                    | 31 |   | 30 |    | 3 | 3 |  | 28 |   |                    | 95 |
| Kayuren- Candikarang    | 3    |                    |    |   |    | 67 |   |   |  | 22 | 3 | 3                  | 95 |

Sumber : Hasil Analisis 2022

**Gambar V. 4** Fase Lalulintas Kondisi Usulan II

Pada diagram fase ini diberlakukan tiga fase untuk pendekat utara waktu hijau sebesar 25 detik, pendekat selatan sebesar 30 detik sedangkan pada pendekat barat waktu hijau sebanyak 22 detik.

#### 5.5 Analisa Kinerja Simpang Usulan III

Penggunaan APILL dengan tiga fase dihasilkan kinerja simpang yang kurang maka dilakukan skenario atau usulan III berupa pengaturan dengan dua fase disertai pelebaran mulut simpang dengan memanfaatkan bahu

jalan dengan pelebaran sebesar 0,5 meter untuk seluruh pendekat simpang. Berikut perhitungan kondisi usulan III Simpang Jakal KM 12,5.

#### 5.5.1 Perhitungan Arus (S)

##### 5.5.1.1 Arus Jenuh (So)

Untuk perhitungan arus jenuh terlebih dahulu menghitung faktor – faktor yang mempengaruhinya. Arus jenuh untuk tipe pendekat terlindung dapat dicari dengan rumus

$$\begin{aligned} S_o &= 600 \times W_e \\ &= 600 \times 3,5 \\ &= 1800 \end{aligned}$$

Untuk tipe pendekat terlawan, arus jenuh dasar dipengaruhi oleh jumlah arus kendaraan belok kanan pada arah diri ( $Q_{RT}$ ) dan lawan ( $Q_{RTO}$ ) serta lebar efektifnya ( $W_e$ ) dan pembagian lajur belok kanan. Untuk menentukannya peneliti menggunakan perhitungan pada aplikasi KAJI. Berdasarkan perhitungan, maka didapatkan arus jenuh dasar sebagai berikut :

**Tabel V. 45** Arus Jenuh Dasar

| No | Kode Pendekat | Tipe Pendekat | Lebar Efektif ( $W_e$ ) (m) | So (smp/jam) |
|----|---------------|---------------|-----------------------------|--------------|
| 1  | U             | O             | 4,25                        | 2132         |
| 2  | S             | O             | 4,25                        | 1350         |
| 3  | B             | P             | 3,5                         | 2100         |

Sumber : Hasil Analisis 2022

Pada tabel di atas dihasilkan perhitungan  $S_o$  dimana nilainya berbeda untuk lebar efektif yang sama, dikarenakan tipe pendekat terlawan  $S_o$  dipengaruhi juga oleh nilai  $Q_{rt}$  dan  $Q_{rto}$ . Sesuai hasil perhitungan SIG-5 pada aplikasi KAJI dihasilkan 2132 smp/jam untuk pendekat utara dan 1350 smp/jam untuk pendekat selatan dengan kedua lebar efektif yang sama.

#### 5.5.1.2 Faktor Penyesuaian Ukuran Kota (Fcs)

Faktor ukuran kota dapat ditentukan berdasarkan **Gambar IV.10** yaitu sebesar  $Fcs = 1$ .

#### 5.5.1.3 Faktor Penyesuaian Hambatan Samping (Fsf)

Untuk faktor penyesuaian hambatan samping ditentukan berdasarkan **Gambar IV.11** dapat dilihat pada tabel berikut :

**Tabel V. 46** Faktor Penyesuaian Hambatan Samping

| No | Kode Pendekat | Tipe Pendekat | Hambatan Samping | Lingkungan Jalan | Pum  | Fsf  |
|----|---------------|---------------|------------------|------------------|------|------|
| 1  | U             | O             | Sedang           | Komersil         | 0,00 | 0,94 |
| 2  | S             | O             | Sedang           | Komersil         | 0,00 | 0,94 |
| 3  | B             | P             | Sedang           | Komersil         | 0,00 | 0,94 |

Sumber : Hasil Analisis 2022

Sesuai dengan tabel penentuan faktor penyesuaian hambatan samping untuk tipe pendekat terlindung dan terlawan dengan hambatan samping sedang dan tata guna lahan komersil serta nilai rasio kendaraan tidak bermotor 0,0 maka nilai Fsf adalah 0,94.

#### 5.5.1.4 Kelandaian (Fg)

Kelandaian persimpangan untuk masing – masing kaki simpang adalah 0% atau datar, maka faktor penyesuaian kelandaian  $Fg = 1$ .

#### 5.5.1.5 Parkir (Fp)

Tidak ada ruang parkir *on street* pada masing – masing kaki simpang sehingga faktor penyesuaian parkir  $Fp = 1$ .

#### 5.5.1.6 Faktor Belok Kanan (Frt)

Perhitungan faktor belok kanan hanya dilakukan pada pendekat tipe terlindung menggunakan rumus IV.12.

$$\begin{aligned} Prt &= \frac{Rt \text{ (smp/jam)}}{Q \text{ (smp/jam)}} \\ &= \frac{162}{323} \\ &= 0,5 \end{aligned}$$

Berikut nilai Frt pada masing – masing pendekat :

**Tabel V. 47** Faktor Penyesuaian Belok Kanan

| No | Kode Pendekat | Tipe Pendekat | Prt  | Frt  |
|----|---------------|---------------|------|------|
| 1  | U             | O             | 0,33 | 1    |
| 2  | S             | O             | 0,00 | 1    |
| 3  | B             | P             | 0,50 | 1,13 |

Sumber : Hasil Analisis 2022

Nilai penyesuain belok kanan hanya dilakukan pada perhitungan dengan tipe pendekat terlindung, sementara untuk tipe pendekat terlawan tidak dilakukan perhitungan sehingga nilai dianggap 1 atau tidak berpengaruh.

#### 5.5.1.7 Faktor Belok Kiri (Flt)

Perhitungan faktor belok kiri hanya dilakukan pada pendekat tipe terlindung menggunakan **Rumus IV.13**.

$$\begin{aligned}
 Plt &= \frac{lt \text{ (smp/jam)}}{Q \text{ (smp/jam)}} \\
 &= \frac{160}{323} \\
 &= 0,5
 \end{aligned}$$

Berikut nilai Frt pada masing – masing pendekat :

**Tabel V. 48** Faktor Penyesuaian Belok Kiri

| No | Kode Pendekat | Tipe Pendekat | Plt  | Flt  |
|----|---------------|---------------|------|------|
| 1  | U             | O             | 0,00 | 1    |
| 2  | S             | O             | 0,42 | 1    |
| 3  | B             | P             | 0,50 | 0,92 |

Sumber : Hasil Analisis 2022

Nilai penyesuain belok kiri hanya dilakukan pada perhitungan dengan tipe pendekat terlindung, sementara untuk tipe pendekat terlawan tidak dilakukan perhitungan sehingga nilai dianggap 1 atau tidak berpengaruh.

#### 5.5.1.8 Arus Jenuh (So)

Arus jenuh masing – masing pendekatan dihitung berdasarkan Rumus IV.10. perhitungan arus jenuh setelah penyesuaian dapat dilihat pada tabel berikut :

**Tabel V. 49** Arus Jenuh Setelah Penyesuaian

| No | Kode Pendekat | So   | Fcs | Fsf  | Fg | Fp | Frt  | Flt  | S<br>smp/jam |
|----|---------------|------|-----|------|----|----|------|------|--------------|
| 1  | U             | 2132 | 1   | 0.94 | 1  | 1  | 1    | 1    | 2004         |
| 2  | S             | 1350 | 1   | 0.94 | 1  | 1  | 1    | 1    | 1269         |
| 3  | B             | 2100 | 1   | 0.94 | 1  | 1  | 1.13 | 0.92 | 2055         |

Sumber : Hasil Analisis 2022

Dari hasil perhitungan arus jenuh yang dilakukan dihasilkan nilai arus jenuh terbesar pada pendekatan barat sebanyak 2055 smp/jam.

#### 5.5.1.9 Rasio Arus (FR)

Rasio arus diperoleh dari pembagian antara arus masing – masing pendekatan yang dibagi dengan arus jenuh setelah penyesuaian. Berikut contoh perhitungan arus pada salah satu kaki simpang:

$$\begin{aligned}FR &= Q/S \\ &= 671 / 2004 \\ &= 0,34\end{aligned}$$

Untuk perhitungan keseluruhan sebagai berikut :

**Tabel V. 50** Perhitungan Rasio Arus

| No | Kode Pendekat | Arus (Q) | Arus Jenuh Penyesuaian (S) | Rasio Arus |
|----|---------------|----------|----------------------------|------------|
| 1  | U             | 671      | 2004                       | 0,34       |
| 2  | S             | 708      | 1269                       | 0,56       |
| 3  | B             | 323      | 2055                       | 0,16       |

Sumber : Hasil Analisis 2022

Rasio arus terbesar terdapat pada pendekat selatan sebanyak 0,56. Pendekat utara sebanyak 0,33 dan rasio arus terkecil pada pendekat barat yaitu 0,16.

#### 5.5.1.10 Rasio Arus Sempang (IFR)

Perhitungan rasio arus sempang diperoleh dari jumlah nilai – nilai  $FR_{CRIT}$  tertinggi pada fase yang sama rumus berikut :

$$\begin{aligned} IFR &= \sum(FR_{CRIT}) \\ &= 0,56 + 0,15 \\ &= 0,71 \end{aligned}$$

#### 5.5.1.11 Rasio Fase (PR)

Rasio fase merupakan perbandingan antara  $FR_{CRIT}$  dan IFR. Berikut perhitungan PR pada salah satu kaki sempang :

$$\begin{aligned} PR &= FR_{CRIT} / IFR \\ &= 0,34/0,71 \\ &= 0,47 \end{aligned}$$

Perhitungan lebih lengkapnya sebagai berikut :

**Tabel V. 51** Perhitungan Rasio Fase

| No | Kode Pendekat | Rasio Arus (IFR) | Rasio Fase (PR) |
|----|---------------|------------------|-----------------|
| 1  | U             | 0,34             | 0,47            |
| 2  | S             | 0,56             | 0,78            |
| 3  | B             | 0,16             | 0,22            |

Sumber : Hasil Analisis 2022

Rasio fase terbesar terdapat pada pendekat selatan sebanyak 0,78. Pendekat utara sebanyak 0,47 dan rasio fase terkecil pada pendekat barat yaitu 0,22.

#### 5.5.2 Perhitungan Siklus

Dalam perhitungan siklus 2 fase ini digunakan berdasarkan metode pada MKJI 1997.

### 5.5.2.1 Waktu siklus sebelum penyesuaian

Waktu siklus diperoleh berdasarkan **Rumus IV.9** berikut ini perhitungannya:

$$\begin{aligned} \text{Cua} &= \frac{1.5 \times LTI + 5}{1 - IFR} \\ &= \frac{1.5 \times 12 + 5}{1 - 0,71} \\ &= 81 \text{ detik} \end{aligned}$$

### 5.5.2.2 Waktu Hijau (gi)

Perhitungan waktu hijau untuk masing – masing fase digunakan rumus

IV.14. Berikut adalah contoh perhitungan pada salah satu pendekat :

$$\begin{aligned} g_i &= (\text{Cua} - LTI) \times P Ri \\ &= (81 - 12) \times 0,47 \\ &= 32 \text{ detik} \end{aligned}$$

Berikut hasil perhitungan waktu hijau untuk semua pendekat :

**Tabel V. 52** Waktu Hijau Pendekat

| No | Kode Pendekat | Rasio Fase | Waktu Hijau (detik) |
|----|---------------|------------|---------------------|
| 1  | U             | 0,47       | 32                  |
| 2  | S             | 0,78       | 54                  |
| 3  | B             | 0,22       | 15                  |

Sumber : Hasil Analisis 2022

Waktu hijau terbesar terjadi pada pendekat selatan yaitu 54 detik dengan tipe pendekat terlawan dimana nilai ini yang akan digunakan dalam perhitungan waktu siklus.

### 5.5.2.3 Waktu Siklus Penyesuaian

Pada skenario dua fase ini maka waktu hijau yang digunakan adalah waktu hijau terbesar pada tipe pendekat yang sama.

$$\begin{aligned} c &= \Sigma g + LTI \\ &= (54 + 15) + 12 \\ &= 81 \text{ detik} \end{aligned}$$

#### 5.5.2.4 Kapasitas (C)

Kapasitas dihitung berdasarkan **Rumus IV.16**. Berikut merupakan contoh perhitungan kapasitas pada salah satu pendekat :

$$\begin{aligned} C &= S \times g/c \\ &= 2004 \times 32 / 81 \\ &= 1336 \text{ smp/jam} \end{aligned}$$

Untuk perhitungan kapasitas seluruh pendekat sebagai berikut :

**Tabel V. 53** Perhitungan Nilai Kapasitas Pendekat

| No | Kode Pendekat | S (smp/jam) | Hijau (detik) | Waktu Siklus (detik) | Kapasitas (smp/jam) |
|----|---------------|-------------|---------------|----------------------|---------------------|
| 1  | U             | 2004        | 32            | 81                   | 1336                |
| 2  | S             | 1269        | 54            | 81                   | 846                 |
| 3  | B             | 2055        | 15            | 81                   | 358                 |

Sumber : Hasil Analisis 2022

Nilai kapasitas terbesar pada pendekat sebelah utara sebesar 1336 smp/jam. Nilai terendah pada jalan minor atau pendekat sebelah barat yaitu 358 smp/jam.

#### 5.5.2.5 Derajat Kejenuhan (DS)

Derajat kejenuhan dihitung menggunakan **Rumus IV.17**. Berikut conoth perhitungan pada salah satu pendekat :

**Tabel V. 54** Perhitungan Derajat Kejenuhan

| No | Kode Pendekat | Arus (Q) | Kapasitas (C) | Derajat Kejenuhan |
|----|---------------|----------|---------------|-------------------|
| 1  | U             | 671      | 1336          | 0,50              |
| 2  | S             | 708      | 846           | 0,83              |
| 3  | B             | 322      | 381           | 0,85              |

Sumber : Hasil Analisis 2022

Derajat kejenuhan paling tinggi terdapat pada pendekat sebelah selatan sebesar 0,85. Nilai terendah terdapat pada pendekat sebelah utara yaitu 0,50.

### 5.5.3 Perhitungan Antrian dan Tundaan

#### 5.5.3.1 Panjang Antrian

Jumlah panjang antrian total berdasarkan rumus adalah

$$NQ = NQ_1 + NQ_2$$

Dimana  $NQ_1$  digunakan seperti pada **Rumus IV.18**. Untuk hasil perhitungan  $NQ_1$  dilihat pada tabel berikut :

**Tabel V. 55** Perhitungan Jumlah smp yang Tersisa pada Fase Sebelumnya

| No | Kode Pendekat | Kapasitas (C) | Derajat Kejenuhan (DS) | $NQ_1$ (m) |
|----|---------------|---------------|------------------------|------------|
| 1  | U             | 1336          | 0,50                   | 0,00       |
| 2  | S             | 846           | 0,83                   | 2,01       |
| 3  | B             | 381           | 0,85                   | 2,08       |

Sumber : Hasil Analisis 2022

Untuk jumlah smp yang datang selama waktu merah ( $NQ_2$ ) dihitung berdasarkan **Rumus IV.19**. Berikut hasil perhitungan  $NQ_2$  pada masing – masing pendekat :

**Tabel V. 56** Perhitungan Jumlah smp yang Datang Selama Waktu Merah

| No | Kode Pendekat | Rasio Hijau (g/c) | Waktu Siklus (c) | DS   | Q   | $NQ_2$ |
|----|---------------|-------------------|------------------|------|-----|--------|
| 1  | U             | 0,66              | 81               | 0,50 | 671 | 7,57   |
| 2  | S             | 0,66              | 81               | 0,83 | 708 | 12,01  |
| 3  | B             | 0,18              | 81               | 0,85 | 322 | 7,00   |

Sumber : Hasil Analisis 2022

Dari perhitungan  $NQ_1$  dan  $NQ_2$  diperoleh nilai  $NQ$ , yaitu sebagai berikut :

**Tabel V. 57** Perhitungan Jumlah Rata - Rata pada Awal Sinyal Hijau

| No | Kode Pendekat | $NQ_1$ | $NQ_2$ | $NQ$  |
|----|---------------|--------|--------|-------|
| 1  | U             | 0,00   | 7,57   | 7,57  |
| 2  | S             | 2,01   | 12,01  | 14,02 |
| 3  | B             | 2,08   | 7,00   | 9,08  |

Sumber : Hasil Analisis 2022

Dari perhitungan  $NQ$  kemudian diperoleh panjang antrian menggunakan

**Rumus IV.20** sebagai berikut :

**Tabel V. 58** Perhitungan Panjang Antrian Kendaraan

| No | Kode Pendekat | $NQ$ total | Lebar Masuk | Panjang Antrian (QL) |
|----|---------------|------------|-------------|----------------------|
| 1  | U             | 7,57       | 4,25        | 52                   |
| 2  | S             | 14,02      | 4,25        | 89                   |
| 3  | B             | 9,08       | 3,50        | 74                   |

Sumber : Hasil Analisis 2022

Panjang antrian terbesar terdapat pada pendekat sebelah selatan sebanyak 89 meter dan nilai paling rendah pada pendekat sebelah utara yaitu 52 meter.

#### 5.5.3.2 Angka Henti

Angka henti dihitung berdasarkan **Rumus IV.21** seperti pada contoh perhitungan dibawah ini :

$$\begin{aligned}
 NS &= 0,9 \times \frac{7,57}{671 \times 81} \times 3600 \\
 &= 0,45 \text{ stop/smp}
 \end{aligned}$$

Untuk angka henti keseluruhan pendekat adalah sebagai berikut :

**Tabel V. 59** Perhitungan Angka Henti

| No | Kode Pendekat | $NQ_{tot}$ (smp) | Arus (Q) (smp/jam) | Waktu siklus (c) (detik) | Rasio NS (smp) |
|----|---------------|------------------|--------------------|--------------------------|----------------|
| 1  | U             | 7,57             | 671                | 81                       | 0,45           |
| 2  | S             | 14,02            | 708                | 81                       | 0,79           |
| 3  | B             | 9,08             | 322                | 81                       | 1,12           |

Sumber : Hasil Analisis 2022

Kemudian dilakukan perhitungan jumlah kendaraan terhenti menggunakan **Rumus IV.22**. Berikut merupakan contoh perhitungan jumlah kendaraan terhenti pada salah satu pendekat :

$$\begin{aligned} Nsv &= Q / NS \\ &= 671 / 0,43 \\ &= 288 \text{ smp/jam} \end{aligned}$$

Berikut hasil perhitungan jumlah kendaraan terhenti :

**Tabel V. 60** Perhitungan Jumlah Kendaraan Terhenti

| No | Kode Pendekat | Arus (Q) | Rasio NS | Nsv (smp/jam) |
|----|---------------|----------|----------|---------------|
| 1  | U             | 671      | 0,45     | 303           |
| 2  | S             | 708      | 0,79     | 561           |
| 3  | B             | 322      | 1,12     | 363           |

Sumber : Hasil Analisis 2022

Jumlah kendaraan terhenti pada pendekat sebelah selatan adalah yang terbesar yaitu 561 smp/jam.

#### 5.5.3.3 Tundaan

Perhitungan tundaan dilakukan untuk perhitungan tundaan lalulintas dan tundaan geometri. Perhitungan tundaan lalu lintas dilakukan berdasarkan

**Rumus IV.23**. Untuk hasil perhitungan dapat dilihat pada tabel berikut :

**Tabel V. 61** Perhitungan Tundaan Rata -Rata Lalulintas

| No | Kode Pendekat | Waktu Siklus (c) | DS   | Rasio Hijau | Kapasitas | NQ <sub>1</sub> | Tundaan (det/smp) |
|----|---------------|------------------|------|-------------|-----------|-----------------|-------------------|
| 1  | U             | 81               | 0,50 | 0,66        | 1336      | 0,00            | 6,78              |
| 2  | S             | 81               | 0,83 | 0,66        | 846       | 2,01            | 18,72             |
| 3  | B             | 81               | 0,85 | 0,18        | 381       | 2,08            | 51,55             |

Sumber : Hasil Analisis 2022

Perhitungan dilanjutkan dengan perhitungan tundaan geometrik simpang menggunakan **Rumus IV.24**. Hasil perhitungannya sebagai berikut :

**Tabel V. 62** Perhitungan Tundaan Geometrik

| No | Kode Pendekat | Psv  | Pt   | DG   |
|----|---------------|------|------|------|
| 1  | U             | 0,45 | 0,00 | 2,93 |
| 2  | S             | 0,79 | 0,42 | 3,75 |
| 3  | B             | 1,28 | 0,50 | 4,00 |

Sumber : Hasil Analisis 2022

Kemudian untuk perhitungan tundaan total rata – rata diperoleh dari penjumlahan tundaan rata – rata dengan tundaan geometrik. Berikut hasil perhitungan tundaan total rata –rata :

**Tabel V. 63** Perhitungan Tundaan Rata - Rata

| No | Kode Pendekat | DT (det/smp) | DG (det/smp) | D (det/smp) |
|----|---------------|--------------|--------------|-------------|
| 1  | U             | 6,78         | 2,93         | 9,71        |
| 2  | S             | 18,72        | 3,75         | 22,47       |
| 3  | B             | 51,55        | 4,00         | 55,55       |

Sumber : Hasil Analisis 2022

Berikut merupakan tundaan total dan tundaan rata – rata Simpang Jakal KM 12,5 pada skenario III :

**Tabel V. 64** Tundaan pada Skenario I Simpang Jakal KM 12,5

| No | Kode Pendekat                         | Arus (Q) | D     | Tundaan Total |
|----|---------------------------------------|----------|-------|---------------|
| 1  | U                                     | 671      | 9,71  | 6516          |
| 2  | S                                     | 708      | 22,47 | 15908         |
| 3  | B                                     | 322      | 55,55 | 17887         |
|    | Tundaan Simpang Rata – Rata (det/smp) |          |       | 23,70         |

Sumber : Hasil Analisis 2022

Berdasarkan hasil perhitungan dihasilkan tundaan rata – rata sebesar 23,70 detik/smp.

#### 5.5.4 Kinerja Simpang Jakal KM 12,5

Berdasarkan analisis kinerja simpang bersinyal usulan III berupa pengaturan dengan dua fase disertai pelebaran mulut simpang dengan memanfaatkan bahu jalan dengan pelebaran sebesar 0,5 meter untuk seluruh pendekat simpang, dihasilkan kinerja Simpang Jakal KM 12,5 sebagai berikut:

**Tabel V. 65** Kinerja Simpang Jakal KM 12,5 Skenario III

| Kode Pendekat | DS   | Antrian (m) | D     | Tundaan Rata –Rata |
|---------------|------|-------------|-------|--------------------|
| U             | 0,50 | 52          | 9,71  | 23,70<br>det/smp   |
| S             | 0,83 | 89          | 22,47 |                    |
| B             | 0,85 | 74          | 55,55 |                    |

Sumber : Hasil Analisis 2022

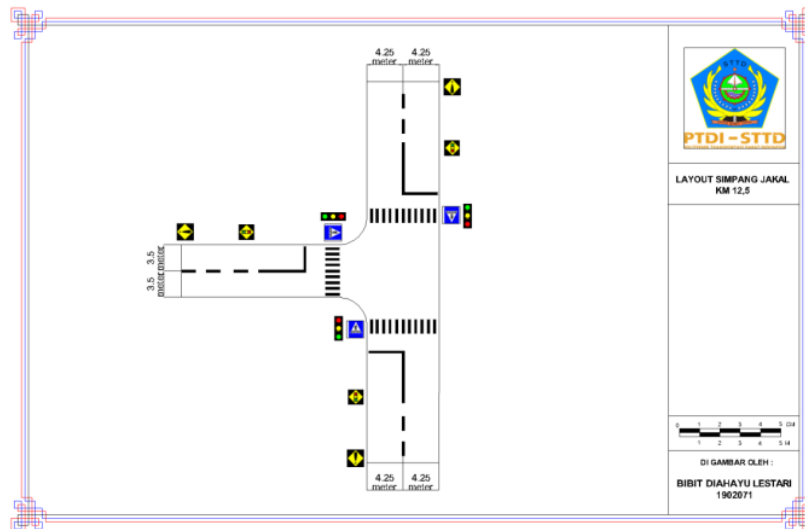
Setelah dilakukan analisa simpang bersinyal berikut ini disajikan gambar diagram fase pada usulan III.

| NAMA KAWASIMPANG           | FASE | DIAGRAM FASE APIL |    |          |         |          |       |       |       | Waktu Siklus Total |    |
|----------------------------|------|-------------------|----|----------|---------|----------|-------|-------|-------|--------------------|----|
| Yogyakarta - Kaliurang IV  | 1    | [Green]           |    | [Yellow] | [Red]   | [Red]    | [Red] | [Red] | [Red] | [Red]              | 81 |
| Yogyakarta - Kaliurang III |      | 54                |    | 3        | 3       |          |       | 21    |       |                    |    |
| Kayunan - Candikarang      | 2    | [Red]             |    | [Red]    | [Green] | [Yellow] | [Red] | [Red] | [Red] | [Red]              | 81 |
|                            |      |                   | 60 |          |         | 15       |       |       |       |                    |    |

Sumber : Hasil Analisis 2022

**Gambar V. 5** Fase Lalulintas Usulan III

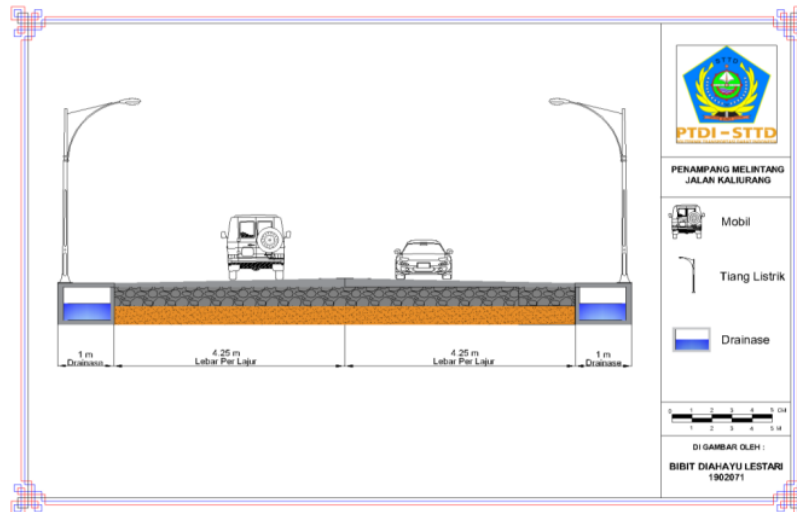
Pada diagram fase ini diberlakukan fase yang sama untuk pendekat utara dan selatan dengan waktu hijau 54 detik sedangkan pada pendekat barat waktu hijau sebanyak 15 detik. Berikut ini gambar penampang simpang bersinyal Simpang Jakal KM 12,5.



Sumber : Hasil Analisis 2022

**Gambar V. 6** Penampang Atas Simpang Bersinyal Simpang Jakal KM 12,5

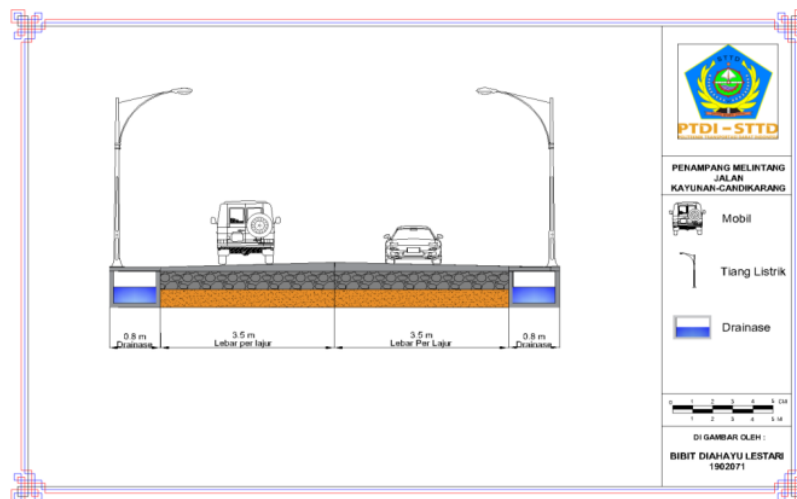
Berikut merupakan penampang melintang pada masing – masing ruas setelah dilakukan pelebaran pendekat.



Sumber : Hasil Analisis 2022

**Gambar II. 10** Penampang Melintang Ruas Jalan Yogyakarta – Kaliurang Setelah Dilakukan Pelebaran

Pelebaran pendekat dilakukan dengan memanfaatkan bahu selebar 0,5 meter sehingga setelah dilakukannya pelebaran ini, ruas Jalan Yogyakarta – Kaliurang tidak memiliki bahu jalan.



Sumber : Hasil Analisis 2022

**Gambar II. 11** Penampang Melintang Ruas Jalan Kayunan – Candikarang Setelah Dilakukan Pelebaran Pendekat

Pada ruas jalan minor yaitu Jalan Kayunan – Candikarang dilakukan pelebaran pendekat sebesar 0,5 meter sehingga menjadi 3,5 meter.

## 5.6 Analisa Kinerja Simpang Usulan IV

Penggunaan APILL dengan dua fase disertai pelebaran mulut simpang dihasilkan kinerja simpang yang cukup baik. Selanjutnya diberikan usulan yang sama dengan mengganti fase. Berikut perhitungan kondisi usulan III Simpang Jakal KM 12,5 yaitu pengaturan APILL dengan tiga fase disertai pelebaran mulut simpang dengan memanfaatkan bahu jalan dengan pelebaran sebesar 0,5 meter untuk seluruh pendekat simpang.

### 5.6.1 Perhitungan Arus (S)

#### 5.6.1.1 Arus Jenuh (So)

Untuk perhitungan arus jenuh terlebih dahulu menghitung faktor – faktor yang mempengaruhinya. Arus jenuh untuk tipe pendekat terlindung dapat dicari dengan rumus

$$\begin{aligned} S_o &= 600 \times W_e \\ &= 600 \times 3,5 \\ &= 2100 \end{aligned}$$

Untuk tipe pendekat terlawan, arus jenuh dasar dipengaruhi oleh jumlah arus kendaraan belok kanan pada arah diri ( $Q_{RT}$ ) dan lawan ( $Q_{RTO}$ ) serta lebar efektifnya ( $W_e$ ) dan pembagian lajur belok kanan. Untuk menentukannya peneliti menggunakan perhitungan pada aplikasi KAJI. Berdasarkan perhitungan, maka didapatkan arus jenuh dasar sebagai berikut :

**Tabel V. 66** Arus Jenuh Dasar

| No | Kode Pendekat | Tipe Pendekat | Lebar Efektif ( $W_e$ ) (m) | So (smp/jam) |
|----|---------------|---------------|-----------------------------|--------------|
| 1  | U             | P             | 4,25                        | 2550         |
| 2  | S             | P             | 4,25                        | 2550         |
| 3  | B             | P             | 3,5                         | 2100         |

Sumber : Hasil Analisis 2022

Nilai arus jenuh dasar terbesar pada pendekat utara dan selatan sebanyak 2550 dikarenakan lebar efektif yang sama pada kedua pendekat tersebut.

#### 5.6.1.2 Faktor Penyesuaian Ukuran Kota (Fcs)

Faktor ukuran kota dapat ditentukan berdasarkan **Gambar IV.10** yaitu sebesar  $F_{cs} = 1$ .

#### 5.6.1.3 Faktor Penyesuaian Hambatan Samping (Fsf)

Untuk faktor penyesuaian hambatan samping ditentukan berdasarkan **Gambar IV.11** dapat dilihat pada tabel berikut :

**Tabel V. 67** Faktor Penyesuaian Hambatan Samping

| No | Kode Pendekat | Tipe Pendekat | Hambatan Samping | Lingkungan Jalan | Pum  | Fsf  |
|----|---------------|---------------|------------------|------------------|------|------|
| 1  | U             | P             | Sedang           | Komersil         | 0,00 | 0,94 |
| 2  | S             | P             | Sedang           | Komersil         | 0,00 | 0,94 |
| 3  | B             | P             | Sedang           | Komersil         | 0,00 | 0,94 |

Sumber : Hasil Analisis 2022

Sesuai dengan tabel penentuan faktor penyesuaian hambatan samping untuk tipe pendekat terlindung dan terlawan dengan hambatan samping sedang dan tata guna lahan komersil serta nilai rasio kendaraan tidak bermotor 0,0 maka nilai  $F_{sf}$  adalah 0,94.

#### 5.6.1.4 Kelandaian (Fg)

Kelandaian persimpangan untuk masing – masing kaki simpang adalah 0% atau datar, maka faktor penyesuaian kelandaian  $F_g = 1$ .

#### 5.6.1.5 Parkir (Fp)

Tidak ada ruang parkir *on street* pada masing – masing kaki simpang sehingga faktor penyesuaian parkir  $F_p = 1$ .

#### 5.6.1.6 Faktor Belok Kanan (Frt)

Perhitungan faktor belok kanan hanya dilakukan pada pendekat tipe terlindung menggunakan rumus IV.12.

$$Prt = \frac{Rt (smp/jam)}{Q (smp/jam)}$$

$$= \frac{170}{496}$$

$$= 0,34$$

Berikut nilai Frt pada masing – masing pendekat :

**Tabel V. 68** Faktor Penyesuaian Belok Kanan

| No | Kode Pendekat | Tipe Pendekat | Prt  | Fr <sub>t</sub> |
|----|---------------|---------------|------|-----------------|
| 1  | U             | P             | 0,34 | 1,09            |
| 2  | S             | P             | 0,00 | 1,00            |
| 3  | B             | P             | 0,50 | 1,13            |

Sumber : Hasil Analisis 2022

Nilai penyesuaian belok kanan dipengaruhi oleh rasio belok kanan, untuk pendekat selatan tidak terdapat arus belok kanan sehingga nilai Fr<sub>t</sub> 1,00.

#### 5.6.1.7 Faktor Belok Kiri (Fl<sub>t</sub>)

Perhitungan faktor belok kiri hanya dilakukan pada pendekat tipe terlindung menggunakan rumus IV.13.

$$Pl_t = \frac{lt \text{ (smp/jam)}}{Q \text{ (smp/jam)}}$$

$$= \frac{237}{508}$$

$$= 0,47$$

Berikut nilai Fl<sub>t</sub> pada masing – masing pendekat :

**Tabel V. 69** Faktor Penyesuaian Belok Kiri

| No | Kode Pendekat | Tipe Pendekat | Pl <sub>t</sub> | Fl <sub>t</sub> |
|----|---------------|---------------|-----------------|-----------------|
| 1  | U             | P             | 0,00            | 1,00            |
| 2  | S             | P             | 0,47            | 0,93            |
| 3  | B             | P             | 0,50            | 0,92            |

Sumber : Hasil Analisis 2022

Nilai penyusain belok kiri dipengaruhi oleh rasio belok kiri, untuk pendekatan utara tidak terdapat arus belok kanan sehingga nilai  $F_{it}$  1,00.

#### 5.6.1.8 Arus Jenuh ( $S_o$ )

Arus jenuh masing – masing pendekatan dihitung berdasarkan Rumus IV.10. perhitungan arus jenuh setelah penyesuaian dapat dilihat pada tabel berikut :

**Tabel V. 70** Arus Jenuh Setelah Penyesuaian

| No | Kode Pendekat | $S_o$ | $F_{cs}$ | $F_{sf}$ | $F_g$ | $F_p$ | $F_{rt}$ | $F_{lt}$ | S smp/jam |
|----|---------------|-------|----------|----------|-------|-------|----------|----------|-----------|
| 1  | U             | 2550  | 1        | 0.94     | 1     | 1     | 1,09     | 1,00     | 2583      |
| 2  | S             | 2550  | 1        | 0.94     | 1     | 1     | 1,00     | 0,93     | 2194      |
| 3  | B             | 2100  | 1        | 0.94     | 1     | 1     | 1,13     | 0,92     | 2033      |

Sumber : Hasil Analisis 2022

Dari hasil perhitungan arus jenuh yang dilakukan dihasilkan nilai arus jenuh terbesar pada pendekatan utara sebanyak 2583 smp/jam.

#### 5.6.1.9 Rasio Arus ( $FR$ )

Rasio arus diperoleh dari pembagian antara arus masing – masing pendekatan yang dibagi dengan arus jenuh setelah penyesuaian. Berikut contoh perhitungan arus pada salah satu kaki simpang:

$$\begin{aligned}
 FR &= Q/S \\
 &= 496 / 2583 \\
 &= 0,19
 \end{aligned}$$

Untuk perhitungan keseluruhan sebagai berikut :

**Tabel V. 71** Perhitungan Rasio Arus

| No | Kode Pendekat | Arus (Q) | Arus Jenuh Penyesuaian (S) | Rasio Arus |
|----|---------------|----------|----------------------------|------------|
| 1  | U             | 496      | 2583                       | 0,19       |
| 2  | S             | 508      | 2194                       | 0,23       |

| No | Kode Pendekat | Arus (Q) | Arus Jenuh Penyesuaian (S) | Rasio Arus |
|----|---------------|----------|----------------------------|------------|
| 3  | B             | 322      | 2033                       | 0,16       |

Sumber : Hasil Analisis 2022

Rasio arus terbesar terdapat pada pendekat selatan sebanyak 0,23. Pendekat utara sebanyak 0,19 dan rasio arus terkecil pada pendekat barat yaitu 0,16.

#### 5.6.1.10 Rasio Arus Simpang (IFR)

Perhitungan rasio arus simpang diperoleh dari jumlah nilai – nilai FR masing – masing fase.

$$\begin{aligned} \text{IFR} &= \sum(\text{FR}_{\text{CRIT}}) \\ &= 0,19 + 0,23 + 0,16 \\ &= 0,58 \end{aligned}$$

#### 5.6.1.11 Rasio Fase (PR)

Rasio fase merupakan perbandingan antara  $\text{FR}_{\text{CRIT}}$  dan IFR. Berikut perhitungan PR pada salah satu kaki simpang :

$$\begin{aligned} \text{PR} &= \text{FR}_{\text{CRIT}} / \text{IFR} \\ &= 0,19/0,58 \\ &= 0, \end{aligned}$$

Perhitungan lebih lengkapnya sebagai berikut :

**Tabel V. 72** Perhitungan Rasio Fase

| No | Kode Pendekat | Rasio Arus (FR) | Rasio Fase (IFR) |
|----|---------------|-----------------|------------------|
| 1  | U             | 0,19            | 0,33             |
| 2  | S             | 0,23            | 0,39             |
| 3  | B             | 0,16            | 0,28             |

Sumber : Hasil Analisis 2022

Rasio fase terbesar terdapat pada pendekat selatan sebanyak 0,39. Pendekat utara sebanyak 0,33 dan rasio fase terkecil pada pendekat barat yaitu 0,28.

## 5.6.2 Perhitungan Siklus

Dalam perhitungan siklus 3 fase ini digunakan berdasarkan metode pada MKJI 1997.

### 5.6.2.1 Waktu siklus sebelum penyesuaian

Waktu siklus diperoleh berdasarkan **Rumus IV.9** berikut ini perhitungannya:

$$\begin{aligned} \text{Cua} &= \frac{1.5 \times \text{LTI} + 5}{1 - \text{IFR}} \\ &= \frac{1.5 \times 18 + 5}{1 - 0,58} \\ &= 77 \text{ detik} \end{aligned}$$

### 5.6.2.2 Waktu Hijau (gi)

Perhitungan waktu hijau untuk masing – masing fase digunakan rumus IV.14. Berikut adalah contoh perhitungan pada salah satu pendekat :

$$\begin{aligned} \text{gi} &= (\text{Cua} - \text{LTI}) \times \text{PRI} \\ &= (77 - 18) \times 0,33 \\ &= 19 \text{ detik} \end{aligned}$$

Berikut hasil perhitungan waktu hijau untuk semua pendekat :

**Tabel V. 73** Waktu Hijau Pendekat

| No | Kode Pendekat | Rasio Fase (IFR) | Waktu Hijau (detik) |
|----|---------------|------------------|---------------------|
| 1  | U             | 0,33             | 19                  |
| 2  | S             | 0,39             | 23                  |
| 3  | B             | 0,28             | 16                  |

Sumber : Hasil Analisis 2022

Waktu hijau terbesar terjadi pada pendekat selatan yaitu 23 detik dan terkecil pada pendekat barat yaitu 16 detik.

### 5.6.2.3 Waktu Siklus Penyesuaian

Pada skenario dua fase ini maka waktu hijau yang digunakan adalah waktu hijau terbesar pada tipe pendekat yang sama.

$$\begin{aligned} c &= \Sigma g + \text{LTI} \\ &= (19 + 23 + 16) + 18 \end{aligned}$$

$$= 77 \text{ detik}$$

#### 5.6.2.4 Kapasitas (C)

Kapasitas dihitung berdasarkan **Rumus IV.16**. Berikut perhitungan kapasitas pada salah satu pendekat :

$$\begin{aligned} C &= S \times g/c \\ &= 2583 \times 19 / 77 \\ &= 646 \text{ smp/jam} \end{aligned}$$

Untuk perhitungan kapasitas seluruh pendekat sebagai berikut :

**Tabel V. 74** Perhitungan Nilai Kapasitas Pendekat

| No | Kode Pendekat | S (smp/jam) | Hijau (detik) | Waktu Siklus (detik) | Kapasitas (smp/jam) |
|----|---------------|-------------|---------------|----------------------|---------------------|
| 1  | U             | 2583        | 19            | 81                   | 646                 |
| 2  | S             | 2194        | 23            | 81                   | 664                 |
| 3  | B             | 2033        | 16            | 81                   | 428                 |

Sumber : Hasil Analisis 2022

Nilai kapasitas terbesar pada pendekat sebelah selatan sebesar 664 smp/jam dan terendah pada sebelah barat yaitu 428 smp/jam.

#### 5.6.2.5 Derajat Kejenuhan (DS)

Derajat kejenuhan dihitung menggunakan **Rumus IV.17**. Berikut conoth perhitungan pada salah satu pendekat :

**Tabel V. 75** Perhitungan Derajat Kejenuhan

| No | Kode Pendekat | Arus (Q) | Kapasitas (C) | Derajat Kejenuhan |
|----|---------------|----------|---------------|-------------------|
| 1  | U             | 496      | 646           | 0,76              |
| 2  | S             | 508      | 664           | 0,76              |
| 3  | B             | 322      | 428           | 0,75              |

Sumber : Hasil Analisis 2022

Derajat kejenuhan paling tinggi terdapat pada pendekat sebelah selatan dan utara sebesar 0,76. Nilai terendah terdapat pada pendekat sebelah barat yaitu 0,75.

### 5.6.3 Perhitungan Antrian dan Tundaan

#### 5.6.3.1 Panjang Antrian

Jumlah panjang antrian total berdasarkan rumus adalah

$$NQ = NQ_1 + NQ_2$$

Dimana  $NQ_1$  digunakan seperti pada **Rumus IV.18**. Untuk hasil perhitungan  $NQ_1$  dilihat pada tabel berikut :

**Tabel V. 76** Perhitungan Jumlah smp yang Tersisa pada Fase Sebelumnya

| No | Kode Pendekat | Kapasitas (C) | Derajat Kejenuhan (DS) | $NQ_1$ (m) |
|----|---------------|---------------|------------------------|------------|
| 1  | U             | 646           | 0,76                   | 1,14       |
| 2  | S             | 664           | 0,76                   | 1,11       |
| 3  | B             | 428           | 0,75                   | 1,00       |

Sumber : Hasil Analisis 2022

Untuk jumlah smp yang datang selama waktu merah ( $NQ_2$ ) dihitung berdasarkan **Rumus IV.19**. Berikut hasil perhitungan  $NQ_2$  pada masing – masing pendekat :

**Tabel V. 77** Perhitungan Jumlah smp yang Datang Selama Waktu Merah

| No | Kode Pendekat | Rasio Hijau (g/c) | Waktu Siklus (c) | DS   | Q   | $NQ_2$ |
|----|---------------|-------------------|------------------|------|-----|--------|
| 1  | U             | 0,25              | 77               | 0,76 | 496 | 9,72   |
| 2  | S             | 0,30              | 77               | 0,76 | 508 | 9,73   |
| 3  | B             | 0,21              | 77               | 0,75 | 322 | 6,38   |

Dari perhitungan  $NQ_1$  dan  $NQ_2$  diperoleh nilai  $NQ$ , yaitu sebagai berikut :

**Tabel V. 78** Perhitungan Jumlah Rata - Rata pada Awal Sinyal Hijau

| No | Kode Pendekat | NQ <sub>1</sub> | NQ <sub>2</sub> | NQ    |
|----|---------------|-----------------|-----------------|-------|
| 1  | U             | 1,14            | 9,72            | 10,85 |
| 2  | S             | 1,11            | 9,73            | 10,84 |
| 3  | B             | 1,00            | 6,38            | 7,38  |

Sumber : Hasil Analisis 2022

perhitungan NQ kemudian diperoleh panjang antrian menggunakan

**Rumus IV.20** sebagai berikut :

**Tabel V. 79** Perhitungan Panjang Antrian Kendaraan

| No | Kode Pendekat | NQ total | Lebar Masuk | Panjang Antrian (QL) |
|----|---------------|----------|-------------|----------------------|
| 1  | U             | 10,85    | 4,25        | 71                   |
| 2  | S             | 10,84    | 4,25        | 71                   |
| 3  | B             | 7,38     | 3,50        | 57                   |

Sumber : Hasil Analisis 2022

Panjang antrian terbesar terdapat pada pendekat sebelah utara dan selatan sebanyak 71 meter dan nilai paling rendah pada pendekat sebelah barat yaitu 57 meter.

#### 5.6.3.2 Angka Henti

Angka henti dihitung berdasarkan rumus IV.21 seperti pada contoh perhitungan dibawah ini :

$$\begin{aligned} NS &= 0,9 \times \frac{10,85}{496 \times 77} \times 3600 \\ &= 0,93 \text{ stop/smp} \end{aligned}$$

Untuk angka henti keseluruhan pendekat adalah sebagai berikut :

**Tabel V. 80** Perhitungan Angka Henti

| No | Kode Pendekat | $NQ_{tot}$ (smp) | Arus (Q) (smp/jam) | Waktu siklus (c) (detik) | Rasio NS (stop/smp) |
|----|---------------|------------------|--------------------|--------------------------|---------------------|
| 1  | U             | 10,85            | 496                | 77                       | 0,93                |
| 2  | S             | 10,84            | 508                | 77                       | 0,91                |
| 3  | B             | 7,38             | 322                | 77                       | 0,97                |

Sumber : Hasil Analisis 2022

Kemudian dilakukan perhitungan jumlah kendaraan terhenti menggunakan **Rumus IV.22**. Berikut merupakan contoh perhitungan jumlah kendaraan terhenti pada salah satu pendekat :

$$\begin{aligned} Nsv &= Q / NS \\ &= 496 / 0,93 \\ &= 463 \text{ smp/jam} \end{aligned}$$

Berikut hasil perhitungan jumlah kendaraan terhenti :

**Tabel V. 81** Perhitungan Jumlah Kendaraan Terhenti

| No | Kode Pendekat | Arus (Q) | Rasio NS | Nsv (smp/jam) |
|----|---------------|----------|----------|---------------|
| 1  | U             | 496      | 0,93     | 463           |
| 2  | S             | 508      | 0,91     | 462           |
| 3  | B             | 322      | 0,97     | 314           |

Sumber : Hasil Analisis 2022

Jumlah kendaraan terhenti pada pendekat sebelah utara adalah yang terbesar yaitu 463 smp/jam.

### 5.6.3.3 Tundaan

Perhitungan tundaan dilakukan untuk perhitungan tundaan lalu lintas dan tundaan geometri. Perhitungan tundaan lalu lintas dilakukan berdasarkan **Rumus IV.23**. Untuk hasil perhitungan dapat dilihat pada tabel berikut :

**Tabel V. 82** Perhitungan Tundaan Rata -Rata Lalulintas

| No | Kode Pendekat | Waktu Siklus (c) | DS   | Rasio Hijau | Kapasitas | NQ <sub>1</sub> | Tundaan (det/smp) |
|----|---------------|------------------|------|-------------|-----------|-----------------|-------------------|
| 1  | U             | 77               | 0,76 | 0,25        | 646       | 1,14            | 32,78             |
| 2  | S             | 77               | 0,76 | 0,30        | 664       | 1,11            | 30,08             |
| 3  | B             | 77               | 0,75 | 0,21        | 428       | 1,00            | 36,55             |

Sumber : Hasil Analisis 2022

Perhitungan dilanjutkan dengan perhitungan tundaan geometrik simpang menggunakan **Rumus IV.24**. Hasil perhitungan tundaan geometrik simpang adalah sebagai berikut :

**Tabel V. 83** Perhitungan Tundaan Geometrik

| No | Kode Pendekat | Psv  | Pt   | DG   |
|----|---------------|------|------|------|
| 1  | U             | 0,93 | 0,00 | 3,87 |
| 2  | S             | 0,91 | 0,47 | 3,89 |
| 3  | B             | 0,97 | 0,50 | 4,05 |

Sumber : Hasil Analisis 2022

Kemudian untuk perhitungan tundaan total rata – rata diperoleh dari penjumlahan tundaan rata – rata dengan tundaan geometrik. Berikut hasil perhitungan tundaan total rata –rata :

**Tabel V. 84** Perhitungan Tundaan Rata - Rata

| No | Kode Pendekat | DT (det/smp) | DG (det/smp) | D (det/smp) |
|----|---------------|--------------|--------------|-------------|
| 1  | U             | 32,78        | 3,87         | 36,65       |
| 2  | S             | 30,08        | 3,89         | 33,97       |

| No | Kode Pendekat | DT<br>(det/smp) | DG<br>(det/smp) | D (det/smp) |
|----|---------------|-----------------|-----------------|-------------|
| 3  | B             | 36,55           | 4,05            | 40,60       |

Sumber : Hasil Analisis 2022

Berikut merupakan tundaan total dan tundaan rata – rata Simpang Jakal KM 12,5 pada skenario IV :

**Tabel V. 85** Tundaan pada Skenario II Simpang Jakal KM 12,5

| No | Kode Pendekat                         | Arus (Q) | D          | Tundaan Total |
|----|---------------------------------------|----------|------------|---------------|
| 1  | U                                     | 496      | 36,6546,91 | 18180         |
| 2  | S                                     | 508      | 33,97      | 17257         |
| 3  | B                                     | 322      | 40,60      | 13073         |
|    | Tundaan Simpang Rata – Rata (det/smp) |          |            | 36,58         |

Sumber : Hasil Analisis 2022

Berdasarkan hasil perhitungan dihasilkan tundaan rata – rata sebesar 36,58 detik/smp.

#### 5.6.4 Kinerja Simpang Jakal KM 12,5

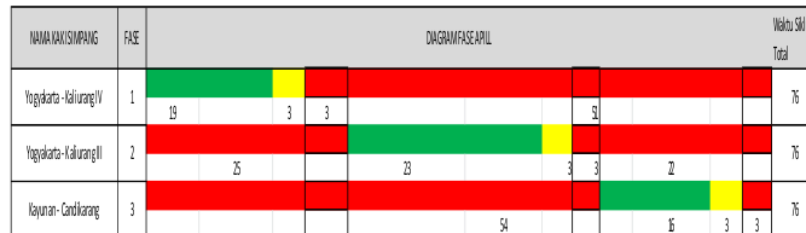
Berdasarkan analisis kinerja kondisi usulan IV berupa pengaturan dengan dua fase, dihasilkan kinerja Simpang Jakal KM 12,5 sebagai berikut:

**Tabel V. 86** Kinerja Simpang Jakal KM 12,5 Skenario IV

| Kode Pendekat | DS   | Antrian | D     | Tundaan Rata –Rata |
|---------------|------|---------|-------|--------------------|
| U             | 0,76 | 71      | 36,65 | 36,58 det/smp      |
| S             | 0,76 | 71      | 33,97 |                    |
| B             | 0,75 | 57      | 40,60 |                    |

Sumber : Hasil Analisis 2022

Setelah dilakukan analisa simpang bersinyal berikut ini disajikan gambar diagram fase pada usulan IV.



Sumber : Hasil Analisis 2022

**Gambar V. 7** Fase Lalulintas Kondisi Usulan IV

Pada diagram fase ini diberlakukan tiga fase untuk pendekat utara waktu hijau sebesar 19 detik, pendekat selatan sebesar 23 detik sedangkan pada pendekat barat waktu hijau sebanyak 16 detik.

## 5.7 Perbandingan Hasil Kinerja Usulan

Berdasarkan hasil analisis eksisting dan usulan I-IV, berikut perbandingan kinerja Simpang Jakal KM 12,5 :

### 5.7.1 Derajat Kejenuhan

Berikut adalah perbandingan kinerja Simpang Jakal KM 12,5 berdasarkan derajat kejenuhannya :

**Tabel V. 87** Perbandingan Derajat Kejenuhan Kondisi Eksisting dan Usulan

| Kode Pendekat | Eksisting | Usulan I | Usulan II | Usulan III | Usulan IV |
|---------------|-----------|----------|-----------|------------|-----------|
| U             | 1,01      | 0,52     | 0,81      | 0,50       | 0,76      |
| S             |           | 0,90     | 0,82      | 0,84       | 0,76      |
| B             |           | 0,89     | 0,79      | 0,85       | 0,75      |
| Rata - Rata   |           | 0,77     | 0,80      | 0,73       | 0,75      |

Sumber : Hasil Analisis 2022

Dilihat dari tabel perbandingan di atas secara keseluruhan derajat kejenuhan untuk masing – masing pendekatan menurun dari kondisi eksisting.

#### 5.7.2 Perbandingan Tundaan Simpang

Berikut disajikan perbandingan kinerja simpang berdasarkan tundaannya :

**Tabel V. 88** Perbandingan Tundaan Kondisi Eksisting dan Usulan

| Eksisting        | Usulan I         | Usulan II        | Usulan III       | Usulan IV        |
|------------------|------------------|------------------|------------------|------------------|
| 19,42<br>det/smp | 35,84<br>det/smp | 46,64<br>det/smp | 23,70<br>det/smp | 36,02<br>det/smp |

Sumber : Hasil Analisis 2022

Berdasarkan hasil analisis kondisi usulan, tundaan simpang mengalami kenaikan dari kondisi eksisting dikarenakan pemasangan APILL menyebabkan kendaraan yang melewati persimpangan akan berhenti terlebih dahulu menunggu giliran untuk memasuki persimpangan.

#### 5.8 Pemecahan Masalah

Setelah dilakukan analisis – analisis kondisi Simpang Jakal KM 12,5 diketahui bahwa berdasarkan jumlah kendaraan yang melintas pada jalan mayor maupun minor, Simpang Jakal KM 12,5 sudah memenuhi dan sudah seharusnya dilakukan pemasangan APILL. Kemudian, berdasarkan perbandingan kinerja usulan - usulan maka kinerja paling optimal adalah kinerja usulan III yaitu menggunakan APILL dengan dua fase disertai pelebaran mulut simpang sebesar 0,5 meter. Dengan menggunakan usulan III ini, tundaan simpang mengalami kenaikan dari kondisi eksisting dengan selisih sebesar 4,28 akan tetapi, masih dalam level of service (LOS) yang sama yaitu C. Sedangkan, derajat kejenuhan untuk masing – masing pendekatan seluruhnya mengalami penurunan dari kondisi eksisting dikarenakan adanya pelebaran mulut simpang. Meskipun level of service (LOS) tidak berubah pada kondisi eksisting dan kondisi usulan, tetapi dengan digunakannya usulan III ini alokasi pergerakan arus lalu lintas simpang menjadi lebih teratur dikarenakan adanya pengaturan fase serta dengan adanya penambahan lebar mulut simpang maka kapasitas simpang

bertambah. Selain itu, konflik antar kendaraan maupun konflik antara kendaraan dengan pejalan kaki pada simpang dapat berkurang serta memberi kesempatan bagi pejalan kaki untuk menyeberang sehingga dapat meningkatkan kelancaran dan keselamatan pada simpang.

Berdasarkan Peraturan Menteri Perhubungan Nomor 96 tahun 2015 tentang Pedoman Pelaksanaan Manajemen dan Rekayasa Lalu Lintas, tingkat pelayanan pada persimpangan, tingkat pelayanan yang diinginkan pada ruas jalan pada sistem jaringan jalan kolektor primer yaitu B. Maka jika dilihat berdasarkan peraturan tersebut, kondisi usulan terbaik belum dapat memenuhi standar tingkat pelayanan yang diinginkan. Usaha yang dapat dilakukan untuk mencapai standar pelayanan tersebut adalah berupa pelebaran mulut simpang yang lebih lebar lagi untuk meningkatkan kapasitas simpang sehingga tundaan pada simpang dapat berkurang. Namun, dalam penelitian ini kondisi di lapangan tidak memungkinkan untuk dilakukannya pelebaran lebih dari 0,5 meter seperti kondisi usulan. Maka dalam penelitian ini akan disarankan untuk dilakukan pelebaran pendekat simpang.

Dalam kondisi eksisting masyarakat dapat dengan bebas melewati simpang tanpa adanya pengaturan waktu fase, kemudian dengan adanya usulan berupa penerapan APILL dimana pergerakan kendaraan menjadi diatur berdasarkan waktu fase maka kondisi ini akan diterima oleh masyarakat dikarenakan pada kondisi eksisting masyarakat cenderung kesulitan untuk melewati simpang.

## BAB VI

42

### KESIMPULAN DAN SARAN

#### 6.1 Kesimpulan

Berdasarkan hasil analisa yang telah dilakukan maka dapat disimpulkan beberapa kesimpulan sebagai berikut :

- 6.1.1 Berdasarkan hasil survey dan analisis yang telah dilakukan dihasilkan kinerja simpang yang kurang baik pada Simpang Jakal KM 12,5 dengan nilai derajat kejenuhan 1,01, tundaan 19,42 det/smp, dan peluang antrian sebesar 40,93% sehingga tingkat pelayanan Simpang Jakal KM 12,5 berdasarkan PM Nomor 96 tahun 2015 pada kondisi saat ini adalah C.
- 6.1.2 Berdasarkan analisis yang telah dilakukan, tipe pengendalian Simpang Jakal KM 12,5 saat ini berupa simpang tidak bersiyal sudah tidak sesuai dengan volume lalu lintas yang melewatinya. Tipe pengendalian simpang yang sesuai dengan volume lalu lintas saat ini yaitu simpang bersinyal dengan APILL.
- 6.1.3 Dari analisis yang telah dilakukan dapat diketahui tingkat pelayanan Simpang Jakal KM 12,5. Pada usulan I berupa pengaturan simpang dengan penggunaan dua fase dihasilkan tundaan rata – rata sebesar 35,84 detik/smp sehingga tingkat pelayanan simpang mengalami penurunan nilai kinerja dari C menjadi D. Pada usulan II dengan pengaturan simpang menggunakan tiga fase dihasilkan tundaan rata – rata sebesar 46,64 detik/smp yang berarti tingkat pelayanan simpang mengalami penurunan nilai dari C menjadi E. Pada usulan III berupa pengaturan dua fase disertai pelebaran mulut simpang sebesar 0,5 meter dihasilkan tundaan 23,70 detik/smp yang artinya tingkat pelayanan simpang tetap dari kondisi eksisting yaitu dengan nilai C. Sedangkan, pada perhitungan usulan IV dimana dilakukan pengaturan tiga fase disertai pelebaran mulut simpang sebesar 0,5 meter dihasilkan tundaan rata – rata sebesar 36,58 detik/smp.
- 6.1.4 Berdasarkan hasil perhitungan yang dilakukan pada seluruh kondisi baik eksisting, usulan I, usulan II, usulan III, maupun usulan IV maka usulan yang paling baik untuk diterapkan pada Simpang Jakal KM 12,5 ini adalah

usulan III yaitu berupa pemasangan alat pengendali isyarat lalu lintas dengan pengaturan dua fase disertai pelebaran mulut simpang sebesar 0,5 meter dengan memanfaatkan bahu jalan. Dengan menerapkan usulan ini maka terjadi penurunan derajat kejenuhan rata – rata yang semula 1,01 menjadi 0,72 sedangkan tundaan meningkat dari 19,42 detik/smp menjadi 23,70 detik/smp dengan tingkat pelayanan tetap yaitu C dikarenakan adanya hambatan atau perlambatan kendaraan pada saat lampu merah menyebabkan kendaraan berhenti untuk menunggu waktu hijau. Namun demikian dengan tipe pengendalian simpang yang sudah sesuai dengan kondisi lalu lintas yaitu berupa penerapan alat pengendali isyarat lalu lintas maka pergerakan kendaraan pada simpang menjadi lebih teratur dan konflik antar kendaraan saat melewati persimpangan, konflik antara pejalan kaki dan kendaraan pada simpang dapat berkurang serta memberi kesempatan bagi pejalan kaki untuk menyeberang sehingga dapat meningkatkan kelancaran dan keselamatan pada simpang.

## 6.2 Saran

Berdasarkan kesimpulan yang telah diuraikan sebelumnya maka saran yang dapat diberikan adalah sebagai berikut :

- 6.2.1 Untuk dapat dilakukan perubahan tipe pengendalian simpang pada Simpang Jakal KM 12,5 menjadi simpang bersinyal agar sesuai dengan volume lalu lintas saat ini.
- 6.2.2 Perlu adanya kajian secara periodik mengenai kinerja Simpang Jakal KM 12,5 untuk mengantisipasi terjadinya ketidaksesuaian tipe pengendalian simpang mengingat volume lalu lintas yang terus meningkat seiring dengan tingginya pertumbuhan kendaraan di Kabupaten Sleman.
- 6.2.3 Perlu dilakukan pendekatan khusus dari pemerintah untuk melakukan pembebasan lahan di sekitar persimpangan untuk perencanaan perubahan geometrik sehingga dapat meningkatkan kapasitas persimpangan untuk mengimbangi peningkatan arus lalu lintas yang melewati Simpang Jakal KM 12,5.

## DAFTAR PUSTAKA

- \_\_\_\_\_, 1993, Peraturan Pemerintah Nomor 43 Tentang Prasarana Jalan dan Lalu Lintas Jalan
- \_\_\_\_\_, 1997, Manual Kapasitas Jalan Indonesia, Bina Marga, Jakarta
- \_\_\_\_\_, 2015, Peraturan Menteri Perhubungan Nomor 96 Tahun 2015 Tentang Pedoman Pelaksanaan Kegiatan Manajemen dan Rekayasa Lalu Lintas, Jakarta
- AASHTO. 2001. *A Policy on Geometric Design of Highways and Streets. American Association of State Highway and Transportation Officials.*  
www.transportation.org.
- Abubakar, Iskandar, Ahmad Yani, and Edy Sutiono. 1995. "Menuju Lalu Lintas Dan Angkutan Jalan Yang Tertib," 169. <https://compress-pdf.eamy.info/>.
- Khisty, C Jotin, and B. Kent Lall. 2005. *Transportation Engineering an Introduction 3rd Edition Terj. Fidel Miro.*
- Pakpahan, Riski, (2019). Optimalisasi Kinerja Simpang di Kabupaten Pesisir Barat (Studi Kasus Simpang Tugu Marlin, Simpang SD 1 Pasar Krui dan Simpang Rawas). Manajemen Transportasi Jalan : Sekolah Tinggi Transportasi Darat.
- Manurung, Hilda Clarita, (2021). Peningkatan Kinerja Lalulintas Simpang Perbaungan – Pantai Cermin Kabupaten Serdang Bedagai. Manajemen Transportasi Jalan : Sekolah Tinggi Transportasi Darat.

**Lampiran 1** Formulir USIG – I Simpang Jakal KM 12,5

|                              |                       |  |                       |                  |             |                |                    |                             |              |                                |      |
|------------------------------|-----------------------|--|-----------------------|------------------|-------------|----------------|--------------------|-----------------------------|--------------|--------------------------------|------|
| <b>SIMPANG TAK BERSINYAL</b> |                       | Tanggal                                      | Ditangani oleh        |                  |             |                |                    |                             |              |                                |      |
|                              |                       | Kota   | Seman                 | Provinsi         |             |                |                    |                             |              |                                |      |
|                              |                       | Jalan utama                                  | J. Kalurang           | DIY              |             |                |                    |                             |              |                                |      |
| Formulir USIG-1 - Geometri   |                       | Jalan simpang                                | Kayunan - Candikarang |                  |             |                |                    |                             |              |                                |      |
| - Arus lalu lintas           |                       | Soal   | Periode               |                  |             |                |                    |                             |              |                                |      |
| Geometri simpang             |                       | Arus lalu lintas                             |                       |                  |             |                |                    |                             |              |                                |      |
|                              |                       |  |                       |                  |             |                |                    |                             |              |                                |      |
| Median Jalan                 | TA                    |  |                       |                  |             |                |                    |                             |              |                                |      |
| 1                            | KOMPOSI LALU LINTAS   | LV %   | HV %                  | MC %             | Faktor smp  | Faktor k       | Kend. Tak bermotor |                             |              |                                |      |
|                              | ARUS LALU LINTAS      | Light vehicle LV                             |                       | Heavy vehicle HV |             | Motorcycles MC |                    | Kendaraan bermotor total MV | Rasio belok  | Kend. Tak bermotor UM kend/jam |      |
|                              | Pendekat              | emp = 1                                      |                       | emp = 1.3        |             | emp = 0.5      |                    |                             |              |                                |      |
|                              | (1)                   | kend/jam (3)                                 | smp/jam (4)           | kend/jam (5)     | smp/jam (6) | kend/jam (7)   | smp/jam (8)        | kend/jam (9)                | smp/jam (10) | (11)                           | (12) |
| 2                            | Jl. Utama A (U)       | 0  | 0                     | 0                | 0           | 0              | 0                  | 0                           | 0            | 0.00                           | 0    |
| 3                            | ST                    | 170  | 170                   | 26               | 34          | 613            | 307                | 809                         | 510          |                                | 0    |
| 4                            | RT                    | 117  | 117                   | 0                | 0           | 263            | 132                | 380                         | 249          | 0.33                           | 0    |
| 5                            | Total                 | 287  | 287                   | 26               | 34          | 876            | 438                | 1189                        | 759          |                                | 0    |
| 6                            | Jl. Utama C (S)       | 150  | 150                   | 21               | 27          | 300            | 150                | 471                         | 327          | 0.41                           | 0    |
| 7                            | ST                    | 107  | 107                   | 19               | 25          | 697            | 349                | 823                         | 480          |                                | 0    |
| 8                            | RT                    | 0  | 0                     | 0                | 0           | 0              | 0                  | 0                           | 0            | 0.00                           | 0    |
| 9                            | Total                 | 257  | 257                   | 40               | 52          | 997            | 499                | 1294                        | 808          |                                | 0    |
| 10                           | Jl. Utama total A+C   | 544  | 544                   | 66               | 86          | 1873           | 937                | 2483                        | 1566         |                                | 0    |
| 11                           | Jl. Simpang B         | 0  | 0                     | 0                | 0           | 0              | 0                  | 0                           | 0            | #DIV/0!                        | 0    |
| 12                           | ST                    | 0  | 0                     | 0                | 0           | 0              | 0                  | 0                           | 0            |                                | 0    |
| 13                           | RT                    | 0  | 0                     | 0                | 0           | 0              | 0                  | 0                           | 0            | #DIV/0!                        | 0    |
| 14                           | Total                 | -  | -                     | -                | -           | -              | -                  | -                           | -            |                                | 0    |
| 15                           | Jl. Simpang D (Bara)  | 98   | 98                    | 0                | 0           | 311            | 156                | 409                         | 254          | 0.49                           | 0    |
| 16                           | ST                    | 0  | 0                     | 0                | 0           | 0              | 0                  | 0                           | 0            |                                | 0    |
| 17                           | RT                    | 95   | 95                    | 0                | 0           | 337            | 169                | 432                         | 264          | 0.51                           | 0    |
| 18                           | Total                 | 193  | 193                   | 0                | 0           | 648            | 324                | 841                         | 517          |                                | 0    |
| 19                           | Jl. Simpang total B+D | 193  | 193                   | -                | -           | 648            | 324                | 841                         | 517          |                                | 0    |
| 20                           | Utama + Simpang       | 248  | 248                   | 21               | 27.3        | 611            | 306                | 880                         | 581          | 0.28                           | 0    |
| 21                           | ST                    | 277  | 277                   | 45               | 59          | 1.310          | 655                | 1.632                       | 991          |                                | 0    |
| 22                           | RT                    | 212  | 212                   | 0                | 0           | 600            | 300                | 812                         | 512          | 0.25                           | 0    |
| 23                           | Utama + Simpang total | 737  | 737                   | 66               | 86          | 2.521          | 1.261              | 3.324                       | 2.083        |                                | 0    |
| 24                           |                       | Rasio J. Simpang/(Jl. Utama + simpang) total |                       |                  |             | <b>0.253</b>   |                    |                             |              | UM/MV                          | -    |

**Lampiran 2** Formulir USIG – II Simpang Jakal KM 12,5

|                                      |  |               |                       |                  |          |
|--------------------------------------|--|---------------|-----------------------|------------------|----------|
| <b>SIMPANG TAK BERSINYAL ANALISA</b> |  | Tanggal       |                       | Ditangani oleh   |          |
|                                      |  | Kota          | Sieman                | Ukuran kota      | 1.08jt   |
|                                      |  | Jalan utama   | Jl. Kalurang          | Lingkungan jalan | KOMERSIL |
|                                      |  | Jalan simpang | Kayunan - Candikarang | Hambatan samping | SEDANG   |
|                                      |  | Soal          |                       | Periode          |          |

1. Lebar pendekatan dan tipe simpang

| Pilihan | Jumlah lengan simpang | Lebar pendekatan (m) |     |     |             |     |     |      | Lebar pendekatan rata-rata $W_i$ (8) | Jumlah lajur Gambar C-1;2 |                  | Tipe simpang<br>Tbl C-1:1 (11) |
|---------|-----------------------|----------------------|-----|-----|-------------|-----|-----|------|--------------------------------------|---------------------------|------------------|--------------------------------|
|         |                       | Jalan Mayor          |     |     | Jalan Minor |     |     |      |                                      | Jalan simpang (9)         | Jalan utama (10) |                                |
|         |                       | Wa                   | Wc  | Wac | Wb          | Wd  | Wbd |      |                                      |                           |                  |                                |
| 0       | (1)                   | (2)                  | (3) | (4) | (5)         | (6) | (7) | 3.50 | 2                                    | 2                         | 322              |                                |
| 1       |                       |                      |     |     |             |     |     |      |                                      |                           |                  |                                |
| 2       |                       |                      |     |     |             |     |     |      |                                      |                           |                  |                                |
| 3       |                       |                      |     |     |             |     |     |      |                                      |                           |                  |                                |
| 4       |                       |                      |     |     |             |     |     |      |                                      |                           |                  |                                |

2. Kapasitas

| Pilihan | Kapasitas dasar $C_0$ smp/jam<br>Tbl. C-2:1 (20) | Faktor penyesuaian kapasitas (F)                    |   |   |   |  |   |   | Kapasitas sebenarnya $C$ smp/jam (28) |
|---------|--|---|---|---|---|--|---|---|---------------------------------------|
|         |  | Lebar pendekatan rata-rata $F_w$<br>Gbr. C-3:1 (21) | Median jalan utama $F_m$<br>Tbl. C-4:1 (22) | Ukuran kota $F_{cs}$<br>Tbl. C-5:1 (23) | Hambatan samping $F_{fsu}$<br>Tbl. C-6:1 (24) | Belok kiri $F_{lk}$<br>Gbr. C-7:1 (25) | Belok kanan $F_{rk}$<br>Gbr. C-8:1 (26) | Rasio simpang/total $F_{mi}$<br>Gbr. C-9:1 (27) |                                       |
|         |  |   |   |   |   |  |   |   |                                       |
| 0       | 2700   | 0.996   | 1   | 1                                       | 0.940   | 1.017                                  | 0.832                                   | 0.97  | 2.064                                 |
| 1       |  |   |   |   |   |  |   |   |                                       |
| 2       |  |   |   |   |   |  |   |   |                                       |
| 3       |  |   |   |   |   |  |   |   |                                       |
| 4       |  |   |   |   |   |  |   |   |                                       |

3. Kinerja lalu lintas

| Pilihan | Arus lalu-lintas $Q$ smp/jam USIG-1<br>Brs 23-kol 10 (30) | Derajat kejenuhan $DS = Q/C$ (30)/(28)<br>(31) | Tundaan rata-rata $D$ det/smp  |                                    |                              | Peluang antrian $QP\%$<br>Gbr F:1 (35) | Sasaran (36) |
|---------|---|--|--------------------------------|------------------------------------|------------------------------|--|--------------|
|         |   |  | Total $D_{Hl}$<br>Gbr E:1 (32) | Jl. Utama $D_{ma}$<br>Gbr E:2 (33) | Jl. Simpang $D_{mi}$<br>(34) |  |              |
|         |   |  |                                |                                    |                              |  |              |
| 0       | 2.083   | 1.01   | 15.42                          | 10.77                              | 29.54                        | 40.93 — 131.35                         | $DS > 0.85$  |
| 1       |   |  |                                |                                    |                              |  |              |
| 2       |   |  |                                |                                    |                              |  |              |
| 3       |   |  |                                |                                    |                              |  |              |
| 4       |   |  |                                |                                    |                              |  |              |

**Lampiran 3** Formulir SIG – I Simpang Jakal KM 12,5 Usulan I

| SIMPANG BERSINYAL             |                          | Tanggal :                       |  |                    |                     |                               |                    |                    |       |          |
|-------------------------------|--------------------------|---------------------------------|--|--------------------|---------------------|-------------------------------|--------------------|--------------------|-------|----------|
| Formulir SIG-I                |                          | Kabupaten : SLEMAN              |  |                    |                     |                               |                    |                    |       |          |
| GEOMETRI                      |                          | Simpang : Simpang Jakal KM 12,5 |  |                    |                     |                               |                    |                    |       |          |
| PENGATURAN LALU LINTAS        |                          | Ukuran Kota : 1,08 JT           |  |                    |                     |                               |                    |                    |       |          |
|                               |                          | Periode :                       |  |                    |                     |                               |                    |                    |       |          |
| <b>FASESINYAL YANG ADA</b>    |                          |                                 |  |                    |                     |                               |                    |                    |       |          |
|                               |                          |                                 | Waktu Siklus (derak)<br>C : 123<br><br>Waktu Hilang Total<br>LTI = $\sum IG =$ 123 |                    |                     |                               |                    |                    |       |          |
| Hijau<br>Merah<br>Kuning      | Hijau<br>Merah<br>Kuning | Hijau<br>Merah<br>Kuning        | Hijau<br>Merah<br>Kuning   |                    |                     |                               |                    |                    |       |          |
| <b>Gambar Diagram Fase :</b>  |                          |                                 |  |                    |                     |                               |                    |                    |       |          |
| NAMA KAKI SIMPANG             | FASE                     | DIAGRAM FASE APILL              |  |                    |                     |                               |                    | Waktu Siklus Total |       |          |
| Jl. Yogyakarta - Kalurung III | 1                        | 86                              |  | 3                  | 3                   | 31                            |                    | 123                |       |          |
| Jl. Yogyakarta - Kalurung IV  |                          | 92                              |  |                    | 25                  | 3                             | 3                  | 123                |       |          |
| <b>KONDISI LAPANGAN</b>       |                          |                                 |  |                    |                     |                               |                    |                    |       |          |
| Kode Pendekat                 | Tipe Lingkungan jalan    | Hambatan Sampung                | Median (m)   | Kelandaian (+/- %) | Belok Kiri Langsung | Jarak ke Kendaraan Parkir (m) | Lebar Pendekat (m) |                    |       |          |
|                               |                          |                                 |  |                    |                     |                               | Pendekat Wa        | W masuk            | W Ibr | W keluar |
| 1                             | 2                        | 3                               | 4  | 5                  | 6                   | 7                             | 8                  | 9                  | 10    | 11       |
| U                             | Komersial                | SEDANG                          | TIDAK  | 0                  | TIDAK               | 0                             | 7,5                | 3,75               | 0     | 3,75     |
| S                             | Komersial                | SEDANG                          | TIDAK  | 0                  | TIDAK               | 0                             | 7,5                | 3,75               | 0     | 3,75     |
| B                             | Komersial                | SEDANG                          | TIDAK  | 0                  | TIDAK               | 0                             | 6                  | 3                  | 0     | 3        |

Lampiran 4 Formulir SIG – II Simpang Jakal KM 12,5 Usulan I

| SIMPANG BERSINYAL |         | Tanggal :                              |  | Ditangani oleh                             |  |                   |                |                          |           |                |         |                  |                |              |      |       |       |
|-------------------|---------|--|--|--|--|-------------------|----------------|--------------------------|-----------|----------------|---------|------------------|----------------|--------------|------|-------|-------|
| Formulir SIG-II   |         | Kota SLEMAN                            |  |  |  |                   |                |                          |           |                |         |                  |                |              |      |       |       |
| ARUS LALU LINTAS  |         | Simpang : Simpang Jakal KM 12,5        |  |  |  |                   |                |                          |           |                |         |                  |                |              |      |       |       |
|                   |         | ARUS KENDARAAN BERMOTOR (MV)           |  |  |  |                   |                |                          |           |                |         | END-TAK BERMOTOR |                |              |      |       |       |
| Kode              | Arah    | Kendaraan Ringan (LV)                  |  | Kendaraan Berat (HV)                       |  | Sepeda Motor (MC) |                | Kendaraan Bermotor total |           | Rasio berbelok | Arus UM | Rasio UM/MV      |                |              |      |       |       |
|                   |         | emp terlindung = 1<br>emp terlawan = 1 | emp terlindung = 1.3<br>emp terlawan = 1.3 | emp terlindung = 0.2<br>emp terlawan = 0.4 | emp terlindung = 0.2<br>emp terlawan = 0.4 | kend/ jam         | emp terlindung | emp terlawan             | kend/ jam |                |         |                  | emp terlindung | emp terlawan |      |       |       |
| (1)               | (2)     | (3)                                    | (4)  | (5)  | (6)  | (7)               | (8)            | (9)                      | (10)      | (11)           | (12)    | (13)             | (14)           | (15)         | (16) | (17)  | (18)  |
| A (U)             | LT/LTOR | 0                                      | 0  | 0  | 0  | 0                 | 0              | 0                        | 0         | 0              | 231     | 0                | 0              | 0.00         | 0    | 0.000 |       |
|                   | ST      | 170                                    | 170  | 170  | 26   | 34                | 613            | 123                      | 245       | 139            | 326     | 449              |                |              |      | 0     | 0.000 |
|                   | RT      | 117                                    | 117  | 117  | 0  | 0                 | 263            | 53                       | 105       | 303            | 170     | 222              | 0.33           |              |      | 0     | 0.000 |
|                   | Total   | 287                                    | 287  | 287  | 26   | 34                | 876            | 175                      | 350       | 673            | 496     | 671              |                |              |      | 0     | 0.000 |
| B (S)             | LT/LTOR | 150                                    | 150  | 150  | 21   | 27                | 300            | 60                       | 120       | 1,097          | 237     | 297              | 0.42           |              |      | 0     | 0.000 |
|                   | ST      | 107                                    | 107  | 107  | 19   | 25                | 697            | 139                      | 279       | 269            | 271     | 411              |                |              |      | 0     | 0.000 |
|                   | RT      | 0                                      | 0  | 0  | 0  | 0                 | 0              | 0                        | 0         | 0              | 0       | 0                | 0.00           |              |      | 0     | #DT/0 |
|                   | Total   | 257                                    | 257  | 257  | 40   | 52                | 997            | 199                      | 399       | 1,366          | 508     | 708              |                |              |      | 0     | 0.000 |
| C (T)             | LT/LTOR | 0                                      | 0  | 0  | 0  | 0                 | 0              | 0                        | 0         | 0              | 0       | 0                | 0.00           |              |      | 0     | #DT/0 |
|                   | ST      | 0                                      | 0  | 0  | 0  | 0                 | 0              | 0                        | 0         | 0              | 0       | 0                | 0              |              |      | 0     | #DT/0 |
|                   | RT      | 0                                      | 0  | 0  | 0  | 0                 | 0              | 0                        | 0         | 0              | 0       | 0                | 0.00           |              |      | 0     | #DT/0 |
|                   | Total   | 0                                      | 0  | 0  | 0  | 0                 | 0              | 0                        | 0         | 0              | 0       | 0                |                |              |      | 0     | #DT/0 |
| D (B)             | LT/LTOR | 98                                     | 98   | 98   | 0  | 0                 | 311            | 62                       | 124       | 221            | 160     | 222              | 0.50           |              |      | 0     | 0.000 |
|                   | ST      | 0                                      | 0  | 0  | 0  | 0                 | 0              | 0                        | 0         | 488            | 0       | 0                |                |              |      | 0     | 0.000 |
|                   | RT      | 95                                     | 95   | 95   | 0  | 0                 | 337            | 67                       | 135       | 626            | 162     | 230              | 0.50           |              |      | 0     | 0.000 |
|                   | Total   | 193                                    | 193  | 193  | 0  | 0                 | 648            | 130                      | 259       | 1,335          | 323     | 452              |                |              |      | 0     | 0.000 |

Lampiran 5 Formulir SIG - IV Simpang Jakal KM 12,5 Usulan I

| SIMPANG BERSINYAL   |                            | Tanggal        | Ditangani oleh           |               |           |                   |                              |             |                     |                 |            |                          |               |                        |                 |                 |                   |      |      |      |      |      |
|---|----------------------------|----------------|--------------------------|---------------|-----------|-------------------|------------------------------|-------------|---------------------|-----------------|------------|--------------------------|---------------|------------------------|-----------------|-----------------|-------------------|------|------|------|------|------|
| Formulir SIG-IV: PENENTUAN WAKTU SINYAL DAN KAPASITAS   |                            | Kota           |                          |               |           |                   |                              |             |                     |                 |            |                          |               |                        |                 |                 |                   |      |      |      |      |      |
| Ditribusi arus lalu lintas (smp/jam)  |                            | Simpang        |                          |               |           |                   |                              |             |                     |                 |            |                          |               |                        |                 |                 |                   |      |      |      |      |      |
| Fase 1  |                            | Fase 2         |                          | Fase 3        |           |                   |                              |             |                     |                 |            |                          |               |                        |                 |                 |                   |      |      |      |      |      |
|   |                            |                |                          |               |           |                   |                              |             |                     |                 |            |                          |               |                        |                 |                 |                   |      |      |      |      |      |
| Kode pen-dekat  | Hijau dalam fase dekat no. | Tipe pen-dekat | Rasio kendaraan berbebek | Arus RT smp/j | Arah dari | Lebar efektif (m) | Nilai dasar smp/j hijau kota | Ukuran kota | Semua Tipe Pendekat | Hanya tipe Beok | Nilai di P | Arus lalu lintas smp/jam | Rasio arus FR | Rasio fase PR = Frcrit | Waktu hijau det | Kapasitas smp/j | Derajat kejenuhan |      |      |      |      |      |
|   |                            |                |                          |               |           |                   |                              |             |                     |                 |            |                          |               |                        |                 |                 |                   |      |      |      |      |      |
| (1)   | (2)                        | (3)            | (4)                      | (5)           | (6)       | (7)               | (8)                          | (9)         | (10)                | (11)            | (12)       | (13)                     | (14)          | (15)                   | (16)            | (17)            | (18)              | (19) | (20) | (21) | (22) | (23) |
| U   | 1                          | 0              | 0.00                     | 0.00          | 0.33      | 222               | 0                            | 3.75        | 1949                | 1.00            | 0.94       | 1.00                     | 1.00          | 1.00                   | 1.00            | 1832.06         | 671               | 0.37 | 0.45 | 50   | 745  | 0.90 |
| S   | 1                          | 0              | 0.00                     | 0.42          | 0.00      | 0                 | 222                          | 3.75        | 1195                | 1.00            | 0.94       | 1.00                     | 1.00          | 1.00                   | 1.00            | 1123.3          | 708               | 0.63 | 0.77 | 86   | 786  | 0.90 |
| T   | 0                          | 0              | 0.00                     | 0.00          | 0.00      | 0                 | 0                            | 0           | 0                   | 0.00            | 0.00       | 0.00                     | 0.00          | 0.00                   | 0.00            | 0               | 0                 | 0.00 | 0.00 | 0    | 0    | 0.00 |
| B   | 2                          | P              | 0.00                     | 0.50          | 0.50      | 162               | 0                            | 3           | 1800                | 1.00            | 0.94       | 1.00                     | 1.00          | 1.13                   | 0.92            | 1761.43         | 323               | 0.18 | 0.23 | 25   | 358  | 0.90 |
| <p><b>12 Waktu siklus pra penyesuaian C ua (det) 123</b></p> <p><b>LTI (det) Waktu siklus disesuaikan ( C ) (det) 123</b></p> |                            |                |                          |               |           |                   |                              |             |                     |                 |            |                          |               |                        |                 |                 |                   |      |      |      |      |      |
| <p><b>IFR = 0.81</b></p> <p><b>E Frcrit</b></p>   |                            |                |                          |               |           |                   |                              |             |                     |                 |            |                          |               |                        |                 |                 |                   |      |      |      |      |      |

## Lampiran 6 Formulir SIG - V Simpang Jakal KM 12,5 Usulan I (KAJI)

DOSBox Status Window  
 DOSBox 0.74-3, Cpu speed: 3000 cycles, Frameskip 0, Program: KAJI

File Begin Forms Video Info Manual Help  
 Form SIG-5, results

KAJI - SIGNALISED INTERSECTIONS  
 Form SIG-5: QUEUE LENGTH, STOP RATE, DELAY  
 Purpose : Operation

City : SLEMAN  
 Intersection: SLEMAN  
 Cycle time : 123.0 sec  
 Prob. for overloading: %

| Approach code (1) | Flow (pcu/h) Qentry excl. LTOR (2) | Q Used in SIG-4 (3) | Capacity (4) | Degree of saturation DS=Q/C (5) | Green ratio gr=g/c (6) | No of queuing vehicles (pcu) (7) (8) |      | Total NQ = NQ1+NQ2 (9) | NQmax (10) | Queue Leng (11) |
|-------------------|------------------------------------|---------------------|--------------|---------------------------------|------------------------|--------------------------------------|------|------------------------|------------|-----------------|
| H2                | U                                  | 671                 | 671          | 1201                            | 0.524                  | 0.699                                | 0.05 | 10.00                  | 10.93      | 15              |
| S2                | S                                  | 708                 | 708          | 785                             | 0.902                  | 0.699                                | 3.74 | 19.70                  | 23.43      | 33              |
| H2                | B                                  | 322                 | 322          | 358                             | 0.899                  | 0.203                                | 3.35 | 10.73                  | 14.08      | 20              |

D:\KAJIN\FASE.KJI  
 Desired overloading probability. Planning/Design: < 5%, Operation: 5-10%

DOSBox 0.74-3, Cpu speed: 3000 cycles, Frameskip 0, Program: KAJI

File Begin Forms Video Info Manual Help  
 Form SIG-5, results

SLEMAN  
 SIMPANG JAKAL KM 12,5

Date :  
 Handled by:  
 Case :  
 Period :

23.0 sec  
 5.00 %

| Total Q = 1+NQ2 (8) | NQmax (9) | Queue Length Q1 (m) (10) | Stop Rate NS stops /pcu (11) | No. of stops NSU pcu/h (12) | Delay                               |                                       |                                 |                          |
|---------------------|-----------|--------------------------|------------------------------|-----------------------------|-------------------------------------|---------------------------------------|---------------------------------|--------------------------|
|                     |           |                          |                              |                             | Avg. Delay Traffic DT(sec/pcu) (13) | Avg. Delay Geometric DG(sec/pcu) (14) | Avg. Delay D=DT+DG sec/pcu (15) | Tot Delay D * Q sec (16) |
| 10.93               | 15        | 80                       | 0.429                        | 288                         | 8.92                                | 2.89                                  | 11.81                           | 7926                     |
| 23.43               | 33        | 176                      | 0.872                        | 617                         | 32.19                               | 3.85                                  | 36.04                           | 25517                    |
| 14.08               | 20        | 133                      | 1.151                        | 371                         | 81.45                               | 4.00                                  | 85.45                           | 27516                    |

D:\KAJIN\FASE.KJI

DOSBox 0.74-3, Cpu speed: 3000 cycles, Frameskip 0, Program: KAJI

File Begin Forms Video Info Manual Help  
 Form SIG-5, results

| Approach code             | Flow (pcu/h) | Q Used in SIG-4 | Capacity | Degree of saturation | Green ratio | No of queuing vehicles (pcu)      | Queue Length | Stop Rate NS stops /pcu | No. of stops NSU pcu/h | Avg. Delay Traffic DT(sec/pcu) | Avg. Delay Geometric DG(sec/pcu) | Avg. Delay D=DT+DG sec/pcu | Tot Delay D * Q sec |
|---------------------------|--------------|-----------------|----------|----------------------|-------------|-----------------------------------|--------------|-------------------------|------------------------|--------------------------------|----------------------------------|----------------------------|---------------------|
|                           |              |                 |          |                      |             |                                   |              |                         |                        |                                |                                  |                            |                     |
|                           |              |                 |          |                      |             |                                   |              |                         |                        |                                |                                  |                            |                     |
|                           |              |                 |          |                      |             |                                   |              |                         |                        |                                |                                  |                            |                     |
|                           |              |                 |          |                      |             |                                   |              |                         |                        |                                |                                  |                            |                     |
| Total:                    |              |                 |          |                      | 1276        | Total delay(sec):                 |              | 60959                   |                        |                                |                                  |                            |                     |
| Mean number of stops/pcu: |              |                 |          |                      | 0.75        | Mean intersection delay(sec/pcu): |              | 35.84                   |                        |                                |                                  |                            |                     |

D:\KAJIN\FASE.KJI  
 Desired overloading probability. Planning/Design: < 5%, Operation: 5-10%

### Lampiran 7 Formulir SIG - I Simpang Jakal KM 12,5 Usulan II

|   |                                 |
|---|---------------------------------|
| <b>SIMPANG BERSINYAL</b><br><b>Formulir SIG-I</b><br><b>GEOMETRI</b><br><b>PENGATURAN LALU LINTAS</b> | Tanggal :                       |
|   | Kabupaten : SLEMAN              |
|   | Simpang : Simpang Jakal KM 12,5 |
|   | Ukuran Kota : 1,08 j            |
| Periode :   |                                 |

| FASESINYAL YANG ADA |        |        |        | Waktu Siklus (detik)  |
|---------------------|--------|--------|--------|---|
|                     |        |        |        | C : 96<br><br>Waktu Hilang Total<br>$LIT = \sum IC =$<br>18 |
| Hijau               | Hijau  | Hijau  | Hijau  |   |
| Merah               | Merah  | Merah  | Merah  |   |
| Kuning              | Kuning | Kuning | Kuning |   |

Gambar Diagram Fase :

| NAMA/NO SIMPANG          | FASE | DIAGRAMFASEAPLL |   |   |    |    |  |   |   |    |    | Waktu Siklus Total |
|--------------------------|------|-----------------|---|---|----|----|--|---|---|----|----|--------------------|
|                          |      |                 |   |   |    |    |  |   |   |    |    |                    |
| Yogyakarta - Kalurang II | 1    | 25              | 3 | 3 |    |    |  |   |   |    | 54 | 95                 |
| Yogyakarta - Kalurang IV | 2    |                 |   |   | 30 |    |  | 3 | 3 |    | 28 | 95                 |
| Kayunan - Candilarang    | 3    |                 |   |   |    | 67 |  |   |   | 22 | 3  | 95                 |

| KONDISILAPANGAN |                       |                  |           |                    |                     |                               |                    |         |        |          |
|-----------------|-----------------------|------------------|-----------|--------------------|---------------------|-------------------------------|--------------------|---------|--------|----------|
| Kode Pendekat   | Tipe Lingkungan jalan | Hambatan Sampung | Medan (m) | Kelandaian (+/- %) | Belok Kiri Langsung | Jarak ke Kendaraan Parkir (m) | Lebar Pendekat (m) |         |        |          |
|                 |                       |                  |           |                    |                     |                               | Pendekat Wa        | W masuk | W ltor | W keluar |
| 1               | 2                     | 3                | 4         | 5                  | 6                   | 7                             | 8                  | 9       | 10     | 11       |
| U               | Komersial             | SEDANG           | TIDAK     | 0                  | TIDAK               | 0                             | 7,5                | 3,75    | 0      | 3,75     |
| S               | Komersial             | SEDANG           | TIDAK     | 0                  | TIDAK               | 0                             | 7,5                | 3,75    | 0      | 3,75     |
| B               | Komersial             | SEDANG           | TIDAK     | 0                  | TIDAK               | 0                             | 6                  | 3       | 0      | 3        |

Lampiran 8 Formulir SIG - II Simpang Jakal KM 12,5 Usulan II

| SIMPANG BERSINYAL |       | Tanggal :                       |                      |                      | Ditangani oleh     |            |          |       |           |           |       |      |      |      |      |      |         |
|-------------------|-------|---------------------------------|----------------------|----------------------|--------------------|------------|----------|-------|-----------|-----------|-------|------|------|------|------|------|---------|
| Formulir SIG-II   |       | Kota SLEMAN                     |                      |                      |                    |            |          |       |           |           |       |      |      |      |      |      |         |
| ARUS LALU LINTAS  |       | Simpang : Simpang Jakal KM 12,5 |                      |                      |                    |            |          |       |           |           |       |      |      |      |      |      |         |
|                   |       | ARUS KENDARAAN BERMOTOR (MV)    |                      |                      | END.TAK BERMOTOR   |            |          |       |           |           |       |      |      |      |      |      |         |
| Kode              | Arah  | Kendaraan Ringan (LV)           |                      |                      | Kendaraan Bermotor |            |          | Rasio | Arus      | Rasio     |       |      |      |      |      |      |         |
|                   |       | emp terlindung = 1              | emp terlindung = 1.3 | emp terlindung = 0.2 | total              | UM         | UM/MV    |       |           |           |       |      |      |      |      |      |         |
| Pen-dekat         |       | emp terlawan = 1                |                      |                      | emp terlawan = 0.4 |            |          | p RT  | kend/ jam | (17)/(12) |       |      |      |      |      |      |         |
|                   |       | kend/ jam                       | terlindung           | terlawan             | kend/ jam          | terlindung | terlawan |       |           |           | p LT  | (15) | (16) | (18) |      |      |         |
| (1)               | (2)   | (3)                             | (4)                  | (5)                  | (6)                | (7)        | (8)      | (9)   | (10)      | (11)      | (12)  | (13) | (14) | (15) | (16) | (17) | (18)    |
| A (U)             |       | LT/LTOR                         | 0                    | 0                    | 0                  | 0          | 0        | 0     | 0         | 0         | 231   | 0    | 0    | 0.00 | 0    | 0    | 0.000   |
|                   | ST    | 170                             | 170                  | 170                  | 26                 | 34         | 34       | 613   | 123       | 245       | 139   | 326  | 449  |      |      |      | 0.000   |
|                   | RT    | 117                             | 117                  | 117                  | 0                  | 0          | 0        | 263   | 53        | 105       | 303   | 170  | 222  |      | 0.33 | 0    | 0.000   |
|                   | Total | 287                             | 287                  | 287                  | 26                 | 34         | 34       | 876   | 175       | 350       | 673   | 496  | 671  |      |      | 0    | 0.000   |
| B (S)             |       | LT/LTOR                         | 150                  | 150                  | 21                 | 27         | 27       | 300   | 60        | 120       | 1.097 | 237  | 297  | 0.42 | 0    | 0    | 0.000   |
|                   | ST    | 107                             | 107                  | 107                  | 19                 | 25         | 25       | 697   | 139       | 279       | 269   | 271  | 411  |      |      | 0    | 0.000   |
|                   | RT    | 0                               | 0                    | 0                    | 0                  | 0          | 0        | 0     | 0         | 0         | 0     | 0    | 0    |      | 0.00 | 0    | #DIV/0! |
|                   | Total | 257                             | 257                  | 257                  | 40                 | 52         | 52       | 997   | 199       | 399       | 1.366 | 508  | 708  |      |      | 0    | 0.000   |
| C (T)             |       | LT/LTOR                         | 0                    | 0                    | 0                  | 0          | 0        | 0     | 0         | 0         | 0     | 0    | 0    | 0.00 | 0    | 0    | #DIV/0! |
|                   | ST    | 0                               | 0                    | 0                    | 0                  | 0          | 0        | 0     | 0         | 0         | 0     | 0    | 0    |      |      | 0    | #DIV/0! |
|                   | RT    | 0                               | 0                    | 0                    | 0                  | 0          | 0        | 0     | 0         | 0         | 0     | 0    | 0    |      | 0.00 | 0    | #DIV/0! |
|                   | Total | 0                               | 0                    | 0                    | 0                  | 0          | 0        | 0     | 0         | 0         | 0     | 0    | 0    |      |      | 0    | #DIV/0! |
| D (B)             |       | LT/LTOR                         | 98                   | 98                   | 98                 | 0          | 0        | 0     | 311       | 62        | 124   | 160  | 222  | 0.50 | 0    | 0    | 0.000   |
|                   | ST    | 0                               | 0                    | 0                    | 0                  | 0          | 0        | 0     | 0         | 0         | 488   | 0    | 0    |      |      | 0    | 0.000   |
|                   | RT    | 95                              | 95                   | 95                   | 0                  | 0          | 0        | 337   | 67        | 135       | 626   | 162  | 230  | 0.50 | 0    | 0    | 0.000   |
|                   | Total | 193                             | 193                  | 193                  | 0                  | 0          | 0        | 648   | 130       | 259       | 1.335 | 323  | 452  |      |      | 0    | 0.000   |



**Lampiran 10** Formulir SIG - V Simpang Jakal KM 12,5 Usulan II (KAJI)

DOSBox 0.74-3, Cpu speed: 3000 cycles, Frameskip 0, Program: KAJI

File Begin Forms Video Info Manual Help

Form SIG-5, results

KAJI - SIGNALISED INTERSECTIONS City : SLEMAN  
 Intersection: SIMPANG  
 Form SIG-5: QUEUE LENGTH, STOP RATE, DELAY  
 Purpose : Operation Cycle time : 95.0 sec  
 Prob. for overloading: 5.00 %

| Approach code (1) | FLOW (pcu/h)<br>Q<br>Q excl. LTOR (2) | Capacity<br>Used in SIG-4 (3) | Degree of saturation<br>DS=Q/C (4) | Green ratio<br>gr=g/c (5) | No of queuing vehicles (pcu) |         | Total NQ = NQ1+NQ2 (8) | NQmax (9) | Queue Leng (10) |
|-------------------|---------------------------------------|-------------------------------|------------------------------------|---------------------------|------------------------------|---------|------------------------|-----------|-----------------|
| (1)               | (2)                                   | (3)                           | (4)                                | (5)                       | NQ1 (6)                      | NQ2 (7) | (8)                    | (9)       | (10)            |
| H2 u              | 496                                   | 496                           | 0.018                              | 0.263                     | 1.70                         | 12.29   | 13.99                  | 19        | 10              |
| S2 s              | 508                                   | 508                           | 0.022                              | 0.316                     | 1.75                         | 12.39   | 14.14                  | 20        | 10              |
| H2 b              | 322                                   | 322                           | 0.709                              | 0.232                     | 1.33                         | 7.99    | 9.32                   | 13        | 8               |

D:\KAJI\BISMILLA.KJI

Desired overloading probability. Planning/Design: < 5%, Operation: 5-10% //

DOSBox 0.74-3, Cpu speed: 3000 cycles, Frameskip 0, Program: KAJI

Home Insert Page Layout References Mailings Review View

File Begin Forms Video Info Manual Help

Form SIG-5, results

SLEMAN  
 SIMPANG JAKAL KM 12,5 USULAN II Date :  
 Handled by :  
 95.0 sec Case :  
 Prob. for overloading: 5.00 % Period :

| Total NQ = NQ1+NQ2 (8) | NQmax (9) | Queue Length Q1 (m) (10) | Stop Rate NS stops/pcu (11) | No. of stops NSU pcu/h (12) | Delay                               |                                       |                                 | Tot Delay D = Q * sec (16) |
|------------------------|-----------|--------------------------|-----------------------------|-----------------------------|-------------------------------------|---------------------------------------|---------------------------------|----------------------------|
|                        |           |                          |                             |                             | Avg. Delay Traffic DT(sec/pcu) (13) | Avg. Delay Geometric DG(sec/pcu) (14) | Avg. Delay D=DT+DG sec/pcu (15) |                            |
| 3.99                   | 19        | 101                      | 0.962                       | 477                         | 42.98                               | 3.93                                  | 46.91                           | 23265                      |
| 4.14                   | 20        | 107                      | 0.949                       | 482                         | 40.25                               | 3.94                                  | 44.18                           | 22446                      |
| 9.32                   | 13        | 87                       | 0.987                       | 318                         | 46.06                               | 4.03                                  | 50.09                           | 16129                      |

D:\KAJI\BISMILLA.KJI

Desired overloading probability. Planning/Design: < 5%, Operation: 5-10% //

DOSBox 0.74-3, Cpu speed: 3000 cycles, Frameskip 0, Program: KAJI

Home Insert Page Layout References Mailings Review View

File Begin Forms Video Info Manual Help

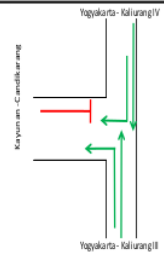
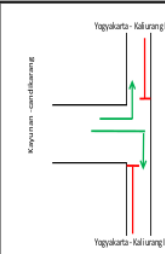
Form SIG-5, results

|                           |  |  |  |      |                                   |      |   |       |
|---------------------------|--|--|--|------|-----------------------------------|------|---|-------|
|                           |  |  |  | 0.00 | 6.00                              | 6.00 | 0 |       |
| Total:                    |  |  |  | 1277 | Total delay(sec):                 |      |   | 61840 |
| Mean number of stops/pcu: |  |  |  | 0.96 | Mean intersection delay(sec/pcu): |      |   | 46.64 |

D:\KAJI\BISMILLA.KJI

Desired overloading probability. Planning/Design: < 5%, Operation: 5-10% //

**Lampiran 11** Formulir SIG - I Simpang Jakal KM 12,5 Usulan III

| <b>SIMPANG BERSINYAL</b>  |   | Tanggal :                                       |  |                    |                     |                               |                    |         |                    |          |
|---|---|---|--|--------------------|---------------------|-------------------------------|--------------------|---------|--------------------|----------|
| <b>Formulir SIG-E</b>   |   | Kabupaten : SLEMAN                              |  |                    |                     |                               |                    |         |                    |          |
| <b>GEOMETRI</b>   |   | Simpang : SIMPANG JAKAL KM 12,5                 |  |                    |                     |                               |                    |         |                    |          |
| <b>PENGATURAN LALU LINTAS</b>   |   | Ukuran Kota : 1,08 JT                           |  |                    |                     |                               |                    |         |                    |          |
|   |   | Periode :                                       |  |                    |                     |                               |                    |         |                    |          |
| <b>FASESINYAL YANG ADA</b>  |   |   |  |                    |                     |                               |                    |         |                    |          |
|  |  |   | Waktu Siklus (detik)<br>C: 81<br><br>Waktu Hlang Total<br>LTI = $\sum IG =$ 18 |                    |                     |                               |                    |         |                    |          |
| Hijau<br>Merah<br>Kuning  | Hijau<br>Merah<br>Kuning  | Hijau<br>Merah<br>Kuning                        | Hijau<br>Merah<br>Kuning   |                    |                     |                               |                    |         |                    |          |
| <b>Gambar Diagram Fase :</b>  |   |   |  |                    |                     |                               |                    |         |                    |          |
| NAMA KAKI SIMPANG   | FASE  | DIAGRAM FASE APILL                              |  |                    |                     |                               |                    |         | Waktu Siklus Total |          |
| Yogyakarta - Kaliurang IV   | 1   | [Color-coded bar chart showing phase durations] |  |                    |                     |                               |                    |         | 81                 |          |
| Yogyakarta - Kaliurang III  |   | 54  | 3  | 3                  |                     |                               | 21                 |         |                    |          |
| Kayunan - Candikarang   | 2   | [Color-coded bar chart showing phase durations] |  |                    |                     |                               |                    |         | 81                 |          |
|   |   | 60  |  | 15                 | 3                   | 3                             |                    |         |                    |          |
| <b>KONDISI LAPANGAN</b>   |   |   |  |                    |                     |                               |                    |         |                    |          |
| Kode Pendekat   | Tipe Lingkungan jalan   | Hambatan Samping                                | Median (m)   | Kelandaian (+/- %) | Belok Kiri Langsung | Jarak ke Kendaraan Parkir (m) | Lebar Pendekat (m) |         |                    |          |
|   |   |   |  |                    |                     |                               | Pendekat Wa        | W masuk | W litor            | W keluar |
| 1   | 2   | 3   | 4  | 5                  | 6                   | 7                             | 8                  | 9       | 10                 | 11       |
| U   | Komersial   | SEDANG  | TIDAK  | 0                  | TIDAK               | 0                             | 8,5                | 4,25    | 0                  | 4,25     |
| S   | Komersial   | SEDANG  | TIDAK  | 0                  | TIDAK               | 0                             | 8,5                | 4,25    | 0                  | 4,25     |
| B   | Komersial   | SEDANG  | TIDAK  | 0                  | TIDAK               | 0                             | 7                  | 3,5     | 0                  | 3,5      |

Lampiran 12 Formulir SIG-II Simpang Jarak KM 12,5 Usulan III

| SIMPANG BERSINYAL |                       | Tanggal :                    |                      | Ditangani oleh     |                          |                    |                |               |             |      |       |      |      |      |      |      |        |
|-------------------|-----------------------|------------------------------|----------------------|--------------------|--------------------------|--------------------|----------------|---------------|-------------|------|-------|------|------|------|------|------|--------|
| Formulir SIG-II   |                       | Kota                         |                      | SLEMAN             |                          |                    |                |               |             |      |       |      |      |      |      |      |        |
| ARUS LALU LINTAS  |                       | Simpang :                    |                      |                    |                          |                    |                |               |             |      |       |      |      |      |      |      |        |
|                   |                       | ARUS KENDARAAN BERMOTOR (MV) |                      |                    |                          | END.TAK BERMOTOR   |                |               |             |      |       |      |      |      |      |      |        |
| Kode Pen-dekat    | Kendaraan Ringan (LV) |                              | Kendaraan Berat (HV) |                    | Kendaraan Bermotor total |                    | Rasio berbelok | Rasio Arus UM | Rasio UM/MV |      |       |      |      |      |      |      |        |
|                   | emp terlindung = 1    | emp terlawan = 1             | emp terlindung = 1.3 | emp terlawan = 1.3 | emp terlindung = 0.2     | emp terlawan = 0.4 |                |               |             | MV   |       |      |      |      |      |      |        |
| (1)               | (2)                   | (3)                          | (4)                  | (5)                | (6)                      | (7)                | (8)            | (9)           | (10)        | (11) | (12)  | (13) | (14) | (15) | (16) | (17) | (18)   |
|                   | LT/LTOR               | 0                            | 0                    | 0                  | 0                        | 0                  | 0              | 0             | 0           | 0    | 231   | 0    | 0    | 0.00 | 0    | 0    | 0.000  |
| A (U)             | ST                    | 170                          | 170                  | 34                 | 26                       | 34                 | 613            | 123           | 245         | 449  | 139   | 326  | 449  |      | 0    | 0    | 0.000  |
|                   | RT                    | 117                          | 117                  | 0                  | 0                        | 0                  | 263            | 53            | 105         | 222  | 303   | 170  | 222  | 0.33 | 0    | 0    | 0.000  |
|                   | Total                 | 287                          | 287                  | 26                 | 26                       | 34                 | 876            | 175           | 350         | 671  | 673   | 496  | 671  |      | 0    | 0    | 0.000  |
|                   | LT/LTOR               | 150                          | 150                  | 27                 | 21                       | 27                 | 300            | 60            | 120         | 237  | 1,097 | 237  | 297  | 0.42 | 0    | 0    | 0.000  |
| B (S)             | ST                    | 107                          | 107                  | 25                 | 19                       | 25                 | 697            | 139           | 279         | 411  | 269   | 271  | 411  |      | 0    | 0    | 0.000  |
|                   | RT                    | 0                            | 0                    | 0                  | 0                        | 0                  | 0              | 0             | 0           | 0    | 0     | 0    | 0    | 0.00 | 0    | 0    | #DFV/0 |
|                   | Total                 | 257                          | 257                  | 40                 | 40                       | 52                 | 997            | 199           | 399         | 708  | 1,366 | 508  | 708  |      | 0    | 0    | 0.000  |
|                   | LT/LTOR               | 0                            | 0                    | 0                  | 0                        | 0                  | 0              | 0             | 0           | 0    | 0     | 0    | 0    | 0.00 | 0    | 0    | #DFV/0 |
|                   | ST                    | 0                            | 0                    | 0                  | 0                        | 0                  | 0              | 0             | 0           | 0    | 0     | 0    | 0    |      | 0    | 0    | #DFV/0 |
|                   | RT                    | 0                            | 0                    | 0                  | 0                        | 0                  | 0              | 0             | 0           | 0    | 0     | 0    | 0    | 0.00 | 0    | 0    | #DFV/0 |
|                   | Total                 | 0                            | 0                    | 0                  | 0                        | 0                  | 0              | 0             | 0           | 0    | 0     | 0    | 0    |      | 0    | 0    | #DFV/0 |
| D (B)             | LT/LTOR               | 98                           | 98                   | 98                 | 0                        | 0                  | 311            | 62            | 124         | 221  | 160   | 222  | 222  | 0.50 | 0    | 0    | 0.000  |
|                   | ST                    | 0                            | 0                    | 0                  | 0                        | 0                  | 0              | 0             | 0           | 0    | 488   | 0    | 0    |      | 0    | 0    | 0.000  |
|                   | RT                    | 95                           | 95                   | 95                 | 0                        | 0                  | 337            | 67            | 135         | 230  | 162   | 230  | 230  | 0.50 | 0    | 0    | 0.000  |
|                   | Total                 | 193                          | 193                  | 193                | 0                        | 0                  | 648            | 130           | 259         | 452  | 1,365 | 323  | 452  |      | 0    | 0    | 0.000  |

Lampiran 13 Formulir SIG-IV Simpang Jakal KM 12,5 Usulan III

| SIMPANG BERSINYAL                                     |                            | Tanggal        |                          | Ditangani oleh                          |               |                   |                         |                         |                          |                       |                         |                       |               |               |                          |                               |         |                 |                         |                   |      |
|---|----------------------------|----------------|--------------------------|---|---------------|-------------------|-------------------------|-------------------------|--------------------------|-----------------------|-------------------------|-----------------------|---------------|---------------|--------------------------|-------------------------------|---------|-----------------|-------------------------|-------------------|------|
| Formulir SIG-IV: PENENTUAN WAKTU SINYAL DAN KAPASITAS |                            | Kota           | SEMAN                    |   |               |                   |                         |                         |                          |                       |                         |                       |               |               |                          |                               |         |                 |                         |                   |      |
| Distribusi arus lalu lintas (smp/jam)                 |                            | Simpang        | Simpang Jakal KM 12,5    |   |               |                   |                         |                         |                          |                       |                         |                       |               |               |                          |                               |         |                 |                         |                   |      |
|   |                            | Fase 2         |                          | Fase 3                                  |               |                   |                         |                         |                          |                       |                         |                       |               |               |                          |                               |         |                 |                         |                   |      |
|   |                            | Fase 1         |                          | Fase 4                                  |               |                   |                         |                         |                          |                       |                         |                       |               |               |                          |                               |         |                 |                         |                   |      |
|   |                            |                |                          |   |               |                   |                         |                         |                          |                       |                         |                       |               |               |                          |                               |         |                 |                         |                   |      |
| Kode pen-dekat  | Hijau dalam fase dekat no. | Tipe pen-dekat | Rasio kendaraan berbebek | Arus RT smp/j                           | Arus RT smp/j | Lebar efektif (m) | Nilai dasar smp/j hijau | Nilai dasar smp/j hijau | Arus jenuh smp/jam hijau | Faktor-faktor koreksi | Nilai di-lintas smp/jam | Arus fase PR = Frcrit | Rasio arus FR | Rasio arus FR | Arus lalu lintas smp/jam | Nilai di-lintas smp/jam hijau | Q/S IFR | Waktu hijau det | Kapasitas smp/j S.g / c | Derajat kejenuhan |      |
| (1)   | 2                          | 3              | 0.00                     | 0.00                                    | 0.00          | 0.33              | 222                     | 0                       | 0                        | 0                     | 0                       | 0.00                  | 0.00          | 0.00          | 0.00                     | 0.00                          | 0.00    | 0.00            | 0                       | 0                 | 0.00 |
| U   | 1                          | 0              | 0.00                     | 0.42                                    | 0.00          | 0.45              | 2123                    | 1.00                    | 0.94                     | 1.00                  | 1.00                    | 0.94                  | 0.00          | 0.00          | 0.00                     | 0.00                          | 0.00    | 0.47            | 32                      | 799               | 0.84 |
| S   | 1                          | 0              | 0.00                     | 0.42                                    | 0.00          | 0.45              | 1350                    | 1.00                    | 0.94                     | 1.00                  | 1.00                    | 0.94                  | 0.00          | 0.00          | 0.00                     | 0.00                          | 0.56    | 54              | 843                     | 0.84              |      |
| T   | 0                          | 0              | 0.00                     | 0.00                                    | 0.00          | 0                 | 0                       | 0                       | 0.00                     | 0.00                  | 0.00                    | 0.00                  | 0.00          | 0.00          | 0                        | 0                             | 0.00    | 0               | 0                       | 0                 | 0.00 |
| B   | 2                          | P              | 0.00                     | 0.50                                    | 0.50          | 162               | 0                       | 3.5                     | 1.00                     | 1.00                  | 1.00                    | 1.00                  | 1.13          | 0.92          | 2055                     | 0.16                          | 0.22    | 15              | 384                     | 0.84              |      |
| Waktu hilang total LT                                 |                            | 12             |                          | Waktu siklus pra penyesuaian C ua (det) |               | 81                |                         | IFR =                   |                          | 0.71                  |                         | E Frcrit              |               | 0.84          |                          | 0.84                          |         |                 |                         |                   |      |
| LTI (det)   |                            |                |                          | Waktu siklus disesuaikan ( C ) (det)    |               | 81                |                         |                         |                          |                       |                         |                       |               |               |                          |                               |         |                 |                         |                   |      |

**Lampiran 14** Formulir SIG-V Simpang Jakal KM 12,5 Usulan III (KAJI)

bismillah 2 fase oke pelebaran - Copy - Micr

DOSBox 0.74-3, Cpu speed: 3000 cycles, Frameskip 0, Program: KAJI

File Begin Forms Video Info Manual Help

Form SIG-5, results

KAJI - SIGNALISED INTERSECTIONS City : SLEMAN  
 Intersection: SIMPANG JAKAL KM 12,5 USULAN III  
 Form SIG-5: QUEUE LENGTH, STOP RATE, DELAY  
 Purpose : Operation  
 Cycle time : 81.0 sec  
 Prob. for overloading: %

| Approach code (1) | FLOW (pcu/h) Qentry excl. LTOR (2) | Q Used in SIG-4 (2) | Capacity (3) | Degree of saturation DS=Q/C (4) | Green ratio gr=g/c (5) | No of queuing NQ1 (6) | NQ2 (7) | Total NQ = NQ1+NQ2 (8) | NQmax (9) | Queue Length Q1 (10) |
|-------------------|------------------------------------|---------------------|--------------|---------------------------------|------------------------|-----------------------|---------|------------------------|-----------|----------------------|
| 82                | u                                  | 671                 | 671          | 1336                            | 0.562                  | 0.667                 | 0.00    | 7.57                   | 7.57      | 11                   |
| 82                | s                                  | 708                 | 708          | 846                             | 0.837                  | 0.667                 | 2.01    | 12.01                  | 14.02     | 19                   |
| 42                | b                                  | 322                 | 322          | 381                             | 0.845                  | 0.185                 | 2.08    | 7.00                   | 9.08      | 13                   |

D:\KAJI\2FASEOKI.KJI

Desired overloading probability. Planning/Design: < 5%, Operation: 5-10% // KA

DOSBox 0.74-3, Cpu speed: 3000 cycles, Frameskip 0, Program: KAJI

File Begin Forms Video Info Manual Help

Form SIG-5, results

SLEMAN  
 SIMPANG JAKAL KM 12,5 USULAN III  
 Date :  
 Handled by :  
 Case :  
 Period :  
 81.0 sec  
 %

| Total Q = NQ1+NQ2 (8) | NQmax (9) | Queue Length Q1 (m) (10) | Stop Rate NS stops /pcu (11) | No. of stops NSU pcu/h (12) | Delay                               |                                       |                                 |                          |
|-----------------------|-----------|--------------------------|------------------------------|-----------------------------|-------------------------------------|---------------------------------------|---------------------------------|--------------------------|
|                       |           |                          |                              |                             | Avg. Delay Traffic DT(sec/pcu) (13) | Avg. Delay Geometric DG(sec/pcu) (14) | Avg. Delay D=DT+DG sec/pcu (15) | Tot Delay D * Q sec (16) |
| 7.57                  | 11        | 52                       | 0.451                        | 303                         | 6.78                                | 2.93                                  | 9.71                            | 6516                     |
| 14.02                 | 19        | 89                       | 0.792                        | 561                         | 18.72                               | 3.75                                  | 22.47                           | 15908                    |
| 9.08                  | 13        | 74                       | 1.128                        | 363                         | 51.55                               | 4.00                                  | 55.55                           | 17887                    |

D:\KAJI\2FASEOKI.KJI

Desired overloading probability. Planning/Design: < 5%, Operation: 5-10% // KA

DOSBox 0.74-3, Cpu speed: 3000 cycles, Frameskip 0, Program: KAJI

File Begin Forms Video Info Manual Help

Form SIG-5, results

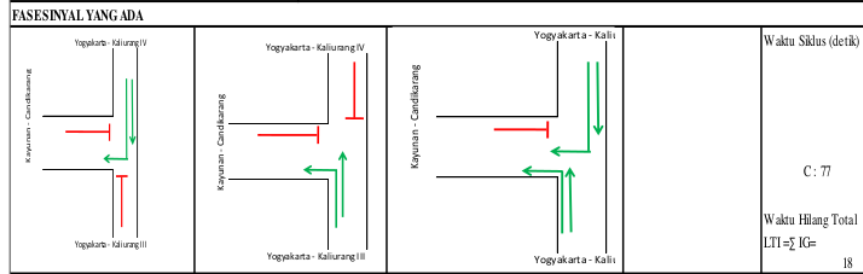
|                           |  |  |  |  |      |   |      |   |
|---------------------------|--|--|--|--|------|---|------|---|
|                           |  |  |  |  | 0.00 | 6.00                                    | 6.00 | 0 |
| Total:                    |  |  |  |  | 1227 | Total delay(sec): 40311                 |      |   |
| Mean number of stops/pcu: |  |  |  |  | 0.72 | Mean intersection delay(sec/pcu): 23.70 |      |   |

D:\KAJI\2FASEOKI.KJI

Desired overloading probability. Planning/Design: < 5%, Operation: 5-10% // KA

**Lampiran 15** Formulir SIG-I Simpang Jakal KM 12,5 Usulan IV

|  |                                |
|--|--------------------------------|
| <b>SIMPANG BERSINYAL</b><br>Formulir SIG-I:<br><b>GEOMETRI</b><br><b>PENGATURAN LALULINTAS</b> | Tanggal :                      |
|  | Kabupaten : SLEMAN             |
|  | Simpang : SIMPANGJAKAL KM 12,5 |
|  | Ukuran Kota : 1,08 JT          |
|  | Periode :                      |



|        |        |        |        |
|--------|--------|--------|--------|
| Hijau  | Hijau  | Hijau  | Hijau  |
| Merah  | Merah  | Merah  | Merah  |
| Kuning | Kuning | Kuning | Kuning |

Gambar Diagram Fase :

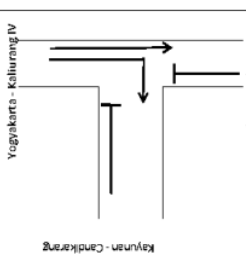
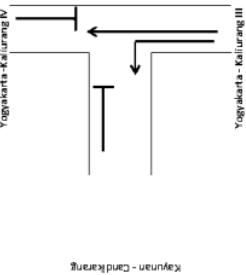
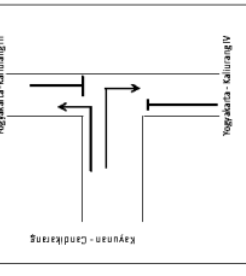
| NAMA/ALOKASI SIMPANG    | FASE | DIAGRAM FASE APIL |   |   |    |  |  |  |    |    |  | Waktu Sinyal Total |   |    |    |    |
|-------------------------|------|-------------------|---|---|----|--|--|--|----|----|--|--------------------|---|----|----|----|
| Yogyakarta-Kalurang IV  | 1    | 19                | 3 | 3 |    |  |  |  |    |    |  |                    |   |    | 76 |    |
| Yogyakarta-Kalurang III | 2    |                   |   |   | 25 |  |  |  | 23 |    |  | 3                  | 3 | 22 |    | 76 |
| Kayunan-Candikarang     | 3    |                   |   |   |    |  |  |  |    | 54 |  |                    |   | 16 | 3  | 76 |

**KONDISI LAPANGAN**

| Kode Pendekat | Tipe Lingkungan jalan | Hamabatan Sampung | Medan (m) | Kelandaian (+/- %) | Belok Kiri Langsung | Jarak ke Kendaraan Parkir (m) | Lebar Pendekat (m) |         |       |          |
|---------------|-----------------------|-------------------|-----------|--------------------|---------------------|-------------------------------|--------------------|---------|-------|----------|
|               |                       |                   |           |                    |                     |                               | Pendekat Wa        | W masuk | W ltr | W keluar |
| 1             | 2                     | 3                 | 4         | 5                  | 6                   | 7                             | 8                  | 9       | 10    | 11       |
| U             | Komersial             | SEDANG            | TIDAK     | 0                  | TIDAK               | 0                             | 8,5                | 4,25    | 0     | 4,25     |
| S             | Komersial             | SEDANG            | TIDAK     | 0                  | TIDAK               | 0                             | 8,5                | 4,25    | 0     | 4,25     |
| B             | Komersial             | SEDANG            | TIDAK     | 0                  | TIDAK               | 0                             | 7                  | 3,5     | 0     | 3,5      |



Lampiran 17 Formulir SIG-IV Simpang Jakal KM 12,5 Usulan IV

| SIMPANG BERSENYAL                                      |   | Tanggal :  |   | 0   |            |                   |                             |                            |                  |      |                       |      |      |                  |                  |                            |                              |                   |   |                              |                   |         |         |
|--|---|--|---|---|------------|-------------------|-----------------------------|----------------------------|------------------|------|-----------------------|------|------|------------------|------------------|----------------------------|------------------------------|-------------------|---|------------------------------|-------------------|---------|---------|
| Permalir SIG-IV : PENENTUAN WAKTU SINYAL DAN KAPASITAS |   | Kota : Semarang  |   |   |            |                   |                             |                            |                  |      |                       |      |      |                  |                  |                            |                              |                   |   |                              |                   |         |         |
| Distribusi arus lalu lintas (simp/jam)                 |   | Simpang : Simpang Jakal KM 12,5  |   |   |            |                   |                             |                            |                  |      |                       |      |      |                  |                  |                            |                              |                   |   |                              |                   |         |         |
|  |  <p>Fase 1<br/>Yogyakarta - Candikrang</p> |  <p>Fase 2<br/>Yogyakarta - Kalurung III</p> |  <p>Fase 3<br/>Kanyan - Candikrang</p> |  <p>Fase 4<br/>Yogyakarta - Kalurung III</p> |            |                   |                             |                            |                  |      |                       |      |      |                  |                  |                            |                              |                   |   |                              |                   |         |         |
| Kode Perseki   | Hijau dalam Fase No. (P/C)  | Type Perseki   | Rasio Kantarakan Berseki  | Arus RT (simp/jam)  |            | Lebar Ekiatif (m) | Nilai Arus Dasar (simp/jam) | Arus Jemb (simp/jam) Hijau |                  |      |                       |      |      | Rasio Arus (F/F) | Rasio Fase (P/C) | Waktu Hijau (det)          | Kapasitas (simp/jam) (S/g/c) | Derajat Kejenuhan |   |                              |                   |         |         |
|  |   |  |   | Arus RT Dari  | Arus RT Ke |                   |                             | Semua Tipe perseki         |                  |      | Faktor faktor perseki |      |      |                  |                  |                            |                              |                   | Arus Lalu Lintas (simp/jam) dengan tipe perseki |                              |                   |         |         |
| p.L/TOR  | p.L/T   | p.RT   | p.RT  | Q RT  | Q RTO      | We                | So                          | Ukuran Kota                | Hambatan Sampang | Ref  | Ff                    | Fp   | FFT  | FLT              | S                | Nilai Arus Jemb (simp/jam) | Rasio Arus (F/F)             | Rasio Fase (P/C)  | Waktu Hijau (det)                               | Kapasitas (simp/jam) (S/g/c) | Derajat Kejenuhan |         |         |
|  |   |  |   |   |            |                   |                             |                            |                  |      |                       |      |      |                  |                  |                            |                              |                   |   |                              |                   | Perseki | Perseki |
| 1  | 2   | 1  | 1   | 170   | 170        | 4,25              | 2.550                       | 1,00                       | 0,94             | 1,00 | 1,00                  | 1,00 | 1,00 | 1,00             | 1,00             | 2.610                      | 0,19                         | 0,33              | 19  | 651                          | 0,76              |         |         |
| 2  | 1   | 1  | 1   | 170   | 170        | 4,25              | 2.550                       | 1,00                       | 0,94             | 1,00 | 1,00                  | 1,00 | 1,00 | 1,00             | 1,00             | 2.218                      | 0,23                         | 0,33              | 23  | 688                          | 0,76              |         |         |
| 3  | 1   | 1  | 1   | 102   | 102        | 3,5               | 2.100                       | 1,00                       | 0,94             | 1,00 | 1,00                  | 1,00 | 1,00 | 1,00             | 1.974            | 0,16                       | 0,28                         | 16                | 424   | 0,76                         |                   |         |         |
|  |   |  |   |   |            |                   |                             |                            |                  |      |                       |      |      |                  |                  |                            |                              |                   |   |                              |                   |         |         |
| Waktu Hijau Total L/T                                  |   |  |   |   |            |                   |                             |                            |                  |      |                       |      |      | 1,327            |                  | IPR =                      |                              | 1,743             |   | DMS Simpang                  |                   | 0,76    |         |
| L/TI (det)   |   |  |   |   |            |                   |                             |                            |                  |      |                       |      |      | R Fases          |                  | 0,58                       |                              |                   |   |                              |                   |         |         |

**Lampiran 18** Formulir SIG-V Simpang Jakal KM 12,5 Usulan IV (KAJI)

DOSBox 0.74-3, Cpu speed: 3000 cycles, Frameskip 0, Program: KAJI

File Begin Forms Video Info Manual Help

Form SIG-5, results

KAJI - SIGNALISED INTERSECTIONS  
 Form SIG-5: QUEUE LENGTH, STOP RATE, DELAY  
 Purpose : Operation

City : SLEMAN  
 Intersection: SIMPANG

Cycle time : 76.0 sec  
 Prob. for overloading: 5.00 %

| Approach code (1) | FLOW Qentry excl. LTOR (2) | FLOW Q Used in SIG-4 (2) | Capacity (3) | Degree of saturation DS=Q/C (4) | Green ratio gr=g/c (5) | No of queuing vehicles (pcu) NQ1 (6) | NQ2 (7) | Total NQ = NQ1+NQ2 (8) | NQmax (9) | Queue Leng Q1 (10) |
|-------------------|----------------------------|--------------------------|--------------|---------------------------------|------------------------|--------------------------------------|---------|------------------------|-----------|--------------------|
| N2                | U                          | 496                      | 496          | 646                             | 0.768                  | 0.250                                | 1.14    | 9.72                   | 10.85     | 15                 |
| S2                | S                          | 508                      | 508          | 664                             | 0.765                  | 0.303                                | 1.11    | 9.73                   | 10.84     | 15                 |
| W2                | B                          | 322                      | 322          | 428                             | 0.752                  | 0.211                                | 1.00    | 6.38                   | 7.38      | 10                 |

D:\KAJIN3FASE.KJI

Desired overloading probability. Planning/Design: < 5%, Operation: 5-10% // KA

DOSBox 0.74-3, Cpu speed: 3000 cycles, Frameskip 0, Program: KAJI

File Begin Forms Video Info Manual Help

Form SIG-5, results

SLEMAN  
 SIMPANG JAKAL KM 12,5 USULAN IV

Date :  
 Handled by:

76.0 sec  
 %

Case :  
 Period :

| Total Q = NQ1+NQ2 (8) | NQmax (9) | Queue Length Q1 (m) (10) | Stop Rate NS stops /pcu (11) | No. of stops NSU pcu/h (12) | Delay                               |                                       |                                 |                          |
|-----------------------|-----------|--------------------------|------------------------------|-----------------------------|-------------------------------------|---------------------------------------|---------------------------------|--------------------------|
|                       |           |                          |                              |                             | Avg. Delay Traffic DT(sec/pcu) (13) | Avg. Delay Geometric DG(sec/pcu) (14) | Avg. Delay D=DT+DG sec/pcu (15) | Tot Delay D * Q sec (16) |
| 10.85                 | 15        | 71                       | 0.933                        | 463                         | 32.78                               | 3.87                                  | 36.65                           | 18180                    |
| 10.84                 | 15        | 71                       | 0.910                        | 462                         | 30.08                               | 3.89                                  | 33.97                           | 17257                    |
| 7.38                  | 10        | 57                       | 0.977                        | 314                         | 36.55                               | 4.05                                  | 40.60                           | 13073                    |

D:\KAJIN3FASE.KJI

Desired overloading probability. Planning/Design: < 5%, Operation: 5-10% // KA

DOSBox 0.74-3, Cpu speed: 3000 cycles, Frameskip 0, Program: KAJI

File Begin Forms Video Info Manual Help

Form SIG-5, results

|                           |  |  |  |      |   |      |      |      |
|---------------------------|--|--|--|------|---|------|------|------|
|                           |  |  |  |      |   |      |      |      |
|                           |  |  |  |      |   |      |      |      |
|                           |  |  |  |      |   |      |      |      |
|                           |  |  |  |      |   | 0.00 | 6.00 | 6.00 |
| Total:                    |  |  |  | 1239 | Total delay(sec): 48510                 |      |      |      |
| Mean number of stops/pcu: |  |  |  | 0.93 | Mean intersection delay(sec/pcu): 36.58 |      |      |      |

D:\KAJIN3FASE.KJI

Desired overloading probability. Planning/Design: < 5%, Operation: 5-10% // KA

# SEKOLAH TINGGI TRANSPORTASI DARAT



## KARTU ASISTENSI

NAMA : Bibit Diahayu L DOSEN : Anithya Prayoga S, SSi, M.T  
 NOTAR : 1902071 SEMESTER :  
 PROGRAM STUDI : D III M.TJ TAHUN AJARAN :

| NO. | TGL. | KETERANGAN  | PARAF | NO. | TGL. | KETERANGAN                          | PARAF |
|-----|------|---|-------|-----|------|-------------------------------------|-------|
| 1.  | 3/7  | Bimbingan judul<br>Kkw & Bab 1<br>Identifikasi masalah,<br>rumusan                                      |       |     | 13/7 | Bab 1-2<br>Judul & Pengantar        |       |
| 2.  | 7/7  | Bimbingan Bab II &<br>Bab 1<br>Telah perlu dgn<br>kardis: geograf<br>Acc bab 1                          |       |     | 30/7 | <del>Bab 3-4</del><br>Acc bab 1 & 2 |       |
| 3   | 14/7 | Bab III & IV<br>Rumus analisis ke<br>Bab IV<br>Tambah alur akhir<br>(buat diagram)<br>lanjut analisis   |       |     |      | Bab 4-5<br>Acc bab 3 & 4            |       |
| 4   | /    | Bab V & VI<br>Tambahkan tabel keluar?<br>Kesimpulan membuat paragraf<br>rumusan masalah<br>Acc analisis |       |     |      | Bab 6<br>Kesimpulan & Saran         |       |
| 5   | 1/8  | Perbaikan revisi: & <sup>masukan</sup> <del>ditan</del><br>Pegawasan <del>akhir</del>                   |       |     |      | kesimpulan                          |       |

# OPTIMALISASI KINERJA LALU LINTAS SIMPANG JAKAL KM 12,5 DI KABUPATEN SLEMAN

## ORIGINALITY REPORT

35%

SIMILARITY INDEX

34%

INTERNET SOURCES

16%

PUBLICATIONS

14%

STUDENT PAPERS

## PRIMARY SOURCES

|   |  |    |
|---|--|----|
| 1 | <a href="https://ojs.balitbang.dephub.go.id">ojs.balitbang.dephub.go.id</a><br>Internet Source | 4% |
| 2 | <a href="https://repository.its.ac.id">repository.its.ac.id</a><br>Internet Source             | 3% |
| 3 | <a href="https://digilib.ptdisttd.net">digilib.ptdisttd.net</a><br>Internet Source             | 2% |
| 4 | <a href="https://www.scribd.com">www.scribd.com</a><br>Internet Source                         | 2% |
| 5 | <a href="https://docplayer.info">docplayer.info</a><br>Internet Source                         | 2% |
| 6 | <a href="https://ojs.fstpt.info">ojs.fstpt.info</a><br>Internet Source                         | 1% |
| 7 | <a href="https://repository.ub.ac.id">repository.ub.ac.id</a><br>Internet Source               | 1% |
| 8 | Submitted to Sultan Agung Islamic University<br>Student Paper                                  | 1% |
| 9 | <a href="https://adoc.pub">adoc.pub</a><br>Internet Source                                     | 1% |

|    |   |     |
|----|---|-----|
| 10 | Submitted to LL Dikti IX Turnitin Consortium<br>Student Paper       | 1 % |
| 11 | 123dok.com<br>Internet Source                                       | 1 % |
| 12 | eprints.itenas.ac.id<br>Internet Source                             | 1 % |
| 13 | Submitted to Universitas Muhammadiyah<br>Surakarta<br>Student Paper | 1 % |
| 14 | repository.uhn.ac.id<br>Internet Source                             | 1 % |
| 15 | text-id.123dok.com<br>Internet Source                               | 1 % |
| 16 | dspace.uii.ac.id<br>Internet Source                                 | 1 % |
| 17 | erepo.unud.ac.id<br>Internet Source                                 | 1 % |
| 18 | eprints.umm.ac.id<br>Internet Source                                | 1 % |
| 19 | ojs.balitbanghub.dephub.go.id<br>Internet Source                    | 1 % |
| 20 | Submitted to Politeknik Negeri Bandung<br>Student Paper             | 1 % |
| 21 | vbook.pub<br>Internet Source  |     |

1 %

---

22 eprints.itn.ac.id  
Internet Source

<1 %

---

23 id.123dok.com  
Internet Source

<1 %

---

24 id.scribd.com  
Internet Source

<1 %

---

25 www.readbag.com  
Internet Source

<1 %

---

26 eprints.undip.ac.id  
Internet Source

<1 %

---

27 ejournal.uniks.ac.id  
Internet Source

<1 %

---

28 jurnal.ensiklopediaku.org  
Internet Source

<1 %

---

29 Dspace.Uii.Ac.Id  
Internet Source

<1 %

---

30 idoc.pub  
Internet Source

<1 %

---

31 jurnal.untan.ac.id  
Internet Source

<1 %

---

32 www.slideshare.net  
Internet Source

<1 %

---

|    |   |      |
|----|---|------|
| 33 | <a href="http://ejournal.jagakarsa.ac.id">ejournal.jagakarsa.ac.id</a><br>Internet Source   | <1 % |
| 34 | <a href="http://inba.info">inba.info</a><br>Internet Source   | <1 % |
| 35 | Hartono Hartono, Ari Widi Wibowo, Fadjar Lestari. "Manajemen dan Rekayasa Lalu Lintas Pada Kawasan Simpang 3 (Tiga) Jembatan Ngujang - Jalan Raya Ngantru", <i>Jurnal Penelitian Transportasi Darat</i> , 2021<br>Publication | <1 % |
| 36 | <a href="http://ejournal.unsrat.ac.id">ejournal.unsrat.ac.id</a><br>Internet Source   | <1 % |
| 37 | <a href="http://jurnal.pnj.ac.id">jurnal.pnj.ac.id</a><br>Internet Source   | <1 % |
| 38 | <a href="http://doku.pub">doku.pub</a><br>Internet Source   | <1 % |
| 39 | <a href="http://ojs.uajy.ac.id">ojs.uajy.ac.id</a><br>Internet Source   | <1 % |
| 40 | <a href="http://simantu.pu.go.id">simantu.pu.go.id</a><br>Internet Source   | <1 % |
| 41 | Submitted to Udayana University<br>Student Paper  | <1 % |
| 42 | <a href="http://repository.uin-suska.ac.id">repository.uin-suska.ac.id</a><br>Internet Source   | <1 % |

|    |   |      |
|----|---|------|
| 43 | <a href="http://eprints.ums.ac.id">eprints.ums.ac.id</a><br>Internet Source                         | <1 % |
| 44 | <a href="http://mynewtransport.blogspot.com">mynewtransport.blogspot.com</a><br>Internet Source     | <1 % |
| 45 | <a href="http://repository.um-palembang.ac.id">repository.um-palembang.ac.id</a><br>Internet Source | <1 % |
| 46 | <a href="http://repository.uib.ac.id">repository.uib.ac.id</a><br>Internet Source                   | <1 % |
| 47 | <a href="http://repository.upstegal.ac.id">repository.upstegal.ac.id</a><br>Internet Source         | <1 % |
| 48 | <a href="http://www.ptsmi.co.id">www.ptsmi.co.id</a><br>Internet Source                             | <1 % |
| 49 | Submitted to Universitas Pancasila<br>Student Paper   | <1 % |
| 50 | <a href="http://core.ac.uk">core.ac.uk</a><br>Internet Source                                       | <1 % |
| 51 | <a href="http://repository.ummat.ac.id">repository.ummat.ac.id</a><br>Internet Source               | <1 % |
| 52 | Submitted to Universitas Teuku Umar<br>Student Paper  | <1 % |
| 53 | <a href="http://jtb.ulm.ac.id">jtb.ulm.ac.id</a><br>Internet Source                                 | <1 % |
| 54 | Submitted to Fakultas Ekonomi Universitas Indonesia   | <1 % |

55

Submitted to Universitas Mercu Buana

Student Paper

<1 %

---

56

[www.coursehero.com](http://www.coursehero.com)

Internet Source

<1 %

---

57

[pt.scribd.com](http://pt.scribd.com)

Internet Source

<1 %

---

58

Submitted to Universitas Pendidikan  
Indonesia

Student Paper

<1 %

---

59

[digilib.unila.ac.id](http://digilib.unila.ac.id)

Internet Source

<1 %

---

60

[repositori.umsu.ac.id](http://repositori.umsu.ac.id)

Internet Source

<1 %

---

61

Probo Yudha Prasetyo, Sigit Priyanto, Imam Muthohar. "PENGATURAN POLA ARUS LALU LINTAS DI KAWASAN PLTU KARANGKANDRI CILACAP (Studi Kasus : Ruas Jalan Lingkar Timur Cilacap)", Jurnal Penelitian Transportasi Darat, 2021

Publication

<1 %

---

62

Nadilla Kadissa Astuti, Fahinu Fahinu, Jafar Masuha. "ANALISIS KEMAMPUAN LITERASI MATEMATIKA SISWA KELAS VIII SMP SWASTA DI KOTA KENDARI", Jurnal Penelitian Pendidikan Matematika, 2019

Publication

<1 %

---

|    |  |      |
|----|--|------|
| 63 | Submitted to Universitas Tidar<br>Student Paper  | <1 % |
| 64 | es.scribd.com<br>Internet Source   | <1 % |
| 65 | lemlit.unpas.ac.id<br>Internet Source  | <1 % |
| 66 | ppid.lomboktengahkab.go.id<br>Internet Source  | <1 % |
| 67 | puslit2.petra.ac.id<br>Internet Source   | <1 % |
| 68 | repository.unhas.ac.id<br>Internet Source  | <1 % |
| 69 | riset.unisma.ac.id<br>Internet Source  | <1 % |
| 70 | stt-pln.e-journal.id<br>Internet Source  | <1 % |
| 71 | www.docstoc.com<br>Internet Source   | <1 % |
| 72 | Ichda Maulidya, Ni Luh Wayan Rita Kurniati,<br>Tania Andari. "PENATAAN PARKIR DI BADAN<br>JALAN KOTA PAYAKUMBUH", Jurnal Penelitian<br>Transportasi Darat, 2021<br>Publication | <1 % |
| 73 | eprints.unmas.ac.id<br>Internet Source   |      |

---

<1 %

74

[etd.umy.ac.id](http://etd.umy.ac.id)

Internet Source

<1 %

75

[mohholi.blogspot.com](http://mohholi.blogspot.com)

Internet Source

<1 %

76

[repository.ipb.ac.id](http://repository.ipb.ac.id)

Internet Source

<1 %

77

[repository.umsu.ac.id](http://repository.umsu.ac.id)

Internet Source

<1 %

78

[repository.unibos.ac.id](http://repository.unibos.ac.id)

Internet Source

<1 %

79

Leni Sriharyani, Ida Hadijah. "ANALISA KINERJA SIMPANG PASAR UNIT 2 KABUPATEN TULANG BAWANG PROPINSI LAMPUNG DENGAN METODE PEDOMAN KAPASITAS JALAN INDONESIA 2014", TAPAK (Teknologi Aplikasi Konstruksi) : Jurnal Program Studi Teknik Sipil, 2021

Publication

<1 %

80

Savira Anggraeni, Yosef Cahyo Setianto Poernomo, Sigit Winarto. "ANALISIS KINERJA LALU LINTAS DI JALAN SEKITAR HYPERMART JL.VETERAN,PENANGGUNGAN, KLOJEN, MALANG", Jurnal Manajemen Teknologi & Teknik Sipil, 2019

<1 %

81

Sri Santi L M F Seran, Rivendi Naikofi,  
Engelbertha Noviani Bria Seran. "ANALISIS  
KINERJA SIMPANG TAK BERSINYAL (JL.  
VETERAN, JL. BELAKANG TAMAN NOSTALGIA  
DAN JL. DEPAN HOTEL NAKA KUPANG)",  
Eternitas: Jurnal Teknik Sipil, 2020

<1 %

Publication

---

Exclude quotes      On

Exclude matches      Off

Exclude bibliography      On

# OPTIMALISASI KINERJA LALU LINTAS SIMPANG JAKAL KM 12,5 DI KABUPATEN SLEMAN

---

PAGE 1

---

PAGE 2

---

PAGE 3

---

PAGE 4

---

PAGE 5

---

PAGE 6

---

PAGE 7

---

PAGE 8

---

PAGE 9

---

PAGE 10

---

PAGE 11

---

PAGE 12

---

PAGE 13

---

PAGE 14

---

PAGE 15

---

PAGE 16

---

PAGE 17

---

PAGE 18

---

PAGE 19

---

PAGE 20

---

PAGE 21

---

PAGE 22

---

PAGE 23

---

PAGE 24

---

PAGE 25

---

PAGE 26

---

PAGE 27

---

PAGE 28

---

PAGE 29

---

PAGE 30

---

PAGE 31

---

PAGE 32

---

PAGE 33

---

PAGE 34

---

PAGE 35

---

PAGE 36

---

PAGE 37

---

PAGE 38

---

PAGE 39

---

PAGE 40

---

PAGE 41

---

PAGE 42

---

PAGE 43

---

PAGE 44

---

PAGE 45

---

PAGE 46

---

PAGE 47

---

PAGE 48

---

PAGE 49

---

PAGE 50

---

PAGE 51

---

PAGE 52

---

PAGE 53

---

PAGE 54

---

PAGE 55

---

PAGE 56

---

PAGE 57

---

PAGE 58

---

PAGE 59

---

PAGE 60

---

PAGE 61

---

PAGE 62

---

PAGE 63

---

PAGE 64

---

PAGE 65

---

PAGE 66

---

PAGE 67

---

PAGE 68

---

PAGE 69

---

PAGE 70

---

PAGE 71

---

PAGE 72

---

PAGE 73

---

PAGE 74

---

PAGE 75

---

PAGE 76

---

PAGE 77

---

PAGE 78

---

PAGE 79

---

PAGE 80

---

PAGE 81

---

PAGE 82

---

PAGE 83

---

PAGE 84

---

PAGE 85

---

PAGE 86

---

PAGE 87

---

PAGE 88

---

PAGE 89

---

PAGE 90

---

PAGE 91

---

PAGE 92

---

PAGE 93

---

PAGE 94

---

PAGE 95

---

PAGE 96

---

PAGE 97

---

PAGE 98

---

PAGE 99

---

PAGE 100

---

PAGE 101

---

PAGE 102

---

PAGE 103

---

PAGE 104

---

PAGE 105

---

PAGE 106

---

PAGE 107

---

PAGE 108

---

PAGE 109

---

PAGE 110

---

PAGE 111

---

PAGE 112

---

PAGE 113

---

PAGE 114

---

PAGE 115

---

PAGE 116

---

PAGE 117

---

PAGE 118

---

PAGE 119

---

PAGE 120

---

PAGE 121

---

PAGE 122

---

PAGE 123

---

PAGE 124

---

PAGE 125

---

PAGE 126

---

PAGE 127

---

PAGE 128

---

PAGE 129

---

PAGE 130

---

PAGE 131

---

PAGE 132

---

PAGE 133

---

PAGE 134

---

PAGE 135

---

PAGE 136

---

PAGE 137

---

PAGE 138

---

PAGE 139

---

PAGE 140

---

PAGE 141

---

PAGE 142

---

PAGE 143

---

PAGE 144

---